

B.I.G

INSTITUTUL GEOLOGIC

DĂRI DE SEAMĂ  
ALE  
SEDINTELOR

VOL. LVI

1968-1969

3. PALEONTOLOGIE

3312  
BUCUREŞTI  
1970



Institutul Geologic al României



Institutul Geologic al României



Institutul Geologic al României



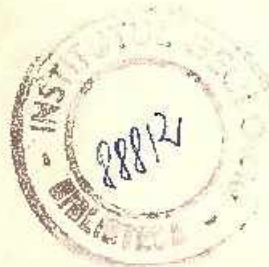
INSTITUTUL GEOLOGIC

DĂRI DE SEAMĂ

ALE  
ȘEDINȚELOR

VOL. LVI  
(1968—1969)

3. PALEONTOLOGIE



BUCUREŞTI  
1970



Institutul Geological al României



3. PALEONTOLOGIE

PALEOZOOLOGIE

OTOLITELE SARMAȚIENE DE LA SOCENI (BANAT-ROMÂNIA)<sup>1</sup>

DR.

JOSEFINA STANCU<sup>2</sup>

**Abstract**

The Sarmatian Otoliths of the Soceni Area (Banat-Romania). The ichthyological fauna which has been listed by the author, only on the basis of sagittas, was collected by Jekelius. The forms represented belong to the following species: *Gobius*, *Scopelus*, *Atherina*, *Morone*, *Umbria*, *Corsinia*, *Macruridarum*. It is presumed that in this assemblage *Otolithus* (*Gobius*) sp. and *Ot.* (*Cantharus*) sp. might be new forms. The biometrical study of the Sarmatian forms, as compared to the one of the Oligocene and Pliocene species, yields interesting data of evolutionary significance, thus enabling to distinguish groups characteristic of certain periods.

Dintre toate resturile viețuitoarelor fosile, cele ale clasii peștilor sunt destul de rar întâlnite. Acest lucru nu se datorează neparticipării faunelor ichtiologice, în asociația populației din bazinile marine cu biotopuri optime dezvoltării lor, ci condițiilor survenite după moartea acestora. Astfel, numeroasele procese chimice, numeroasele organisme care vin să devoreze cadavrele lor (amintim de crustacee, unele gasteropode carnivore și chiar confrății lor), distrug partea scheletică. În acest caz, singurele salvate sunt otolitele, care marchează astfel existența acestor viețuitoare, în sedimentele respective.

Condiții optime de fosilizare, cind s-au găsit resturi scheletice bine conservate, au existat totuși pe teritoriul țării noastre; amintim de șisturile menitice oligocene (Suslănești, Motăeni, Fieni) și cele disodilice sarmațiene din regiunile pericarpatiche și Transilvania.

Ordinul cel mai reprezentativ al faunei ichtiologice din România în timpul Neogenului este acela al teleosteenilor. Resturi scheletice au fost întâlnite în sudul bazinului Transilvaniei în depozitele sarmațiene

<sup>1</sup> Comunicare în ședință din 7 martie 1969.

<sup>2</sup> Institutul Geologic, Șos. Kiseleff nr. 55, București.



de la Daia, de către Pauca și anterior la Săcădate de către Nengenboren (1851), Hauer și Stache (1863). Ele aparțin formelor: *Rhombus bassanianus* Kramb., *Clupea straticiformis* Kramb., (Daia) și *Clupea sardinites* Heck., *Striaria alata* Steind. și *Morrhuaszakadensis* Stein. (Săcădate), la care se mai adaugă genurile *Gadidus*, *Prosphyræa*, *Apogon*, forme determinate de Pauca (în Ilie, 1955) de la Stoiaca, Someș și Dej. *Clupea gorjensis*, o nouă formă creată de Huică și Gheorghiu (1962) din depozitele sarmatiene de la Săcel-Gorj (nordul depresiunii getice) vine să se adauge asociațiilor ichtiologice sarmatiene.

Acest succint inventar este însă îmbogațit de numeroase forme determinate pe baza otolitelor. Astfel Weiller, în perioada anilor 1943, 1949, 1950 studiază forme de otolite din depozitele sarmatiene, bugloviene și tortoniene de pe teritoriile situate în sudul și vestul României.

Mai târziu în 1965, Pana se ocupă cu otolitele pliocene din regiunea de curbură a Carpaților, prezintând în lucrarea sa și numeroase forme sarmatiene.

În diverse depozite, ne referim numai la cele de vîrstă sarmatiene, sănătatea existența otolitelor fără a fi determinate specific. Ele sunt menționate în argilele nisipoase și disodiliforme la Gîmboca, Colun (Valea Mare) împreună cu oase și dinți, la Sărata (între valea Oltului și Făgăraș), și apoi în alte regiuni, atașate la listele de microfaune.

Studiul întreprins în anumite depozite terțiare ale Europei, asupra otolitelor, găsite împreună cu resturile scheletice perfect conservate, precum și referirea la speciile actuale facilitează determinarea lor. Este cunoscut faptul că la începutul Oligocenului, în faunele de teleosteeni a intervenit în Europa o modificare, ca urmare a condițiilor noi climatice survenite și de atunci, evoluția lor se face lent, dar pe un areal întins, încât faunele actuale prezintă o accentuată similitudine cu cele din depozitele terțiare.

Fauna ichtiologică de la Soceni, poate atesta cele discutate anterior; patru din cele 16 specii identificate, își incep evoluția din Oligocenul superior, restul la începutul Miocenului.

Existența în Colecția Institutului Geologic a unui număr de 80 de exemplare de otolite nedeterminate, prelevate de Jekelius de la Soceni, a determinat întocmirea notei de față. Ele au fost colectate de pe valea Polițoanei, și valea Turislav, în apropierea localității Soceni (fig. 1).

Văile amintite, ambele afluente văii Satului, traversează în anumite zone, depozite nisipoase sau argilo-nisipoase ce aparțin Sarmatiului. Punctele de colectare au fost notate de către autorul menționat cu cifre

arabe pentru valea Polițioanei (fig. 2, 3), iar pentru valea Turislav cu cître romane (fig. 4).

Sarmațianul din zona localității Soceni, se dispune peste depozite de vîrstă tortoniană care la rîndul lor sunt suportate de formațiunile cristalofiliene.

#### PREZENTAREA FAUNEI ICHTIOLOGICE ȘI DESCRIEREA SAGITELOR

În urma studiului întreprins asupra otolitelor sarmațiene din colecția Jekelius s-au identificat numai pe bază de sagite, 16 specii de pești, repartizate la 7 familii și 8 genuri.

În lista ce urmează sunt prezentate: inventarul ichtiologic, formele noi pentru România, locul de prelevare precum și frecvența sagitelor.

TABELUL 1

| Fauna ichtiologică Soceni                  | Forme noi<br>pentru<br>România | Valea Polițioanei | Valea<br>Turislav |
|--|--------------------------------|-------------------|-------------------|
| <b>Gobiidae</b>                            |                                |                   |                   |
| <i>Gobius triangularis</i> Weiller         |                                | ++                | +                 |
| <i>G. francofurtanus</i> (Koken)           |                                | -                 | a                 |
| <i>G. vicinalis</i> (Koken)                |                                | ++                | +                 |
| <i>G. vicinalis</i> (Koken) var.           | 0                              | a                 | ...               |
| <i>G. pretiosus</i> Prochazka              |                                | ++                | +                 |
| <i>G. pretiosus</i> Prochazka var.         | 0                              | a                 | -                 |
| <i>G. laevis</i> Weiller                   |                                | -                 | -                 |
| <i>G. cf. intimus</i> Prochazka            | 0                              | -                 | a                 |
| <i>Otolithus</i> ( <i>Gobius</i> ) sp.     | 0                              | -                 | a                 |
| <b>Serranidae</b>                          |                                |                   |                   |
| <i>Morone magantina</i> (Koken)            |                                | +                 | -                 |
| <b>Solenitidae</b>                         |                                |                   |                   |
| <i>Umbrina gibberula</i> (Koken)           | 0                              | a                 | ..                |
| <i>Corvina cf. speciosa</i> (Koken)        |                                | a                 | -                 |
| <b>Atherinidae</b>                         |                                |                   |                   |
| <i>Atherina austriaca</i> Schubert         | 0                              | a                 | -                 |
| <b>Gadidae</b>                             |                                |                   |                   |
| <i>Macruridarum minusculus</i> (Schubert)  |                                | +                 | +                 |
| <b>Scopelidae</b>                          |                                |                   |                   |
| <i>Scopelus debitus austriacus</i> (Koken) |                                | -                 | a                 |
| <b>Sparidae</b>                            |                                |                   |                   |
| <i>Otolithus</i> ( <i>Canthus</i> ) sp.    | 0                              | -                 | a                 |

++ = foarte frecvent

+ = frecvent

- = rar

a = absent

0 = forme noi pentru România

Din analiza tabelului prezentat se remarcă prioritatea familiei Gobiidae, ce însumează un număr de 9 specii. Genul *Gobius* primează



Fig. 1. — Schiță cu amplasarea punctelor de prelevare a otolitelor.

Esquisse de l'emplacement des points de prélevement des otolithes.

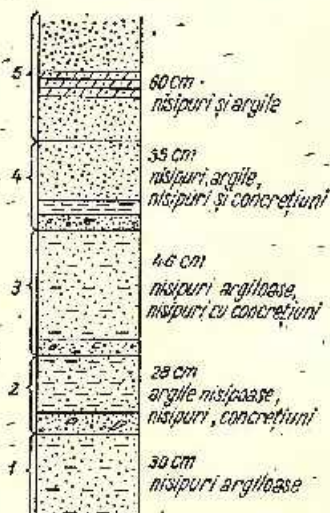


Fig. 3. — Coloană litologică a Sarmatianului din valea Polițoanei (după E. Jekeliuș).  
Colonne lithologique du Sarmatiens de la vallée de Polițoanei (selon E. Jekeliuș).

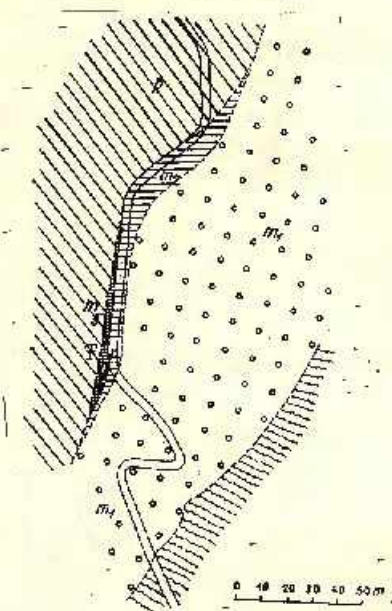


Fig. 2. — Schiță geologică privind depozitele sarmatiene de pe valea Polițoanei (după E. Jekeliuș).

Esquisse géologique concernant les dépôts sarmatiens situés dans la vallée de Polițoanei (selon E. Jekeliuș).

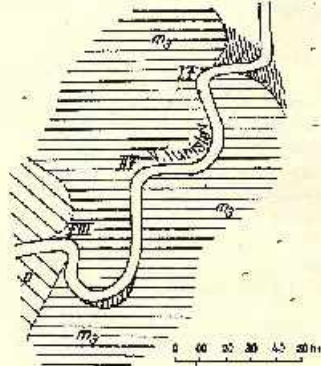


Fig. 4. — Schiță geologică privind Sarmatianul din valea Turislav (după E. Jekeliuș).

Esquisse géologique concernant le Sarmatien de la vallée de Turislav (selon E. Jekeliuș).

față de celelalte genuri și prin marele său număr de indivizi. În ordinea frecvenței numerice, se înscriv: *Gobius triangularis* (26 forme de sagite), *G. pretiosus* (15 sagite) și *G. vicinalis* (9 sagite).

O altă familie bine reprezentată este cea a Gobiidaelor cu genul *Macruridarum minusculus* totalizând 8 sagite, găsite în general în același stadiu matur de dezvoltare.

Familia Serrenidelor reprezentată de un singur gen: *Morone moguntina*, ale cărui sagite s-au întîlnit în diverse stadii embrionare. Atherinidae, prezente într-un număr redus de numai trei exemplare, nu participă decât să completeze inventarul ichtiologic, de altfel ca și celelalte specii menționate din tabel, care vin să-și marcheze prezența doar printr-o singură sagită.

Inventarul ichtiologic de la Soceni, contribuie la imbogățirea faunelor de pești din România. Sunt semnalate cîteva forme noi, astfel în cadrul genului *Gobius* sunt întîlnite trei noi varietăți precum și două specii noi: *Otolithus (Gobius)* sp. și *Ot. (Cantharus)* sp. Amintim și formele *Umbria gibberula*, *Atherina austriaca*, de asemenea încă necitate în țara noastră.

Repartiția sagitelor în cele două văi este în general echilibrată cantitativ, depozitele din valea Polițoanci oferă un număr mai mare de piese bine conservate, în timp ce pe valea Turislav, au fost întîlnite genuri mai numeroase, dar reprezentate de un număr mai mic de indivizi și destul de corodate.

Sagitele sunt în general de culoare alb-gălbuiie, portelanooase; în anumite cazuri datorită proceselor de conservare ele sunt cenușii, negriicioase în intregime sau parțial, ori cu depuneri de pirită fin granulată.

În afara otolitelor, colecția Jekeliuș mai conține și numeroase piese scheletice de pești. Pe ambele văi au fost întîlniți: numeroși dinți palatini iar un minuscul fragment de maxilar superior cu dinți palatini implanati (pl. XI, fig. 2) precum și cîteva vertebre amficelice lipsite de apofize, provenite din regiunea codală au fost prelevate de pe valea Turislav (II).

#### Ordinul *Teleosteeni*

##### I. Subordinul *Percoidae*

###### Familia *Gobiidae*

În depozitele sarmatiene de la Soceni, familia Gobiidaelor este cea care primează față de celelalte familii, atât prin cele 9 specii, cât și prin numărul mare de indivizi.

*Gobius triangularis* Weiller, 1943

(Pl. I, fig. 1–5 a, b)

Referință tip : *Otolithus (Gobius) intimus* Schubert, 1906, (non Prochazka, 1863) p. 647, pl. 6, fig. 35–37.

Alte referințe : *Gobius triangularis* Weiler, 1943, p. 96, pl. 1, fig. 25–26; Pană, 1965, p. 7, pl. 2, fig. 65–74.

În 1943 Weiler creează această specie nouă din depozitele buglovian-superioare de la Salcia (Subcarpații Munteniei).

*Dimensiuni* (mm) : D. tipului : L. 1,7–0,8  
I. 1,5–0,7

D. formelor Sa (Soceni) : L. 1,8–1,6  
I. 1,6–1,5

D. formelor Meotian-daciene : L. 0,82  
I. 0,75

Exemplare de sagite ale formei *G. triangularis*, au fost întâlnite pe văile Polițioanei (P. 3,4) și Turislav (II), însumind 26 piese. Ele corespund atât formelor figurate de Schubert din bazinul Vienei, cât și celor date de Weiler.

Față de exemplarele întâlnite de Pană (1965) în depozitele Meotianului mediu (valea Foltea) și Dacian superior (valea Plopeasa-Buzău), formele otolitelor de la Soceni sunt mult mai mari, nerotunjite, conturul subangular fiind evident și la exemplarele tinere (pl. I, fig. 2–5 a, b). Vîrstă : Tortonian, Sarmatian, Pliocen (Meotian și Dacian superior). Col. Inst. Geol. nr. 6728, 6731.

#### *Gobius francofurtanus* (Koken, 1891)

(Pl. VI, fig. 1 a, b)

Referință tip : *Otolithus (Gobius) francofurtanus* Koken, 1891, p. 132, pl. 6, fig. 7.

Alte referințe : *Gobius francofurtanus* Weiler, 1942, p. 56, pl. 2, fig. 39–47; Weiler, 1963, p. 42, fig. text 169–187; Pană, 1965, p. 7, pl. 2, fig. 57–64; Rado, 1965, p. 62, pl. III, fig. 14, a,b.

Depozitele văii Polițioanei (P.5) nu au oferit decât o singură sagită dreaptă ; această specie, prezintând cele mai variate contururi de otolite.

*Dimensiuni* (mm) : L. 2,0  
I. 1,6                    D. tipului : L. 1,9  
G. 0,55                    I. 1,6  
                                  G. 0,6

Răspîndire : în România această specie a fost întâlnită în Tortonianul superior de la Coștei (Rado, 1965), la limita Sarmatian-Meotian și apoi

în Dacian superior în depozitele de pe valea Plopeasa-Buzău (Pană, 1965). Sagitele prezintă dimensiuni (L. 0,82—1,37 mm; I. 0,75—1,12 mm) mai mici decât formele sarmatiene de la Soceni.

Marea varietate a formelor de sagite a fost observată de Weiler (1963) în stratele cu *Corbicula inflata*, la Hainstad, unde le-a întlnit *in situ*, împreună cu numeroase schelete ale formei discutate. Resturile scheletice de *Gobius francofurtanus* nu depășesc 40 cm lungime; iar dimensiunile sagitelor sunt cuprinse între: L. 1,64—0,96; I. 1,44—0,65 mm. Vîrstă: Acvitanian, Tortonian-Sarmatian, Meotian-Dacian. Col. Inst. Geol. nr. 6727.

### *Gobius vicinalis* (Koken), 1891

(Pl. IV, fig. 1—2 a, b)

Referință tip: *Otolithus (Gobius) vicinalis* Koken, 1891, p. 133, fig. text. 21.

Alte referințe: *O. (Gobius) vicinalis* Schubert, 1960, p. 644, pl. 6, fig. 32—34.

*Gobius vicinalis* Weiller, 1943, p. 98, pl. 1, fig. 29, 30; Weiller, 1950, p. 232, pl. 4, fig. 24—26, pl. 8, fig. 63; Weinförter, 1952a, p. 161, pl. 2, fig. 2, 3; Pană, 1965, p. 6, pl. 1, fig. 37—40.

Sagitele atribuite acestei specii provin de pe valea Polițoanei, din punctele notate de Jekelius cu P.1, P.3, P.5 și valea Turislav în total 9 exemplare. Dintre acestea, au fost recunoscute și forme tinere (pl. IV, fig. 2 a, b) care prezintă o organizare internă fidelă cu a exemplarelor mature, dar plasată mai jos, către partea inferioară. Conturul marginii superioare este mai puțin ondulat, dar se pot observa fazele incipiente ale viitoarei ornamentații.

Dimensiuni (mm): L. 1,3—1,7      D. tipului: L. 0,8—2,6

I. 1,3—1,8                                    I. 1,9—2,9

G. 0,3—0,38                                    G. 0,4—0,9

Răspândire: forme comune cu mare aric de răspândire în timpul Tortonianului, fiind menționate de către Weiller, 1950, Radó, 1965 la Lăpuți și Coștei, mai spre vest la Coșevița, de Stancau<sup>3</sup>. (D. mm: L. 1,9—2,6; I. 1,9—2,6; G. 0,9—1,12).

În depozitele bugloviene de la Scăioși și Salcia au fost întlnite sagite pătratice, unde parametri I sau L sunt egali (1,4—1,4 mm). Pană (1965) menționează specia în Meotianul inferior în valea Slănic și Dacianul superior din valca Plopeasa-Buzău. (D. mm: L. 0,75—1,20; I. 0,75—2).

<sup>3</sup> Josefina Stancau, A. Popescu. Studii biostratigrafice asupra depozitelor neogene de pe versantul nord-vestic al masivului Poiana Rusă (Carpații Meridionali), 1969. D. S. Inst. Geol. LVI/4 (sub tipar).



În Europa specia este semnalată din Oligocenul superior de către Koken în bazinul Măienței, care prezintă însă mare dezvoltare în Miocen. Ea este semnalată în numeroase localități în bazinul Vienei, ca Mühldorf, unde din cele 239 exemplare de otolite, forma *G. vicinalis* reprezintă 65%, iar apoi la Stenabrunn-Vöslau, Grinzing și Nussdorf.

De asemenea sunt menționate sagite aparținând speciei *G. vicinalis* și în depozitele miocene din Ungaria, Polonia, precum și în cele mio-plio-cene ale Italiei.

*Vîrstă*: Oligocen superior-Dacian superior.  
Col. Inst. Geol. nr. 6741.

*Gobius vicinalis* (Koken) var.  
(Pl. IV, fig. 3 a, b)

Sagita stângă colectată de Jekeliuș din valea Turislav (II), se inseră într-un dreptunghi cu laturile mici în zonele ventrală și dorsală. Brazda ventrală situată foarte marginal, este continuă, ea extinzându-se din zona inferioară a rostrului pînă în zona igheabului postcaudal.

Fața externă a otolitului de la Soceni, mult mai ornamentată ca forma tip, prezintă numeroase protuberanțe concentrice în zona mediană.

*Dimensiuni* (mm): L. 1,4; I. 1,75; G. 0,4.  
Col. Inst. Geol. nr. 6740.

*Gobius laevis* Weiler, 1942  
(Pl. VI, fig. 2, 3 a, b)

Referință tip: *Gobius laevis* Weiler, 1942, p. 59, pl. 2, fig. 51 a, b; 52–56.

Alte referințe: *Gobius laevis* Weiler, 1958, p. 437, pl. 3, fig. 8; Radov, 1965, p. 62, pl. 4, fig. 17 a, b; Pană, 1965, p. 6, pl. 1, fig. 21, 32, pl. 2, fig. 51–56.

Dintre cele trei exemplare ale colecției Jekeliuș, două provin din valea Polițioanei (P.2) și un exemplar imatur din valea Turislav (pl. VI, fig. 2).

Toate se încadrează tipului figurat și descris de Weiler (1942).

Organizarea internă a sagitei se asemănă cu a genului *G. pretiosus* cu singura deosebire a zonei anterioare ce se prezintă foarte convexă. Pe fața externă a exemplarului imatur (pl. VI, fig. 2b) spre colțul antero-ventral apare o excrescență mamelonară alungită.

|                                      |                          |
|--------------------------------------|--------------------------|
| <i>Dimensiuni</i> (mm): L. 1,55–2,10 | D. tipului: L. 1,50–2,10 |
| I. 1,45–2,00                         | I. 1,20–2,00             |
| G. 0,35                              |                          |

*Răspândire*: sagite aparținând formei *G. laevis* au fost întâlnite și în faciesul pelitic de la Delinești (Stanču, 1968, pag. 12).

În depozitele de limită ale Sarmatian-Meoțianului la Plopeasa, în Meoțianul din valea Foltea și Dacianul superior de pe valea Plopeasa (Buzău), Pană (1965) menționează următoarele dimensiuni: L. 0,82—1,62; I. 0,80—1,55 mm.

Pentru Europa, *G. laevis* este o formă frecventă, întâlnită în Miocenul mediu și superior din zonele localităților Heemoor, Düngegen, Eichede, Rothenburg, Schluse (NW Germaniei).

*Vîrstă*: Miocen inferior-mediu și superior, precum și Pliocen superior. Col. Inst. Geol. nr. 6739 a, b.

*Gobius pretiosus* (Prochazka), 1893

(Pl. II, fig. 3 a, b; pl. III, fig. 1)

Alte referințe: *Otolithus (Gobius) pretiosus* Schubert, 1906, p. 645, pl. 4, fig. 29—31; *Gobius pretiosus* Weiller, 1942, p. 57, pl. 2, fig. 50; 1943, p. 93, pl. 1, fig. 21; 1950, p. 231, pl. 1, fig. 25 a—b; pl. 8, fig. 62; Weinmüller, 1952 b, p. 162, pl. 2, fig. 1; Radó, 1965, p. 62, pl. 4, fig. 16 a, b; Pană, 1965, p. 6, pl. 1, fig. 5—20; Weinmüller, 1967, p. 281—393, pl. 2, fig. 2.

Cele 15 exemplare sunt provenite atât din valea Turislav (II), cât și din depozitele sincrone, dezvoltate în valea Polițioanei (P.2 și P.5).

*Dimensiuni* (mm): L. 1,5—1,8

I. 1,2—1,5

În lipsa dimensiunilor tipului, prezentăm dimensiunile date de Schubert (1906), care găsește sagitele acestei specii *in situ*.

L. 1,5—3

I. 1—2

Se deosebește de forma *Gobius laevis* Weiller, prin reducerea concavității depresiunii areale, precum și prin distanțarea ei de zona dorsală.

*Răspândire*: în R.S. România specia este cunoscută din timpul Tortonianului superior și este întâlnită foarte frecvent în depozitele faciesului pelitic, la Delinești (Stanču, 1968) și la Coștei (Radó, 1965). Apoi este semnalată de către Weiller (1943) în Sarmatianul mediu de la Salcia (D. mm: L. 1,4—I. 1,2 mm). Pană (1965), întâlneste numeroase exemplare la limita Sarmatian-Meoțian la Plopeasa, în Meoțianul mediu în valea Foltea și Dacian superior pe valea Plopcașa-Buzău. (D. mm: L. 0,82—2,21; I. 0,75—1,60 mm).



Dezvoltarea acestei specii în Europa începe din Miocenul superior și este întîlnită în bazinul Vienei, la Steinabrunn, Vöslau și Grinzing. În depozitele tortoniene din N. Austria, la Kärnten (Mühlendorf), Weinfürter (1952 b) întâlnesc sagite având următoarele dimensiuni: L. 2,2; I. 1,7.

*Vîrstă*: Miocen superior-Pliocen.

Col. Inst. Geol. nr. 6733-6737.

*Gobius pretiosus Prochazka* var.

(Pl. II, fig. 1-2 a, b).

Recoltate din valea Turislaw (II) cele două sagite drepte, prezintă unele variații față de forma tip și anume: conturul pregnant de paralelogram, prin ascuțirea unghiurilor din colțul predorsal precum și cel postventral. Acest lucru influențează vizibil dispoziția ostiumului și al caudei, ultima fiind mai alungită decât a formei tip. Ornamentația feței externe prezintă mai multe undulații, decât forma tip și este vizibilă în special la forma matură (pl. II, fig. 1 a, b) care are și area ceva mai dezvoltată.

*Dimensiuni* (mm): L. 3 ; 1,95

L. 2,85 ; 1,90

Col. Inst. Geol. nr. 6738.

*Gobius cf. intimus* (Prochazka), 1900

(Pl. V, fig. 2 a, b)

*Referințe*: *Otolithus (Gobius) intimus* Koken, 1884, p. 647, pl. 20 fig. 35-37;

*Gobius intimus* Weiler, 1942, p. 58, pl. 2, fig. 48-59; Rădo, 1965, p. 62, pl. 4, fig. 19 a, b; Pană, 1965, p. 7, pl. 2, fig. 43-50.

Singurul exemplar întîlnit în colecția lui Jekelius se apropie de formele descrise de Koken și Weiler însă cu unele deosebiri — sagita dreaptă prezintă pe față externă 3 protuberanțe mamelonare, situate în colțul posterior dorsal, protuberanțe ce par a seconde cele 3 undulații inițiale.

Întrucât morfologia internă, forma și dispoziția caudei și cea a ostiumului, se asemănă cu multe din exemplarele autorilor mai sus menționați și faptul că observațiile noastre sănătățile facut doar pe un singur exemplar conferă deocamdată această sagită speciei *G. intimus* Proch.

*Dimensiuni* (mm): L. 1,3; I. 1,3; G. 0,3.

*Răspîndire*: în regiunea Buzău Pană (1965), semnalază numeroase

sagite în depozite de vîrstă sarmatiene, meotiană, daciană și chiar la limita Dacian-Levantin (D. mm : L. 0,65 - 1,05 ; I. 0,67 - 1,12). Specia mai face parte și din asociația tortonian-ichtiologică de la Ceștei (Radu, 1965). În depozitele acvitaniene din NW Germaniei (Hölsblis) Weiler întâlnește sagite de următoarele dimensiuni : I. 0,7 - 0,9 ; L. 0,7 - 0,8. Col. Inst. Geol. nr. 6726.

*Otolithus (Gobius) sp.*

(Pl. V, fig. 1 a, b)

Din punctul P.4 pe valea Polițoanei, a fost prelevată o singură sagită dreaptă. Conturul formei se poate insera într-un paralelogram cu marginea superioară ondulată. Pe fața internă nu se pot face diferențieri între ostium și cundă din cauza umplerii lor cu material calcitic. Piesa destul de robustă, se prezintă concavă pe fața sa internă, poate datorită deformației ulterioare survenite (se poate observa o dungă ce traversează fața internă în diagonală). Acest accident nu influențează însă și fața sa externă.

Dimensiuni (mm) : L. 2,2 ; I. 1,7 ; G. 0,4.

Col. Inst. Geol. nr. 6725.

Familia Serrenidae

*Morone moguntina* (Koken), 1891

(Pl. VII, fig. 1, 2; pl. VIII, fig. 1-4)

Referință tip : *Otolithus (Pericidarum) moguntinus* Koken, 1891, p. 128, fig. 17.

Alte referințe : *Otolithus (P.) moguntinus* Schubert, 1906, p. 628 pl. X, fig. 42 (copie după forma tip a lui Koken);

*Otolithus (P.) aff. moguntinus* Priem, 1914, p. 246, 456-457, fig. text 3, 23, 24 și 27.

*Morone moguntina* Weiler, 1942, p. 35, pl. 2, fig. 8-10; Weiler, 1963, p. 37, fig. text, 149; 1965, p. 11, pl. 4, fig. 129, 130, 135-137.

Cele șapte sagite atribuite speciei *Morone moguntina* din colecția Jekelius sint recoltate din văile Polițoanei (P. 2, 1, 5) și din Turislav (II). Formele mature prezintă față internă bombată, cea externă convexă ornamentată cu slabe neregularități sau numai cu zone de creștere. Ostiumul este larg dezvoltat, destul de lung și recurbat în jos, dar nu atinge marginea posterioară, iar cauda se prezintă bine separată de el.

Formele de sagite imature, nesemnalate încă în literatură și întâlnite în diverse stadii de evoluție din care sagita (pl. VIII, fig. 4 a, b), fiind cea mai tină, sint foarte bine conservate, oferind o distinctă organizare internă. Ornamentația fețelor externe prezintă trei ondulații strânse,

ondulații care se păstrează bine și la unele exemplare mai evolute (pl. VII, fig. 2 a, b; pl. VIII, fig. 1 a, b), dacă nu au fost sterse definitiv prin conservare (pl. VII, fig. 1 a, b).

La cel mai neevoluat otolit se mai poate observa și cîteva pustule situate în colțul posterior dorsal (față externă).

*Dimensiuni* (mm) : L. 5,70 ; 3,20 ; 3,00 ; 1,85 D. tipului : L. 14—5,2  
I. 4,50 ; 2,20 ; 2,10 ; 1,30 I. 6,5—3  
G. 0,5 ; 0,2 ; 0,2 ; 0,2

În urma studiului biometric efectuat pe toate exemplarele colecției s-a ajuns la concluzia că formele tinere precum și cele cu un stadiu de dezvoltare mai avansat mențin toate, aceeași grosime. Formele mature pornind de la un nucleu central puternic, unde există maximul de grosime, se dezvoltă reunind în jurul acestui apex, numeroase zone de creștere, care fac ca periferia sagitei să fie extrem de fină. La cîteva exemplare mature s-au putut observa zonele de creștere concentrice (finețea lor ne-a impiedicat să o putem ilustra prin desen).

*Raspindire* : sagite aparținând speciei *M. moguntina* sunt menționate la limita Sarmațian-Meoțian, precum și în Meoțianul mediu (valea Ploieasa și Rușavăț-Buzău) de dimensiuni mai reduse (L. = 2,75—3,80 ; I. = 1,50—2,00 mm).

În Europa se menționază în strate cu *Oncophora* (Helvețian superior) de la Weisenau (Maiența).

*Vîrstă* : Miocen-Meoțian mediu.

Col. Inst. Geol. nr. 6713—6715.

#### *Corvinia cf. speciosa* (Koken), 1884

(Pl. X, fig. 2 a, b)

Referință tip : *Sciaena speciosa* Koken, 1884, pl. 12, fig. 8.

Altă referință : *Corvinia speciosa* Weiller, 1942, p. 47, pl. 8, fig. 1 a, b ; 2—10.

O singură sagită dreaptă, prelevată din valea Turislav, destul de prost conservată, fapt care ne obligă să prezintăm dimensiunile cu aproximativ și să o conferim speciei *Corvinia speciosa*.

*Dimensiuni* (mm) : L. 3,8 ; I. 1,9 ; G. 0,5

D. tipului : L. 5,5—11 ; I. 4,7—5 ; G. 1,3—3,8.

Dimensiunile formei de la Soceni, apar mult reduse, față de acelea ale sagitelor tipului, dar păstrează raportul parametrilor : L.I.G. Este posibil ca această reducere să se datoreze schimbărilor biotipului marin survenite în timpul Sarmațianului și subordonat, efectelor corodării. Organizarea

feței interne corespunde cu fidelitate formei tip, ornamentația feței externe este constituită din liniații radiare neregulate, uneori dicotonice.

*Răspândire*: evoluția speciei începe din Oligocenul superior (în bazinul Maienței), apoi este semnalată și în Miocenul mediu și superior la Hemoor, Straelen, Rackow și Kassel.

*Vîrstă*: Oligocen superior-Sarmatian.

Col. Inst. Geol. nr. 6722.

*Umbria gibberula* (Koken), 1884

(Pl. X, fig. 1 a, b)

Referință tip: *Cerithia gibberula* Koken, 1891, p. 111, pl. 8, fig. 7.

Alte referințe: *Umbria gibberula* Weiller, 1942, p. 50, pl. 1, fig. 68 sola; Weiller, 1958, p. 340, pl. 2, fig. 18.

În colecția Jekeliuș numai din valea Turislav (I) s-a găsit un singur exemplar de sagită dreaptă, și aceasta incompletă, (fără partea anteroară a zonei ostiumului). Se poate compara pînă la identitate cu exemplarul figurat de Weiller (1942, fig. 68) prezentînd în plus o ornamentație rugoasă a feței externe.

*Dimensiuni* (mm): L. 2,8; I. 2,2; G. 0,35.

Mentionăm că sagita se prezintă și ușor corodată. Interesant de semnalat este variația morfometrică a sagitelor în intervalul de timp Oligocen mediu-Sarmatian.

|    | Oligocen mediu și superior | Miocen mediu | Sarmatian |
|----|----------------------------|--------------|-----------|
| L. | 7,6—3,0                    | 4,4—2,0      | 2,80      |
| I. | 3,3—2,1                    | 3,5—2,0      | 2,20      |
| G. | 2,2—0,9                    | 1,2—0,8      | 0,35      |

Se poate observa o descreștere a dimensiunilor sagitelor suferită de specia discutată, odată cu schimbarea factorilor abiotici ai apelor în intervalul Oligocen-Sarmatian.

*Răspândire*: semnalată pentru prima oară în depozitele oligocene de la Kapellen de către Koken, este mai tîrziu menționată ca specie destul de comună în stratele miocen-superioare și medii de la Straelen de către Weiller.

*Vîrstă*: Oligocen mediu și superior-Miocen superior.

Col. Inst. Geol. nr. 6723.

## II. Subordinul **Iniomii** (Scopelide)

### Familia Scopelidae

*Scopelus debilis austriacus* (Koken), 1891

Referință tip: *Otolithus (Bergcidarum?) austriacus* Koken, 1891, p. 122, pl. 12, fig. 33, pg. 134, fig. text 14.

Alte referințe: *Otolithus (Scopelus) austriacus* Schubert, 1906, p. 655.

*Scopelus debilis* Weiler, 1942, p. 21, pl. 1, fig. 30 a-b, 37; Weiler, 1943, p. 90, pl. 1, fig. 4-13; 1950, p. 211, pl. 1, fig. 2 a-b, pl. 9, fig. 66 a, b - 67 a-d; Radó, 1963, p. 60, pl. 1, fig. 4 a, b, 6 a, b.

*Scopelus debilis austriacus* Weinmüller, 1952 b, p. 151, pl. 1, fig. 2 a, b, 3 a, b.

Singura sagită provenită din valea Polițoanei (P.1) corespunde cu fidelitate tipului figurat de Weiler (1943).

Dimensiuni (mm): L. 2; I. 1,5. D. tipului: L. 1-3; I. 1-1,4.

Răspândire: în România specia este semnalată în cadrul depozitelor tortonian-superioare din zonele: Coștei-Lăpușnic (Weiler, 1943; Radó, 1963), Delinești, Coșevița (NW Poiana Ruscă), (Stanču, 1968, 1969). În Subcarpații Munteniei forma *S. debilis austriacus* este menționată de către Weiler (1943) în depozitele bugloviene de la Melicești și Scăioși, apoi ea este întâlnită și la limita Sarmațian-Meoțian la Buzău, valea Plopescu (Pană, 1965). În Europa specia este menționată în depozitele Miocen mediu și superior de la Hemmoor și bazinul Vienei.

Vîrstă: Oligocen superior-Meoțian.

Col. Inst. Geol. nr. 6721.

## III. Subordinul Mugiloidea

### Familia Atherinidae

*Atherina austriaca* Schubert, 1906

(Pl. IX, fig. 1-3 a, b)

Referință tip: *Otolithus (Atherina) austriaca* Schubert, 1906, p. 650, pl. 4, fig. 45.

Provenite din valea Turislav, cele trei otolite pe care le atribuim speciei *A. austriaca* sunt bine conservate, cel matur (fig. 1 a, b) este incomplet. Exemplarul tânăr (fig. 3 a, b) prezintă atât marginea superioară cât și cea inferioară mai ondulată decit celelalte două exemplare, la care s-a putut observa tendința de curbură pe care o are cauda către marginea părții inferioare la maturitate.

Dimensiuni (mm): L. 2,0; 1,7; 1,5      D. tipului: L. 1,3-1,7

I. 1,4; 1,4; 1,4

I. 0,8-1,3

G. 0,3; 0,2; 0,18

G. 0,2-?

Forma *A. austriaca* nu a fost semnalată decât în depozitele torioniene din bazinul Vienei în localitățile Kineberg și Vöslau, iar pentru România ea reprezintă o formă nouă.

Col. Inst. Geol. nr. 6716.

*Macruridarum minusculus* (Schubert), 1906

(Pl. III, fig. 2-3 a, b)

Referință tip: *Otolithus (Gadidarum) minusculus* Schubert, 1906, p. 682, pl. 5, fig. 48-52.

Altă referință: *Otolithus (Macruridarum) minusculus* Weiler, 1942, p. 91, pl. 5, fig. 29 a, b și 40 a, b.

Sagitele în număr de 8 sunt provenite de pe văile Polițoanei (P.4) și Turislav (II). Cele provenite de pe ultima vale, prezintă o ornamentație mai ondulată pe marginea inferioară vizibilă în special pe fața internă (pl. III, fig. 3 a, b). Otolitele din valea Polițoanei sunt mai mari și slab ornamentate (pl. III, fig. 2 a, b), probabil provenind de la exemplare mature.

Dimensiuni (mm): L. 3,00; 2,50 D. tipului: L. 2,0; 1,50  
 I. 1,50; 0,75 I. 1,5; 0,75  
 G. 0,20; 0,15 G. 0,2; 0,15

Răspândire: în România au mai fost întâlnite la Scăioși (Subcarpații Munteniei) de către Weiler, în depozite miocene. Schubert crează formă tip din depozitele miocene ale bazinului Vienei de la Neudorf și Baden. Forme de sagite au mai fost semnalate și în depozitele miocene de la Pienneberg, Wedel și Eichede (NW Germaniei).

Vîrstă: Miocen mediu și superior.

Col. Inst. Geol. nr. 6716-6720.

Familia Sparidae

*Otolithus (Cantharus) sp.*

(Pl. X, fig. 1 a, b)

O singură sagită stînga, bine conservată, este prelevată de pe valea Polițoanei (P.4).

Dimensiuni (mm): L. 6; I. 3,7; G. 1.

Forma se prezintă alungită (eliptică) cu fața externă concavă, marginile anteroare și posterioare foarte festonate. Pe fața internă a sagitei, ostiumul este drept, urmat de caudă mai îngustă, lungă și curbată în partea terminală, care nu atinge însă marginea posterioară. Zona situată sub ostium și lunga caudă, este bombată, spre deosebire de zona superioară a ariei, care se prezintă depresionată.

Față de gradul mare de curbură al concavității feței externe, partea internă, rămîne neinfluențată și se prezintă plană, probabil din cauza grosimii mari a sagitei.

Toate detaliile morfologice prezentate de această sagită amintesc de forme ce se încadrează la genul *Cantharus* atribuit familiei Spariidelor.

Mai menționăm că sagita discutată este provenită de la o formă matură, fapt atestat de dimensiunile exemplarului precum și de partea posterioară a sagitei care prezintă tendință de coborîre.

*Otolithus* (*Cantharus*) sp. amintește întrucîntă de *Ot.* (*Cantharus* ?) *tietzei* Schubert (1906), p. 632, pl. 4, fig. 13—18, dar se deosebește prin raportul L : I care este mai mare (forma de la Soceni este mai alungită); iar cauda nu atinge bordul posterior al feței interne și în plus ornamentația feței externe este bogat sculptată.

Dimensiunile date de Schubert pentru forma *Ot.* (*C.*) *tietzei* din Miocenul bazinului Vienei de la Vöslau, sunt :

|          |     |
|----------|-----|
| L. 5,0 ; | 6,7 |
| I. 3,0 ; | 4,1 |
| G. 0,7 ; | 0,9 |

În depozitele tortoniene de la Chomentow și Rybuica (Polonia) Chianie și Duviergie (1928) semnalează exemplare *Ot.* (*Cantharus* ?) *tietzei* Schub. (p. 202, pl. 4, fig. 10—12), ce prezintă următoarele dimensiuni : L. 6 mm ; I. 3,7 mm ; iar formele neevolute (L. 3 ; I. 2 mm). Autorii comentează marea asemănare între formele de sagite tortoniene, și cele actuale atribuite genului *Cantharus* și în particular formei *Cantharus orbicularis* G. et Vol.

Bauzá Rullán (1957), consideră că forma creată de Schubert ar apartine genului *Spondyliosoma*. Autorul menționează forme de sagite asemănătoare cu holotipul, pe care le denumește *Spondyliosoma tietzei* (p. 21, pl. 6, fig. 16—18) în depozitele plaisiriene de la Talapi (Llubi-Mallorca).

Întrucît sagita de la Soceni nu are nici o afinitate cu formele figurate de Bauzá Rullán nu ne găsim în situația de a o atribui genului *Spondyliosoma*.

Col. Inst. Geol. nr. 6724.

#### CİTEVA DATE PALEOECOLOGICE

Putem afirma că otolitele sunt susceptibile de a furniza importante date asupra faunelor ichtiologice fosile chiar acolo unde ele reprezintă singurul părți conservate sau, chiar acolo unde nu mai sunt înălțate alte resturi fosile.

Predominanța genului *Gobius* în cadrul faunei ichtiologice de la Soceni, indică în primul rînd o zonă litorală, reprezentanții genului fiind forme costiere, fapt atestat de situația geologică actuală din zona de colectare.

Litoralofile sunt și celelalte forme participante ca: *Umbria*, *Corvinia*, *Atherina*, *Morone*, *Macruridamus* cu excepția genului mai de adîncime, *Scopelus debilis austriacus*, dar care poate fi întîlnit și în zona pelagică.

Asociația ichtiologică de la Soceni furnizează relații asupra salinității apelor din timpul Sarmatianului. Marea majoritate a formelor inventariate își începe evoluția în cadrul termenilor mai vechi ai Miocenului și chiar din timpul Oligocenului superior (*Gobius francofurtanus*, *Scopelus debilis austriacus*, *Umbria* și *Corvinia*) (tab. 2). Schimbarea salinității

TABELUL 2

Răspindirea în timp a speciilor de pești de la Soceni identificate pe baza otolitelor

| Familii și genuri                          | Oligo-<br>cen | Miocen |    |    |    | Pliocen |   |   |
|--|---------------|--------|----|----|----|---------|---|---|
|  |               | Aq     | To | Bg | Sa | Me      | D | L |
| <b>Gobiidae</b>                            |               |        |    |    |    |         |   |   |
| <i>Gobius triangularis</i> Weiller         |               |        |    |    |    |         |   |   |
| <i>G. francofurtanus</i> (Koken)           |               |        |    |    |    |         |   |   |
| <i>G. vicinalis</i> (Koken)                |               |        |    |    |    |         |   |   |
| <i>G. vicinalis</i> (Koken) var.           |               |        |    |    |    |         |   |   |
| <i>G. pretiosus</i> Prochazka              |               |        |    |    |    |         |   |   |
| <i>G. pretiosus</i> Prochazka var.         |               |        |    |    |    |         |   |   |
| <i>G. lateralis</i> Weiller                |               |        |    |    |    |         |   |   |
| <i>G. cf. intimus</i> Prochazka            |               |        |    |    |    |         |   |   |
| <i>Otolithus (Gobius)</i> sp.              |               |        |    |    |    |         |   |   |
| <b>Serranidae</b>                          |               |        |    |    |    |         |   |   |
| <i>Morone maguntina</i> (Koken)            |               |        |    |    |    |         |   |   |
| <b>Sebastidae</b>                          |               |        |    |    |    |         |   |   |
| <i>Umbria gibberula</i> (Koken)            |               |        |    |    |    |         |   |   |
| <i>Corvinia cf. speciosa</i> (Koken)       |               |        |    |    |    |         |   |   |
| <b>Atherinidae</b>                         |               |        |    |    |    |         |   |   |
| <i>Atherina austriaca</i> Schubert         |               |        |    |    |    |         |   |   |
| <b>Scopelidae</b>                          |               |        |    |    |    |         |   |   |
| <i>Scopelus debilis austriacus</i> (Koken) |               |        |    |    |    |         |   |   |
| <b>Gadidae</b>                             |               |        |    |    |    |         |   |   |
| <i>Macruridarum minusculus</i> (Schubert)  |               |        |    |    |    |         |   |   |
| <b>Sparidae</b>                            |               |        |    |    |    |         |   |   |
| <i>Otolithus (Cantharus)</i> sp.           |               |        |    |    |    |         |   |   |

88/12

biotopului marin, aduce după sine micșorarea dimensiunilor sagitelor și deci a faunei de pești, fapt atestat de studiile biometrice efectuate. Pentru o bună exemplificare au fost prezentate dimensiunile formelor tip, alături de cele ale sagitelor sarmatiene studiate și a formelor mai tinere ca vîrstă, în cazul cînd aceste din urmă și-au continuat evoluția.

Alt factor abiotic, care contribuie la reducerea dimensiunilor taliei indivizilor, este temperatura. Majoritatea genurilor faunei ichtiologice de la Soceni, semnalate încă începînd cu Oligocenul superior sau cu începutul Miocenului, se adaptează mai greu climatului mediteranean din timpul Sarmatianului. Unele din forme ca : *Macruridum minusculus*, *Atherina austriaca*, *Umbria gibberula* și *Corvinia speciosa* și formele sau varietățile noi întîlnite, nu își mai continuă evoluția. Vigurozitatea cu care participă gobiidele în timpul Sarmatianului, este explicată prin marea putere de adaptabilitate pe care o are această familie, actual, fiind reprezentată pe toate meridianele globului.

## BIBLIOGRAFIE

- Bauzá Rullán J. (1957) Contribuciones a la fauna ictiologica de Espana. Otolitos actuales y fosiles. *Monografias Geol.* V, Inst. Geología Aplicada, Oviedo.
- Chaine J., Duviargier J. (1928) Sur des Otolithes fossiles de la Pologne. *Ann. Soc. géol. de Pologne*, V, Krakovia.
- Hauer Fr., Stache G. (1863) Geologie Siebenbürgens, Viena.
- Huică I., Gheorghiu Maria (1962) Clupea gorjensis nov. sp. o nouă specie de pești din Sarmatianul superior de la Săcel-Gorj (nordul depresiunii Getice). *D.S. Com. Geol.* XLVII, București.
- Ilie M. (1955) Cercetări geologice în Bazinul Transilvaniei. *An. Com. Geol.*, XXVIII, București.
- Jekelius E. (1844) Sarmat und Pont von Soceni (Banat). *Mem. Inst. Geol. Rom.*, V., București.
- Koken E. (1884) Über Fisch — Otolithen insbesonders über diejenigen der norddeutschen Oligocän Ablagerungen. *Zeitschr. d. Deutsch. geol. Ges.*, 35, Berlin.
- (1888) Neue Untersuchungen an tertiären Fisch-Otolithen. I. *Zeitschr. Deutsch. geol. Ges.* 40, Berlin.
  - (1891) Neue Untersuchungen an tertiären Fisch-Otolithen. II. *Zeitschr. Deutsch. geol. Ges.* 43, Berlin.
- Neugeboren L. (1851) Bemerkungen über die fossilen Fische von Szakadat. *Verh. u. Mill. Siebenb. Ver. Naturw.* III, Sibiu.
- Pană Ioana (1965) Otolitele pliocene din regiunea de curbură a Carpaților. *Acad. R.S.R. Stud. Cerc. Geol.* 10|1, București.
- Păucea M. (1935) Poissons fossiles du Pontien de l'Olténie. *Bull. Soc. Rom. de Geol.* II, București.

- (1935) Originea și evoluția faunei ichtiologice terțiare și actuale din Europa. *Bul. Soc. Rom. Nat.* 7, București.
- Priem F. (1911) Sur des otolithes de Poissons fossiles des terrains tertiaires supérieurs de France. *Bull. Soc. géol. Fr.* 4, XI, Paris.
- (1914) Sur des otolithes de Poissons fossiles des terrains tertiaires supérieurs du Sud-Ouest de la France. *Bull. Soc. géol. Fr.* XIV, Paris.
- Rado Gheranda (1965) otolite din depozite tortoniene de la Coșteiu de Sus. *An. Univ. București, ser. St. Nat. Geol. Geografie.* XIV, București.
- Schubert R. J. (1902) Die Fischotolithen des Österr-Ungar-Tertiärs. I. *Jahrb. d.k.k. geol. R.A.* LI, Viena.
- (1906) Die Fischotolithen des Österr-Ungar. Tertiärs. III. *Jahrb. d.k.k. geol. R.A.* LVI, 3/4, Viena.
- Schweinitz I. (1866) Possible Pflanzen und Fische von Kornicel in Siebenbürgen. *Verh. d.k.k. geol. R.A.* XVI, Budapest.
- Simionescu I. (1904) Asupra citorva pești fosili din Terțiul românesc. *Acad. Rom. publ. V. Adamachi*, XII, București.
- Stancu Josefina, Andreescu Eugenia (1968) Fauna tortoniană din regiunea Rudi-Delinești (Baz. Caransebeș). *Stud. Cerc. Geol.*, 13/2, București.
- Weiler W. (1942) Die Otolithen des rheinischen und nordwestdeutschen Tertiärs, Berlin
- (1943) Die Otolithen aus dem Jungtertiär Süd-Rumäniens I.a. Buglov und Sarmat Senckenberg. 26, 1/3, Frankfurt a.M.
- (1949) Die Otolithen aus dem Jungtertiär Süd-Rumäniens I.b. Ergänzende Tafeln zu den Otolithen des Buglov- und Sarmat. *Senckenberg.* 30, 4/6, Frankfurt a.M.
- (1950) Die Otolithen aus dem Jung-Tertiär Süd-Rumäniens. 2. Mittel-Miozän, Torton, Buglov und Sarmat. *Senckenberg.* 31, 3/4, Frankfurt a.M.
- (1958) Die Niederrheinische Braunkohlenformation (Fisch-Otolithen aus dem Oberligozän und dem Mittelmiozän der Niederrheinischen Bucht). *Fortschr. Geol. Rheinland u. Westfalen.* 1/2. Krefeld.
- (1963) Die Fischfauna der Tertiärs im oberrheinischen Graben, des Mainzer Beckens. *Abh. Senckenb. naturf. Ges.* 504, Frankfurt a.M.
- Weinfürter E. (1952a) Otolithen aus miozänen Brack- und Süßwasserschichten des Lavantales in Kärnten. *Sitzungsbericht* I. 161, 2/6, Viena.
- (1952 b) Die Otolithen aus dem Torton (Miozän) von Mühldorf in Kärnten. *Sitzungsb.* I. 161, 2/6, Viena.
- (1967) Die miozäne Otolithenfauna von St. Veit an der Triesting N.O. *Ann. des Naturhist. Museum*, 71, Viena.

## OTOLITHES SARMATIENS DE SOCENI (BANAT—ROUMANIE)

(Résumé)

On y présente la faune ichtyologique de Soceni prélevée par Jekeliu des dépôts sarmatiens développés dans les vallées de Polijoanei et de Turislav (matériel qui se trouve dans la collection de l'Institut Géologique de Roumanie).

On a examiné 80 espèces de sagittes et on a identifié 7 familles représentées par 8 genres et 16 espèces. Des espèces mentionnées deux sont des espèces nouvelles pour la faune ichthyologique : *Otolithus (Cantharus)* sp. et *Otolithus (Gobius)* sp. et deux autres représentent des formes nouvelles pour la Roumanie (*Umbria gibberula* (K o k e n) et *Atherina austriaca Schuberti*). Dans les planches annexes sont illustrées des phases d'évolution embryonnaire surprises chez certaines espèces (*Gobius triangularis* Weiller, *G. pretiosus*, *G. luevis*, *Morone megalotima* etc.).

Les mesurages biométriques effectués ont mis en évidence quelques variétés évolutives des espèces déterminées le long de l'intervalle de l'Oligocène-Pliocène. En vue de faire des comparaisons on a fait appel aux données biométriques consignées dans la littérature de spécialité à l'égard des formes plus anciennes ou plus récentes.

L'étude effectuée conduit à conclure que les otolithes peuvent être utilisés, en une certaine mesure, pour préciser l'âge des sédiments surtout lorsque la microfaune fait défaut ou est mal conservée (pour ce qui est des dépôts interceptés par forage) dans l'intervalle de l'Oligocène-Pliocène.



## PLANŞA I



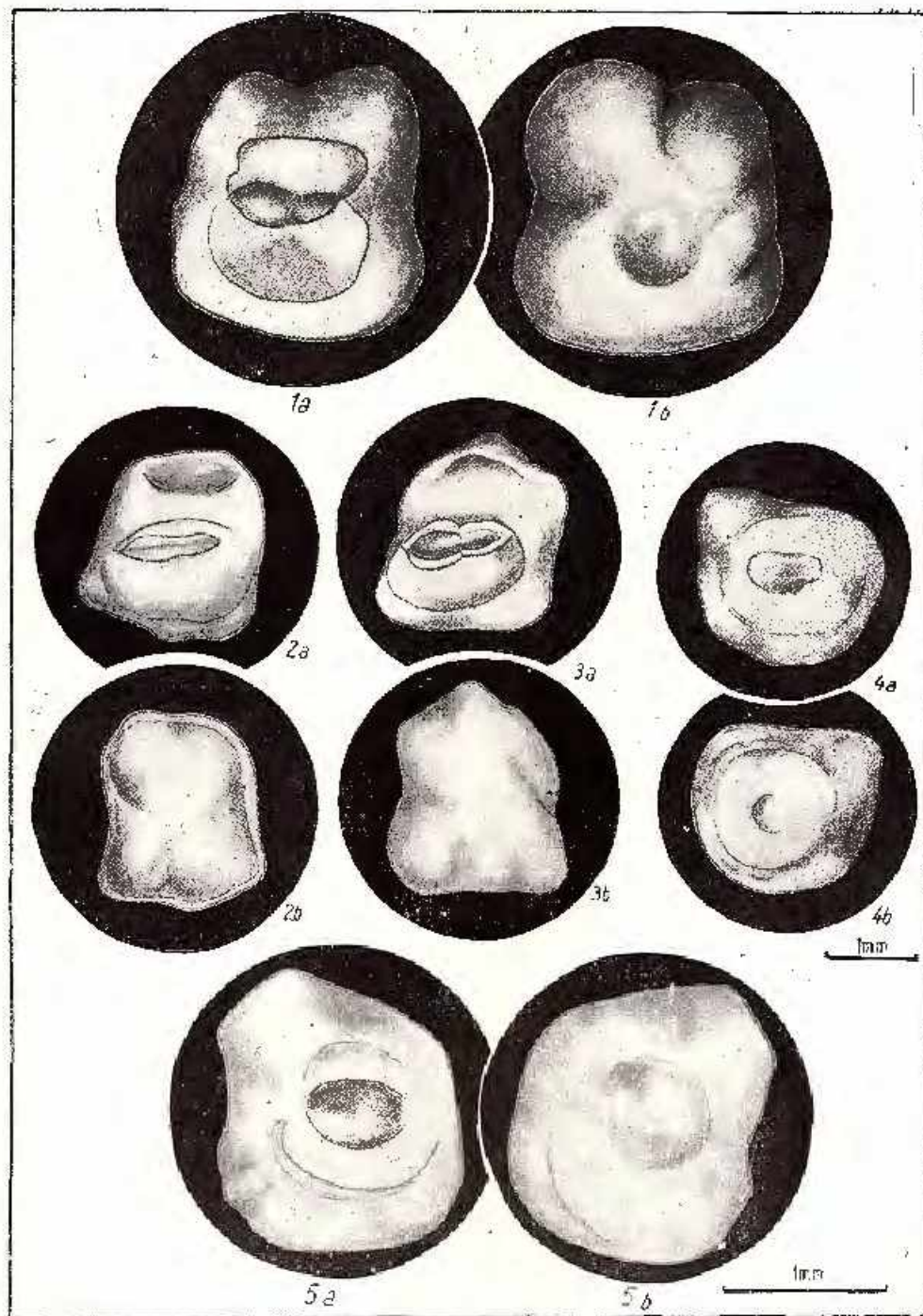
Institutul Geologic al României

## PLANŞA I

Fig. 1—5. — *Gobius triangularis* Weiller. Sagită matură (1), față internă (a) și externă (b) — valea Polițioanei. Sagite imature (2, 3), fețe interne (a) și externe (b) — valea Polițioanei; sagite immature (4, 5) fețe interne (a) și externe (b) valea Turișlav.

*Gobius triangularis* Weiller. Sagite mûres (1), surface interne (a) et externe (b)-vallée de Polițioanei. Sagittes immatures (2, 3), surfaces internes (a) et externes (b)-vallée de Polițioanei; sagites immatures (4, 5) surfaces internes (a) et externes (b)-vallée de Turișlav.





## PLANSĂ II

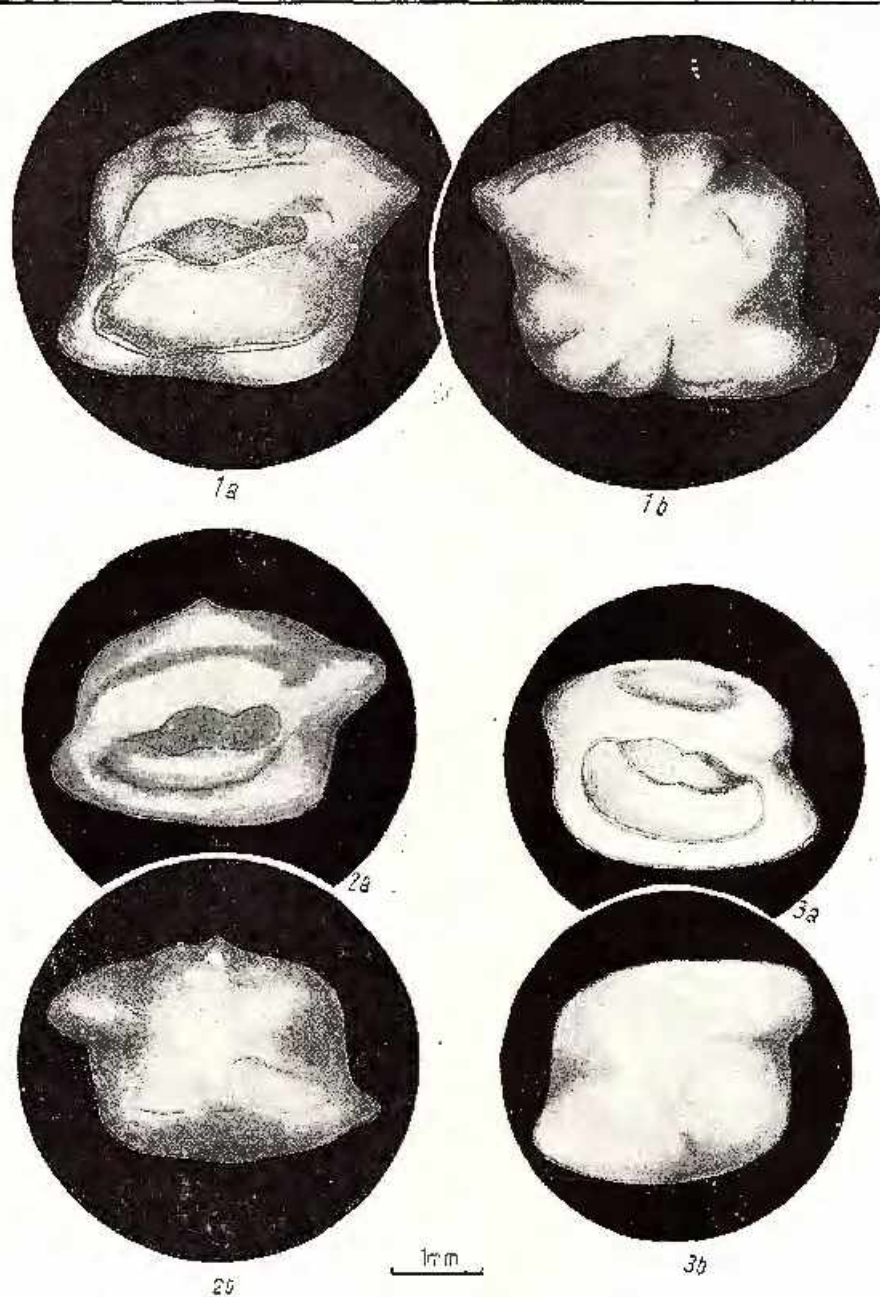
Fig. 1, 2. — *Gobius pretiosus* Prochazka var.-valea Turislav (II). Sagite drepte, fețe interne (a), externe (b).

*Gobius pretiosus* Prochazka var.-vallée de Tarislav (II). Sagitte droite, surfaces internes (a), externes (b).

Fig. 3. — *Gobius pretiosus* Prochazka-valea Polițoanei (P.2). Sagită dreaptă, față internă (a) și externă (b).

*Gobius pretiosus* Prochazka-vallée de Polițoane (P.2). Sagitte droite, surface interne (a) și externe (b).





### PLANSA III

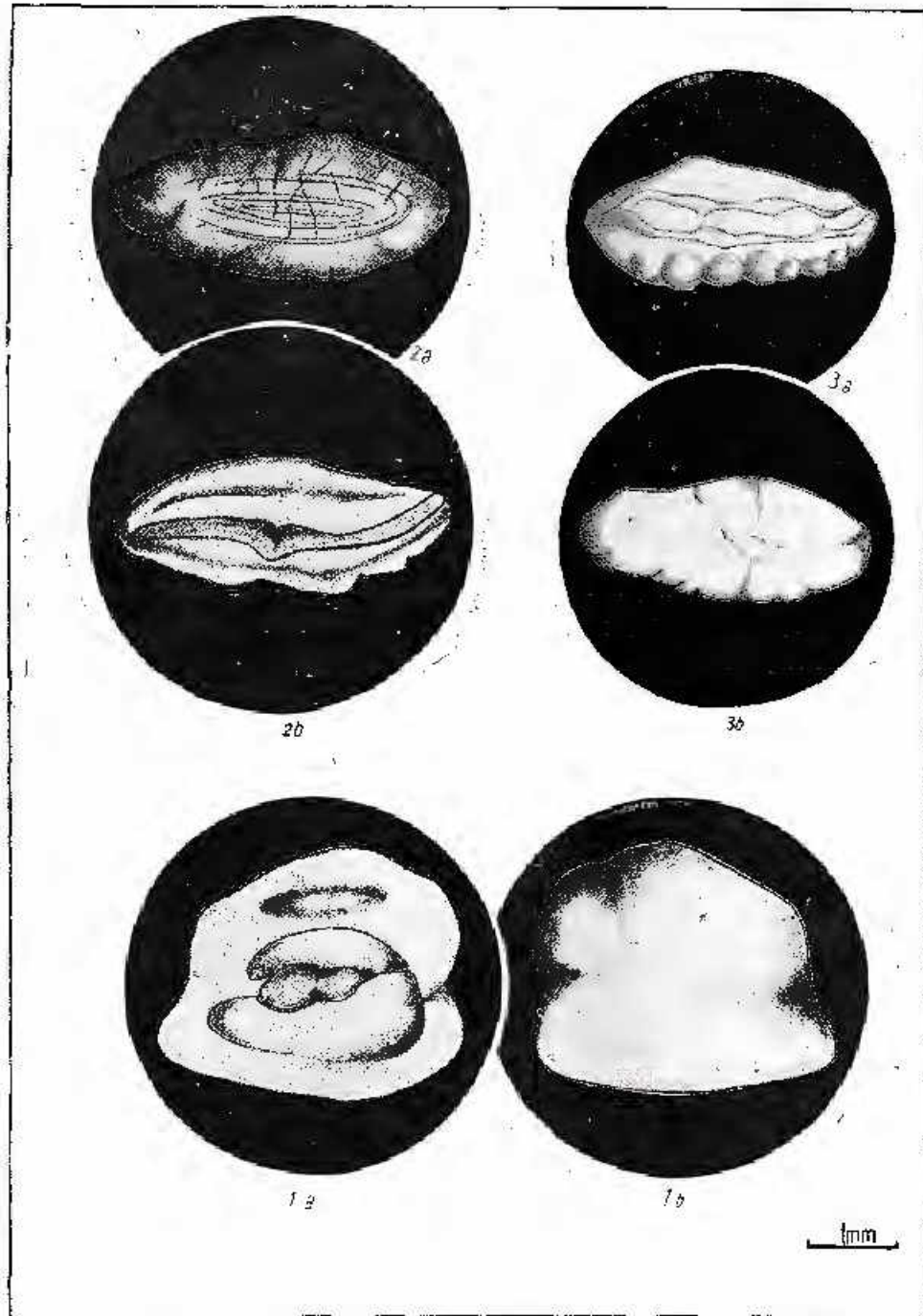
**Fig. 1.** — *Gobius pretiosus* Prochazka - valea Polițioanei (P.5). Sagită dreaptă, față internă (a) și externă (b).

*Gobius pretiosus* Prochazka - vallée de Polițioanei (P.5). Sagitte droite, surface interne (a) et externe (b).

**Fig. 2-3.** — *Macruridaram minusculus* (Schubert). Sagită, față externă (2a) și internă (2b)-valea Polițioanei (P.4); sagită, față internă (3a) și externă (3b)-văile Turislav (II).

*Macruridaram minusculus* (Schubert). Sagitte, surface externe (2a) et interne (2b)-vallee de Polițioanei (P.4); sagitte, surface interne (3a) et externe (3b)-văile de Turislav (II).





#### PLANSĂ IV

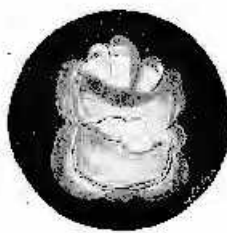
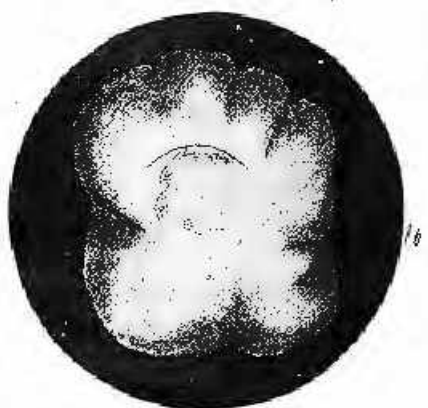
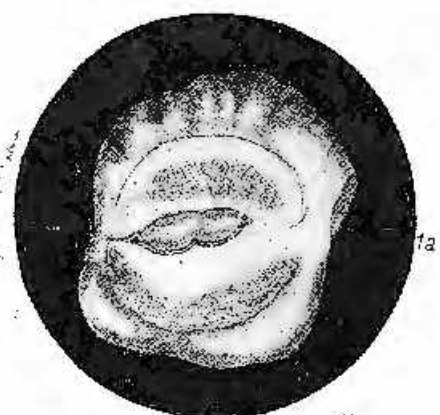
Fig. 1-2. — *Gobius vicinalis* (K o k e n) - valea Polițoanei. Sagită matură, față internă (1 a) și externă (1 b). Sagită imatură, față internă (2 a) și externă (2 b).

*Gobius vicinalis* (K o k e n) - vallée de Polițoanei. Sagitte matures, surface interne (1 a) et externe (1 b). Sagitte immatures, surface interne (2 a) et externe (2 b).

Fig. 3. — *Gobius vicinalis* (K o k e n) var. - valea Turislav (II). Față internă (a) și externă (b).

*Gobius vicinalis* (K o k e n) var. - vallée de Turislav (II). Surface interne (a) et externe (b).





1mm

## PLANSA V

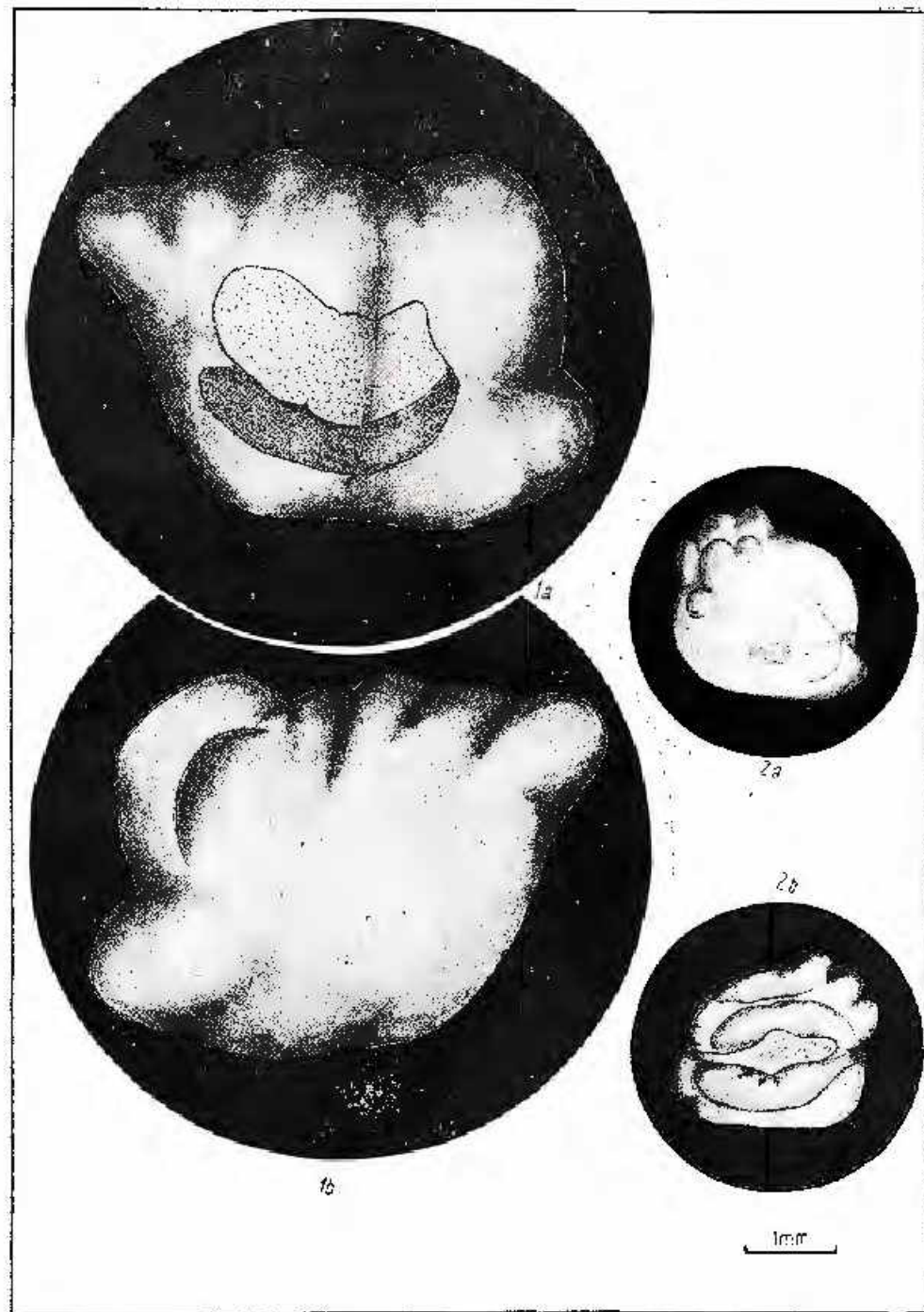
Fig. 1. — *Otolithus (Gobius)* sp. — valea Polițioanei (P. 4). Sagită dreaptă, fată internă (a) și externă (b).

*Otolithus (Gobius)* sp.-vallée de Polițioanei (P.4). Sagitte droite, surface interne (a) et externe (b).

Fig. 2. — *Gobius* cf. *intimus* (Prochazka) — valea Polițioanei. Sagită dreaptă, fată internă (a) și externă (b).

*Gobius* cf. *intimus* (Prochazka)-vallée de Polițioanei. Sagitte droite, surface interne (a) et externe (b).





## PLANŞA VI

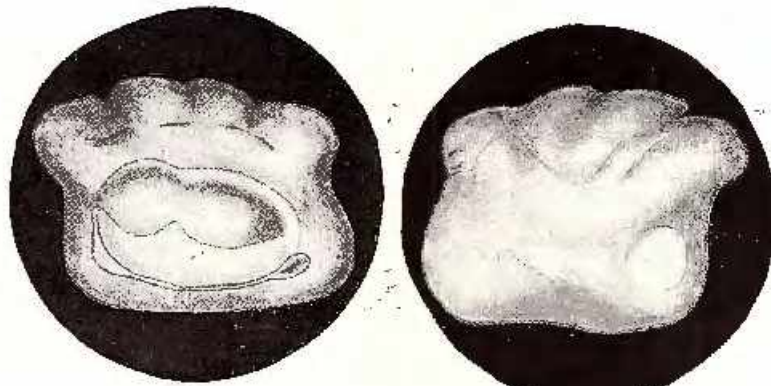
Fig. 1. — *Gobius francofurtanus* (Koken) - valea Polițoanei (P.2). Sagită dreaptă, față internă (a) și externă (b).

*Gobius francofurtanus* (Koken) - vallée de Polițoanei (P.2). Sagitte droite, surface interne (a) et externe (b).

Fig. 2, 3. — *Gobius laevis* Weiller. Sagită stângă, imatură, față internă (2 a) și externă (2 b)-valea Turislav. Sagită stângă, față internă (3a) și externă (3b)-valea Polițoanei.

*Gobius laevis* Weiller. Sagitte gauche, immature, surface interne (2a) et externe (2b)-vallée de Turislav. Sagitte gauche, surface interne (3a) et externe (3b)-vallée de Polițoanei.

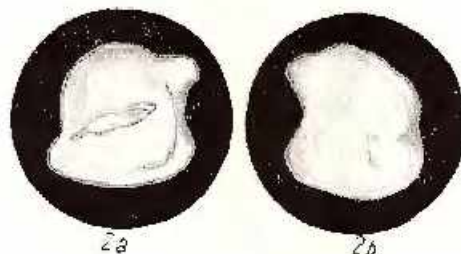




1a

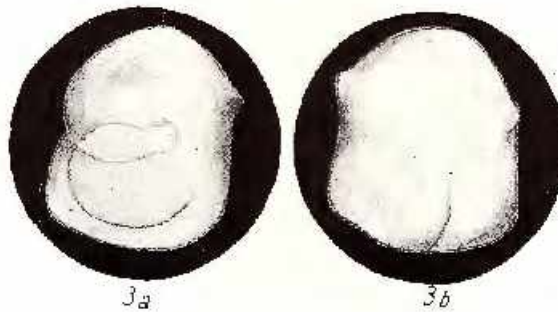
1b

1mm



2a

2b



3a

3b

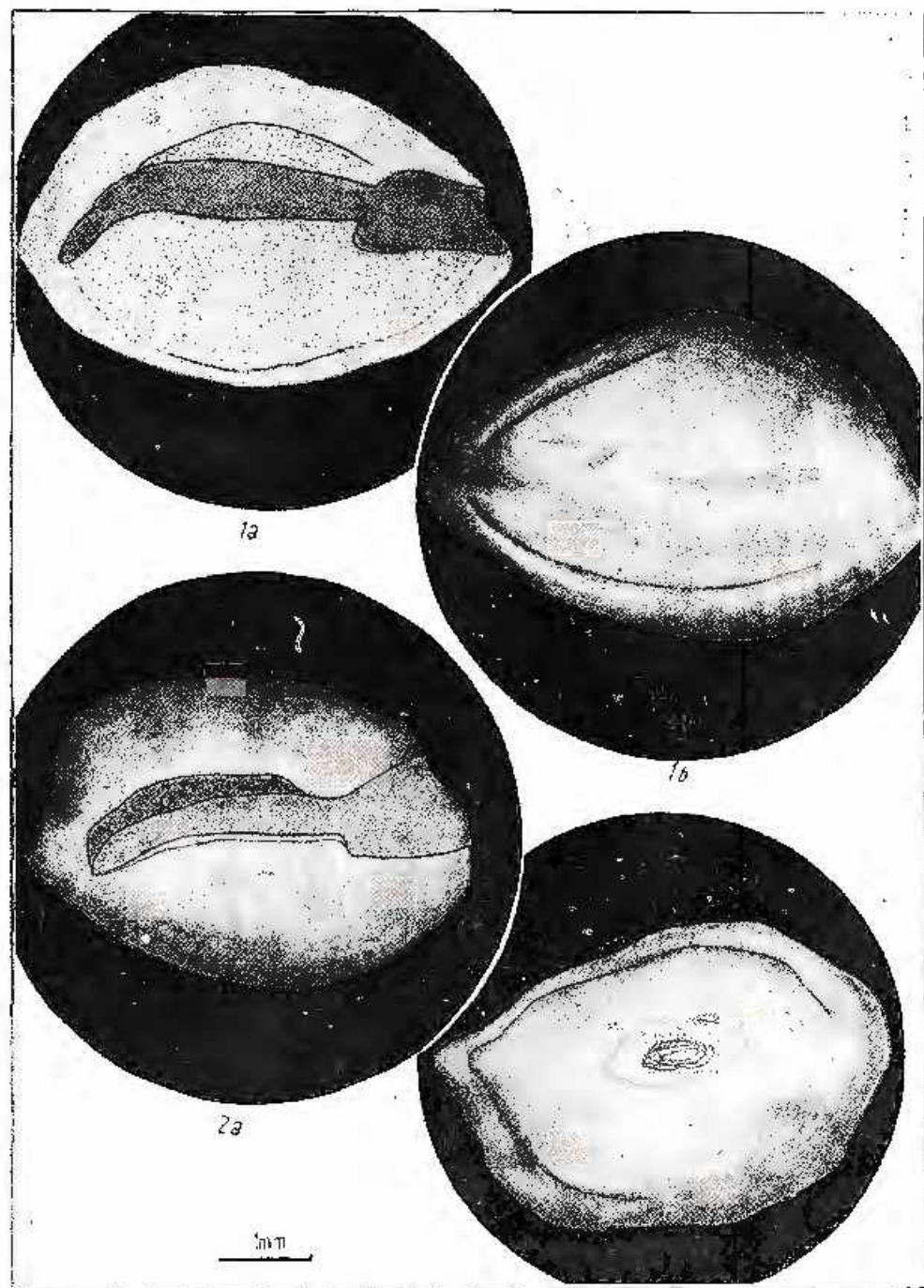
1mm

## PLANŞA VII

Fig. 1, 2. — *Morone magurina* (Koken) - valea Polițoanci (P. 5). Sagite stângi, fețe interne (1 a, 2 a) și externe (1 b, 2 b).

*Morone magurina* (Koken) - vallée de Polițoanci (P. 5). Sagittes gauches, surfaces internes (1 a, 2 a) et externes (1 b, 2 b).



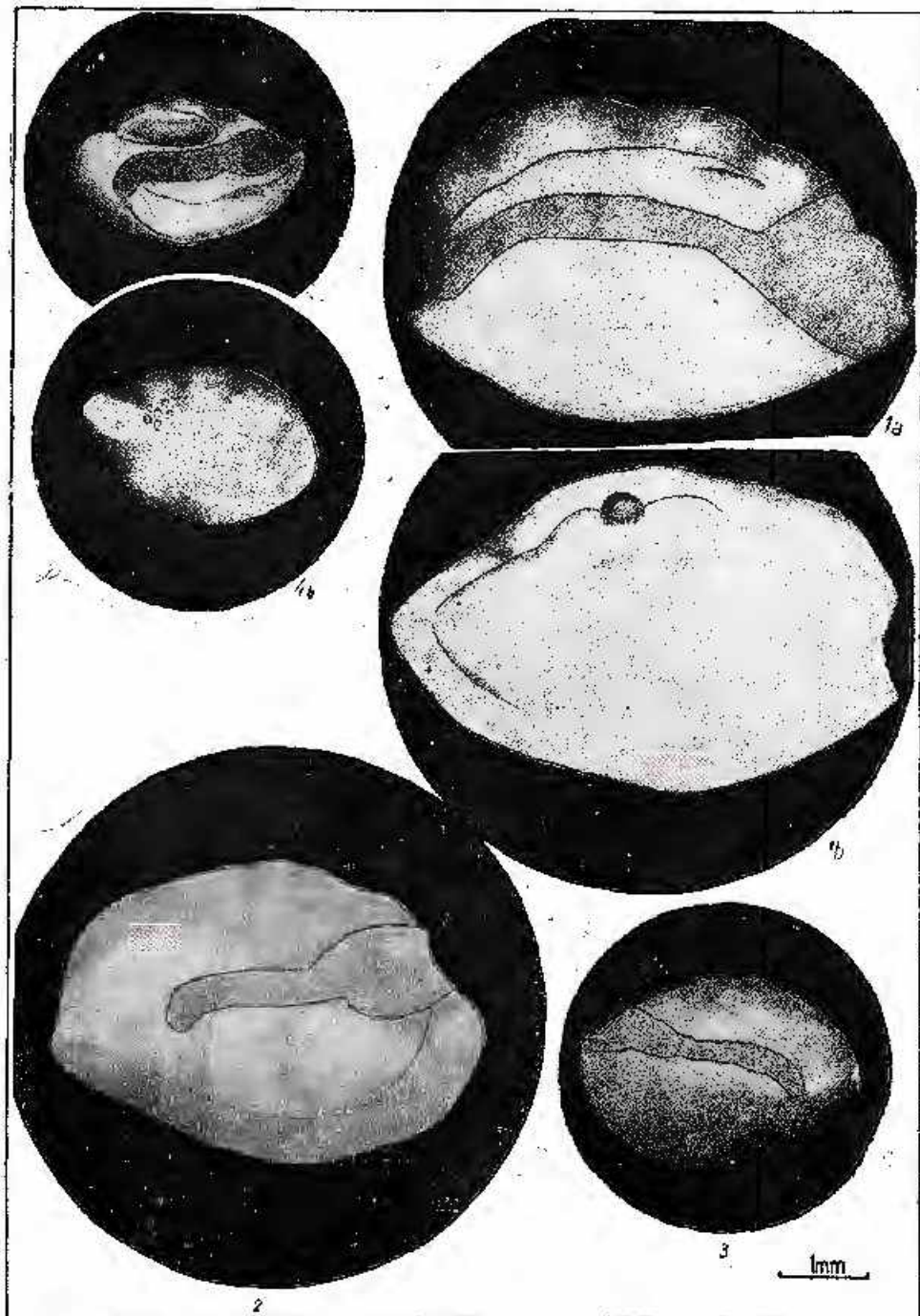


Institutul Geologic. Dări de seismă, vol. LVI/3.

## PLANŞA VIII

Fig. 1, 2, 3, 4. — *Morone moguntina* (K o k e n). Sagită stingă (1), față internă (a), externă (b)-valea Polițoanei (P. 5). Sagită stingă, față internă (2)-valea Turislav; Sagită dreaptă, formă imatură, față internă (3), valea Turislav. Sagită stingă, formă necvolvală (4), Internă (a) și externă (b).

*Morone moguntina* (K o k e n). Sagitte gauches (1), surfaces interne (a), externes (b)-vallée de Polițoanei (P. 5). Sagitte gauches, surface interne (2)-vallée de Turislav; sagitte droites, forme immature, surface interne (3)-vallée de Turislav. Sagitte gauches, forme non évoluées (4), interne (a) et externe (b).

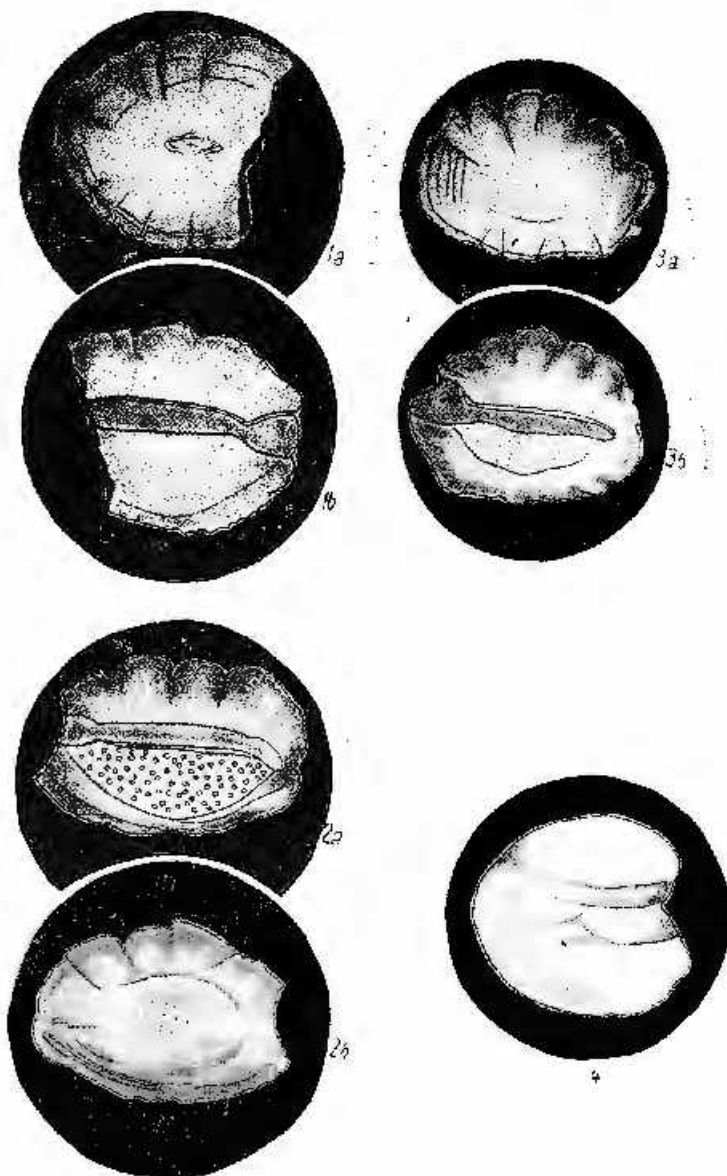


## PLANŞA IX

Fig. 1, 2, 3. — *Atherina austriaca* Schubert - valea Turislav (II). Sagită dreaptă, incompletă (1), față externă (a), internă (b). Sagită stingă (2), față internă (a) și externă (b). Sagită stingă formă înărtă (3), față externă (a), internă (b).

*Atherina austriaca* Schubert - vallée de Turislav (II). Sagitte droite, incomplète (1), surface externe (a), interne (b). Sagitte gauche (2), surface interne (a), externe (b). Sagitte gauche forme jeune (3), surface externe (a), interne (b).





Institutul Geologic. Dări de seamă, vol. LVI/3.

## PLANŞA X

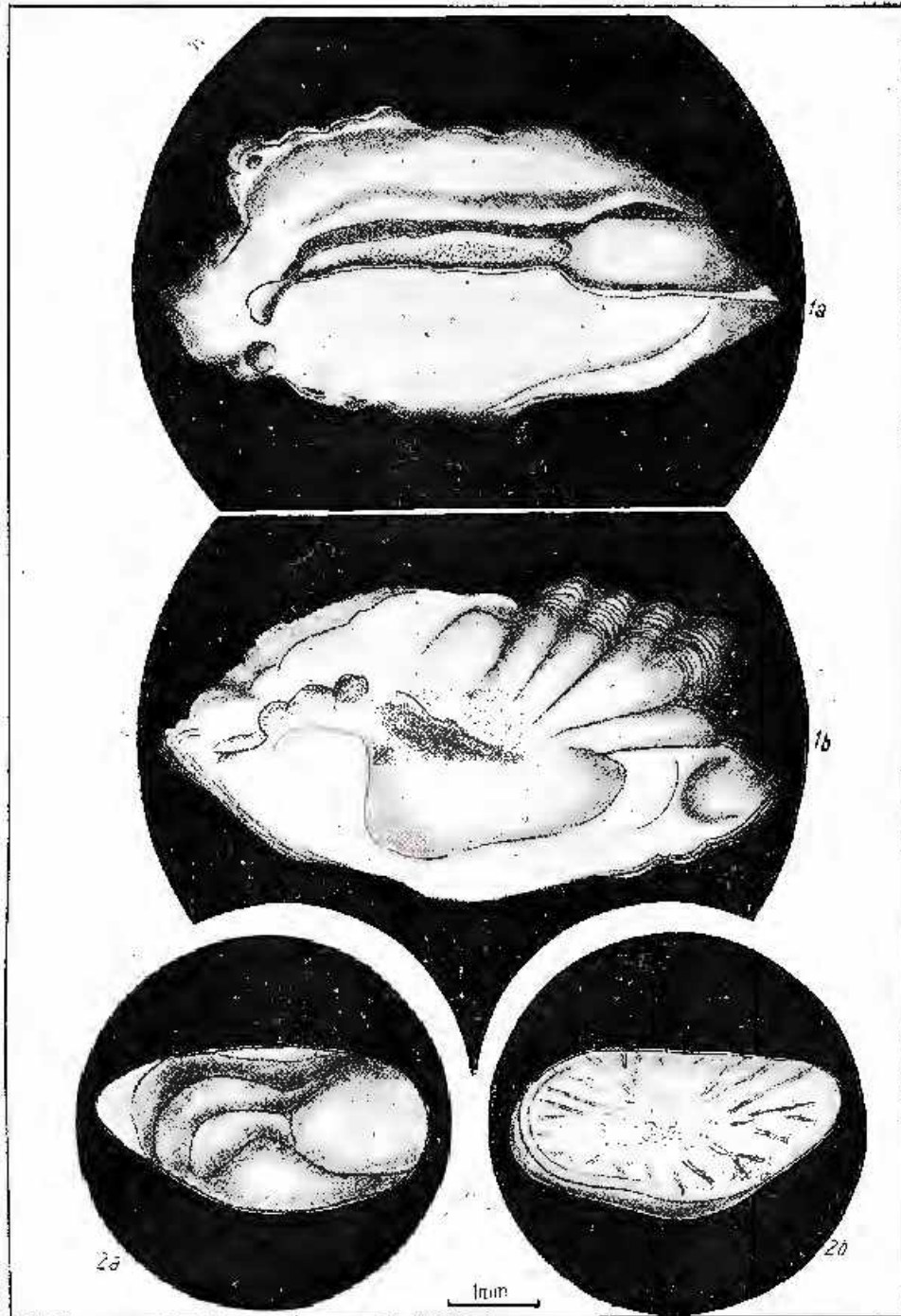
Fig. 1. — *Otolithus (Cantharus)* sp. - valea Polițioanei (P. 4). Sagită stingă, față internă (a), externă (b).

*Otolithus (Cantharus)* sp.-vallée de Polițioanei (P. 4). Sagitte gauche, surface interne (a), externe (b).

Fig. 2. — *Corvinia* cf. *speciosa* (K o k e n) -valea Polițioanei (P. 5). Sagită stingă, față internă (a) și externă (b).

*Corvinia* cf. *speciosa* (K o k e n) -vallée de Polițioanei (P. 5). Sagitte gauche, surface interne (a) et externe (b).





Institutul Geologic. Dări de seamă, vol. LVI/3.

## PLANŞA XI

Fig. 1. — *Umbria gibberula* (Koken) - valea Turistav (II). Sagită dreaptă, față internă (a) și externă (b).

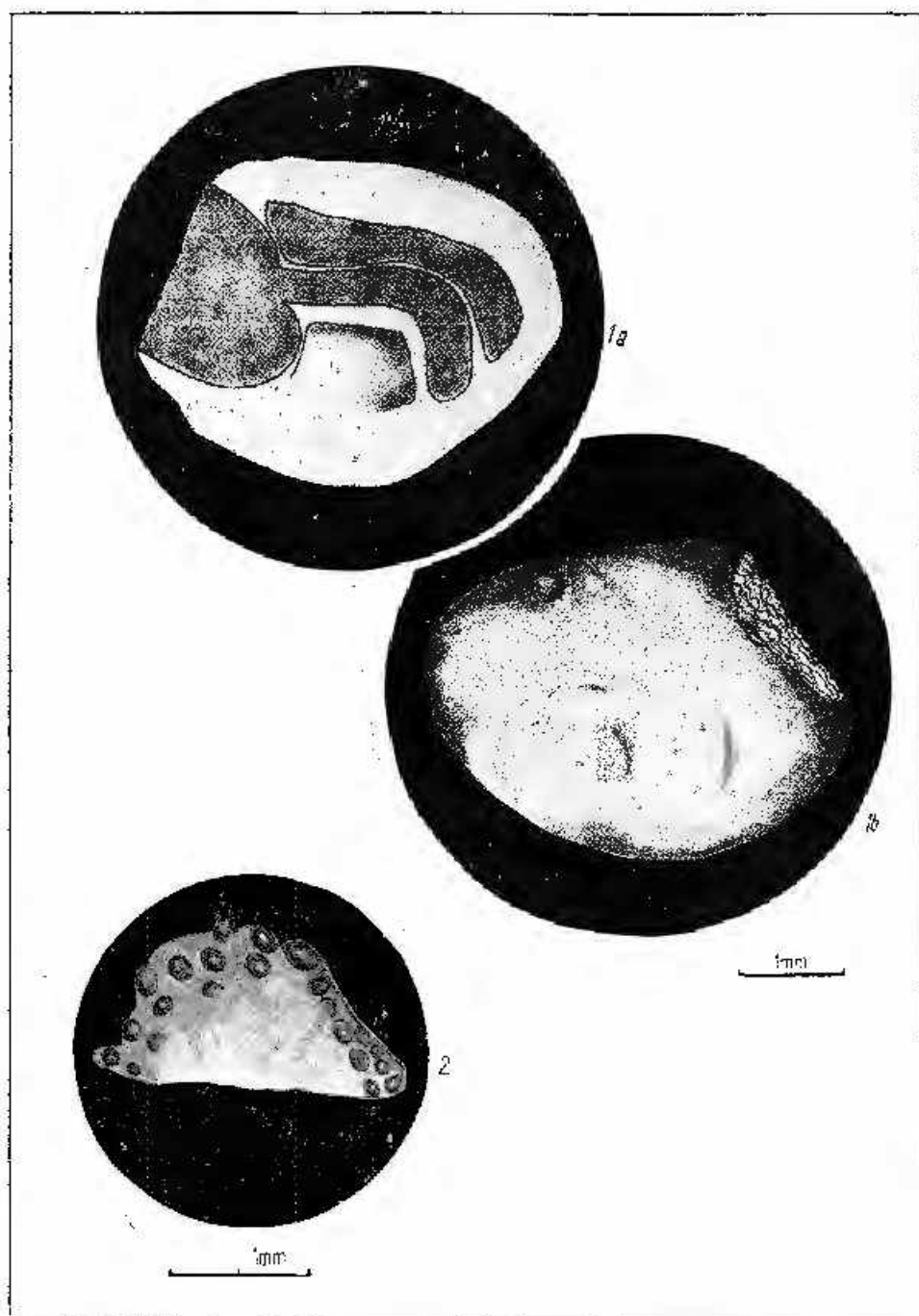
*Umbria gibberula* (Koken) - vallée de Turistav (II). Sagitte droite, surface interne (a) et externe (b).

Fig. 2. Fragment de maxilar superior, cu dinți palatini.

Fragment de maxillaire supérieur avec dents palatines.



Institutul Geologic al României



### 3. PALEONTOLOGIE

#### MICROPALEONTOLOGIE

#### NOTĂ ASUPRA UNUI NOU „CHAETETID”, ADAEQUOPARIETES SCHNORFAE GEN. NOV. SPEC. NOV.<sup>1</sup>

DR  
ALBERT BALTRÈS<sup>2</sup>

#### Abstract

Data on a New „Chaetetid” *Adaequoparietes Schnorfae* Gen. Nov. Spec. Nov. A new colonial organism Lower Cretaceous in age, *Adaequoparietes schnorfae* gen. nov., spec. nov., encountered in the northeastern part of the Transylvanian basin, as well as on the outer slope of the East Carpathians, is presented. The new colonial organism is assigned to „chaetetids” *sensu* Schenck-Steiner, 1963.

Materialul paleontologic care a stat la baza prezentei note provine din două locuri diferite: din elementele de calcar mezozoice remaniate în conglomeratele tortoniene din partea de NE a bazinului Transilvaniei și din calcarale urgoniene alohotone ale Wildflyschului munților Cincului.

Pozitia sistematică a „chaetetidelor” este încă incertă datorită numărului redus de specii cunoscute, care au o răspândire geografică și stratigrafică redusă. Aceasta este motivul pentru care Schenck-Steiner le-a atribuit chaetetidelor în sens larg. Caracterul cel mai stabil luat în considerație, care permite determinarea și clasificarea acestor organisme, este după autoarea amintită microstructura elementelor scheletice. Pentru acest grup a fost creată de către Schenck-Steiner (1963) o nouă familie - *Varioparietidae*, care cuprinde următoarele genuri: *Varioparietes* cu trei specii și o varietate, *Axiparietes* și *Granatiparietes* cu cîte o specie, provenind din Valanginianul din Jura. Toate genurile au fost create de către Schenck-Steiner.

<sup>1</sup> Comunicare în ședință din 25 aprilie 1969.

<sup>2</sup> Întreprinderea Geologică de Prospectingiuni, Șos. Kiseleff nr. 2, București.

Schnorf-Steiner de la Muzeul Geologic din Lausanne a avut amabilitatea de a ne da o prețioasă consultație în determinarea făcută, pentru care îi aducem și pe această cale mulțumirile noastre.

Familia Varioparietidae Schnorf-Steiner 1963

*Adaequoparietes* gen. nov.

*Generotip* : *Adaequoparietes schnorfae* spec. nov.

*Diagnoza* : colonii columnare constituite dintr-un reticul axial și unul periferic care se modifică periodic în cursul ciclurilor de creștere succesive. Reticulul axial desenează contururi poligonale. Reticulul periferic este constituit din elemente scheletice care separă tuburi și canale vermiculate. Despărțiturile dintre tuburi și canale nu sunt pereți propriu-zisi ci sunt date de o lamă axială întunecată față de care se dispun bilateral două zone fin granulare de culoare mai deschisă.

Numele genului provine din latinescul *adaequo* și se referă la caracterul despărțiturilor dintre cavitatele coloniilor.

*Adaequoparietes schnorfae* gen. nov. spec. nov.

(Pl. I-V)

v. 1970 „*Chaetetidae*”; Baltrès (nomen nudum)

Numele speciei este dedicat doamnei Schnorf-Steiner de la Muzeul Geologic din Lausanne.

*Specimene tip*. -- Holotip : secțiuni subțiri nr. P6982a secțiune radiară -- pl. I, III, V, fig. 1; nr. P6982b secțiune verticală -- pl. II, fig. 1; IV; nr. P6982c secțiune verticală. Paratipuri : specimen nr. P6983 (două piese) parțial șlefuit și secțiuni : nr. P6983a secțiune verticală-oblică -- pl. V, fig. 3, nr. P6983b secțiune radiară -- pl. V, fig. 4; specimen nr. P6984 șlef și secțiune nr. P6984a secțiune radiară -- pl. V, fig. 5; secțiune subțire nr. P6985 secțiune radiară-oblică -- pl. V, fig. 2; secțiune subțire nr. P6986 secțiune radiară -- pl. V, fig. 6. Toate exemplarele se păstrează în Colecția Institutului Geologic din București.

*Vîrstă* : Cretacic inferior, indicată de o asociație cu *Neotrocholina friburgensis* var. *bisulcata*, *Carpathoporella fontis*, *Bacinella*.

*Loc de colectare* : holotipul provine din conglomeratele tortoniene de la E de localitatea Teaca, în partea de NE a bazinului Transilvaniei; paratipurile provin din blocurile de calcare alektone înglobate în Wildflyschul munților Ciucului (valea Lavard).

*Diagnoza* : colonii columnare libere sau alipite. Un reticul axial și unul periferic dimorfic, zonat. Reticulul axial este constituit din ele-

mente scheletice fine astfel unite între ele încit formează o rețea poligonă închisă sau deschisă. Reticulul periferic este constituit din elemente scheletice discontinui care separă tuburi frecvent anastomozate și canale vermiculate cu secțiune poligonală. Zonația este dată de alternanța ciclurilor de creștere: zone cu o textură grosieră în care tuburile au tendință unei dezvoltări regulate, alternează cu zone cu textură fină constituuite dintr-o rețea de canalicule neregulate, vermiculate.

*Dimensiuni (mm):*

Înălțimea edificiului columnar: 15—170

Diametrul edificiului columnar: 25—60

Diametrul reticulului axial 3,5—17

Grosimea unui ciclu de creștere cu textură grosieră: 0,6—1,2

Grosimea unui ciclu de creștere cu textură fină: 0,35—2

Diametrul ochiurilor rețelei axiale: 0,1—0,24, except. 0,45

Diametrul tuburilor și canalelor: 0,04—0,16

Grosimea despărțiturilor lamelare: 0,04—0,08 (în zonele grozioare) și 0,02 (în zonele fine)

*Descriere:* agregatele de colonii columnare cu baza necunoscută au suprafață ornată cu striuri spirale.

În secțiune radiară ciclurile de creștere de maturitate zonate, încep printr-un inel îngust de punctuații. Zonele cu textură grozieră, mai întunecate, se intrerup brusc la partea superioară, făcind loc unei zone cu textură fină, de culoare mai deschisă, uneori cu evidente tendințe de diagenizare. Datorită diagenizării structura acestor zone se distinge cu dificultate. Frecvențele anastomoze între tuburi jucau probabil rol în înmulțirea sexuală a celulelor.

În secțiune verticală ciclicitatea creșterii este evidentă, recunoscindu-se alternanța de zone întunecate cu zone de culoare mai deschisă.

Reticulul central se prezintă atât în secțiune verticală cât și în secțiuni radiară ca o rețea poligonală incomplet închisă. La anumite nivele, partea axială a coloniei este complet înlocuită cu calcit cristalizat (pl.II, fig. 1).

Microstructura elementelor scheletice este totdeauna fin granulară, cu linie axială întunecată. Nu se remarcă un perete propriu-zis, ci o estompare treptată dată de scăderea desimii granulelor constitutive din sprijnul central către tuburi sau canale. Microstructura elementelor scheletice din zonele cu textură delicată nu poate fi recunoscută totdeauna datorită recristalizării. Recristalizarea poate afecta uneori și ciclurile cu textură grozieră.

Figura 1 din planșa III surprinde modul de înmulțire a unei colonii prin înmugurire. Fenomenul are loc la nivelul unui cielu de creștere cu textură grosieră din care pornește o apofiză cu textură de tipul reticulului axial care se prelungescă, devenind reticul axial al unei noi colonii. Ciclurile ulterioare de dezvoltare ale întregului edificiu includ ca pături concentrice și colonia nou formată.

#### REFERINȚE BIBLIOGRAFICE

Schnorf-Steiner Alice (1963) Sur quelques „Chaetetidae” du Valanginien du Jura, *Eclogae Geol. Helv.* 56/2, Berna.

#### NOTE SUR UNE NOUVELLE „CHAETETIDAE”, ADAEQUOPARIETES SCHNORFAE GEN. NOV. SPEC. NOV.

(Résumé)

On y présente une nouvelle „chaetetidae” sensu Schnorf-Steiner 1963, rencontrée dans les calcaires mésozoïques remaniés des conglomérats tortoniens situés dans la partie NE du bassin de Transylvanie autant que dans les calcaires urgoniens allochtones remaniés dans le Wildflysch des Monts Cinc (flanc externe des Carpates Orientales).

*Adaequoparietes* gen. nov.

Génotype : *Adaequoparietes schnorfae* spec. nov.

Diagnose : colonies columnaires constituées d'un réticul axial et d'un autre périphérique qui se modifient périodiquement au cours des cycles de croissance successifs. Le réticul périphérique est constitué d'éléments squelettiques qui séparent des tubes et des canaux vermiculés. Les tubes et les canaux ne sont pas séparés entre eux par des parois proprement-dits mais par des lamelles axiales sombres accompagnées, de part et autre, par deux zones finement granulaires plus claires. Le nom du genre vient du latin *adequo* se référant au caractère des séparation d'entre les cavités des colonies.

*Adaequoparietes schnorfae* gen. nov. spec. nov.

(Pl. I-V)

Diagnose : colonies columnaires libres ou accolées. Un réticul axial et un autre périphérique dimorphique, zoné. Le réticul axial est constitué par des éléments squelettiques fils réunis de telle façon qu'ils forment une maille ouverte ou fermée. Le réticul périphérique est formé d'éléments squelettiques discontinus qui séparent des tubes fréquemment anastomosés et des canaux vermiculés dont la section est polygonale. La zonalité vient de l'alternance des cycles de croissance : zones à texture grossière où les tubes tendent à se développer d'une façon régulière, en alternance avec des zones à texture fine formées d'une maille à canalicules irréguliers, vermiculés.



## PLANŞA I



Institutul Geologic al României

## PLANŞA I

*Adequoparietes scleroridea* gen. nov. spec. nov.

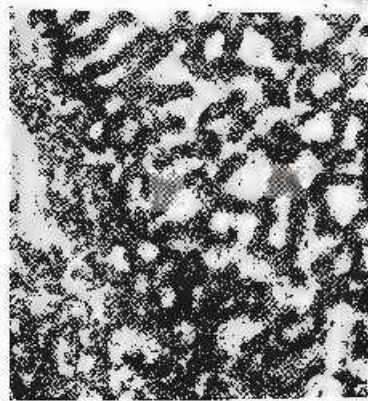
Fig. 1. — Holotip. Secțiune radială.  $\times 5$ .  
Holotype. Section radiaire.  $\times 5$ .

Fig. 2. — Detaliu de microstrucțură.  
Detail de microstructure.

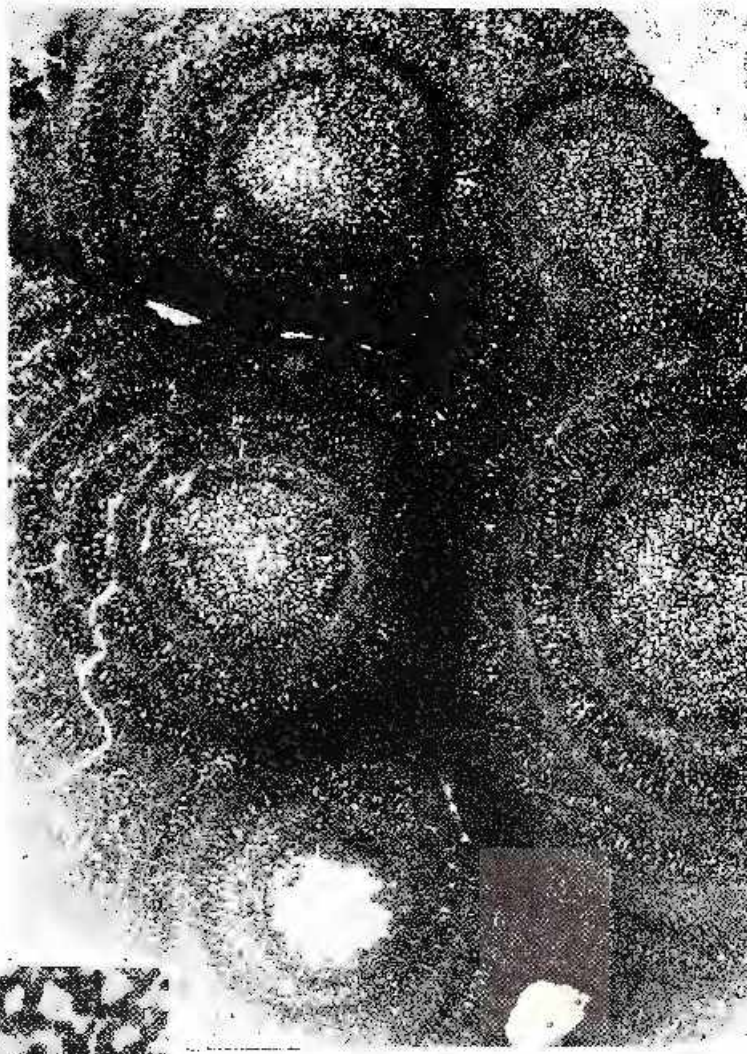


A. BALINT, Nou „chaetetid”, Adaequoparietes schmorlae gen. nov. spec. nov.

Pl. I.



1



2

## PLANŞA II

*Adaequoparietes schnorfai* gen. nov. spec. nov.

Fig. 1. — Holotip. Secțiune verticală prin cele două colonii din partea de jos a fig. 1, pl. I,  $\times 5$ .

Holotype. Section verticale dans les deux colonies situées en bas de la figure 1, pl. I,  $\times 5$ .

Fig. 2. — Holotip. Secțiune verticală prin colonia din partea inferioară stângă a fig. 1, pl. I,  $\times 13,3$ .

Holotype. Section verticale dans la colonie située en bas de la figure 1, pl. I, côté gauche,  $\times 13,3$ .



A. BALITREŞ. Nou „chaetid”, *Alaequoparietes schnorfae* gen. nov. spec. nov.

Pl. II.



1



2

### PLANSĂ III

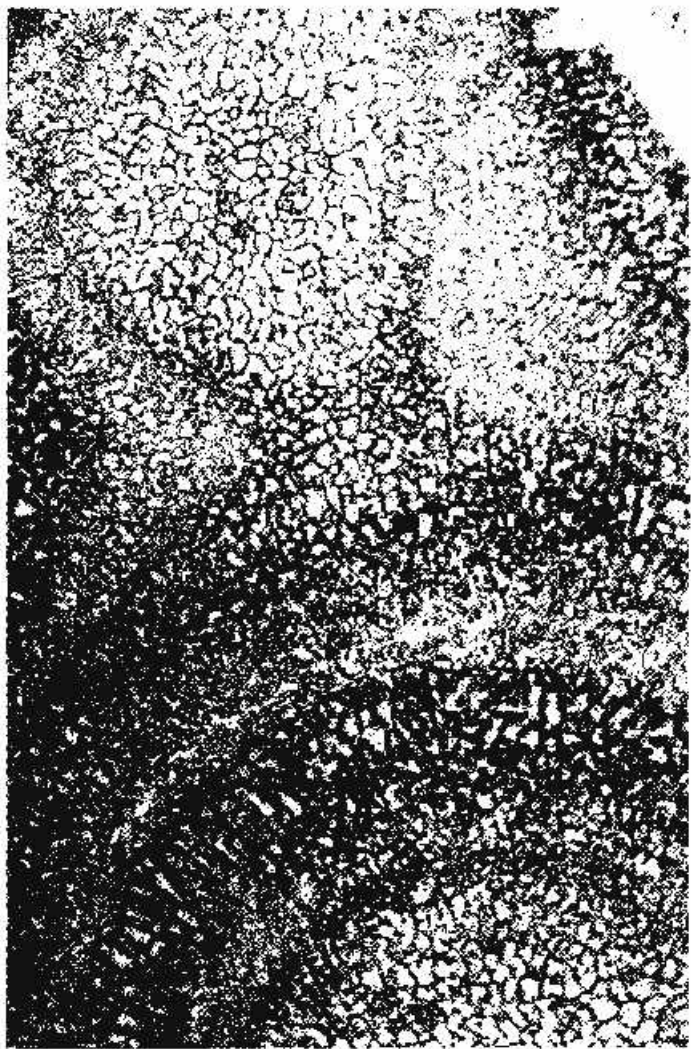
*Adaequoparietes schnerfae* gen. nov. spec. nov.

Fig. 1. — Holotip. Secțiune radială surprinzând modul de înmulțire prin înmugurire,  $\times 8,3$ .  
Holotype. Section radiaire surprenant la manière de se multiplier par bourgeonnement.  $\times 8,3$ .



Institutul Geologic al României

A. BALTREŞ. Nou „chaetetid”, *Adaequoparietes schnorfae* gen. nov. spec. nov.  
Pl. III.



Institutul Geologic. Dări de secundă, vol. LVII/3.



Institutul Geologic al României

## PLANŞA IV

*Adaequoparietes schinorae* gen. nov., spec. nov.

Fig. 1. — Holotip. Secțiune verticală prin nouă colonie formată prin înnădurare din fig. 1, pl. I, dreapta jos.  $\times 13,3$ .

Holotype. Section verticale dans la nouvelle colonie formée par bourgeonnement fig. 1, pl. I, côté droit en bas.  $\times 13,3$ .



Institutul Geologic al României

A. BALTIUS. Nou „chaetetid”, *Adaequoparietes schmorfae* gen. nov.  
spec. nov. Pl. IV.



Institutul Geologic. Dări de seamă, vol. LVI/3.



Institutul Geologic al României

## PLANŞA V

*Adaequoparietes schnorae* gen. nov. spec. nov.

Fig. 1. - Secțiune radială. Holotip.

Section radiaire. Holotype.

Fig. 2. — Secțiune radială-oblică. Paratip nr. P 6985. În dreapta jos se observă secțiunea poligonală a tuburilor.

Section radiaire oblique. Paratype nr. P 6985. En bas du côté droit on observe la section polygonale des tubes.

Fig. 3. — Secțiune verticală-oblică. Paratip nr. P 6983 a.

Section verticale oblique. Paratype nr. P 6983 a.

Fig. 4. — Secțiune radială. Paratip nr. P 6983 b.

Section radiaire. Paratype nr. P 6983 b.

Fig. 5. — Secțiune transversală. Paratip nr. P 6981 a.

Section transversale. Paratype nr. P 6981 a.

Fig. 6. — Secțiune transversală. Paratip nr. P 6986.

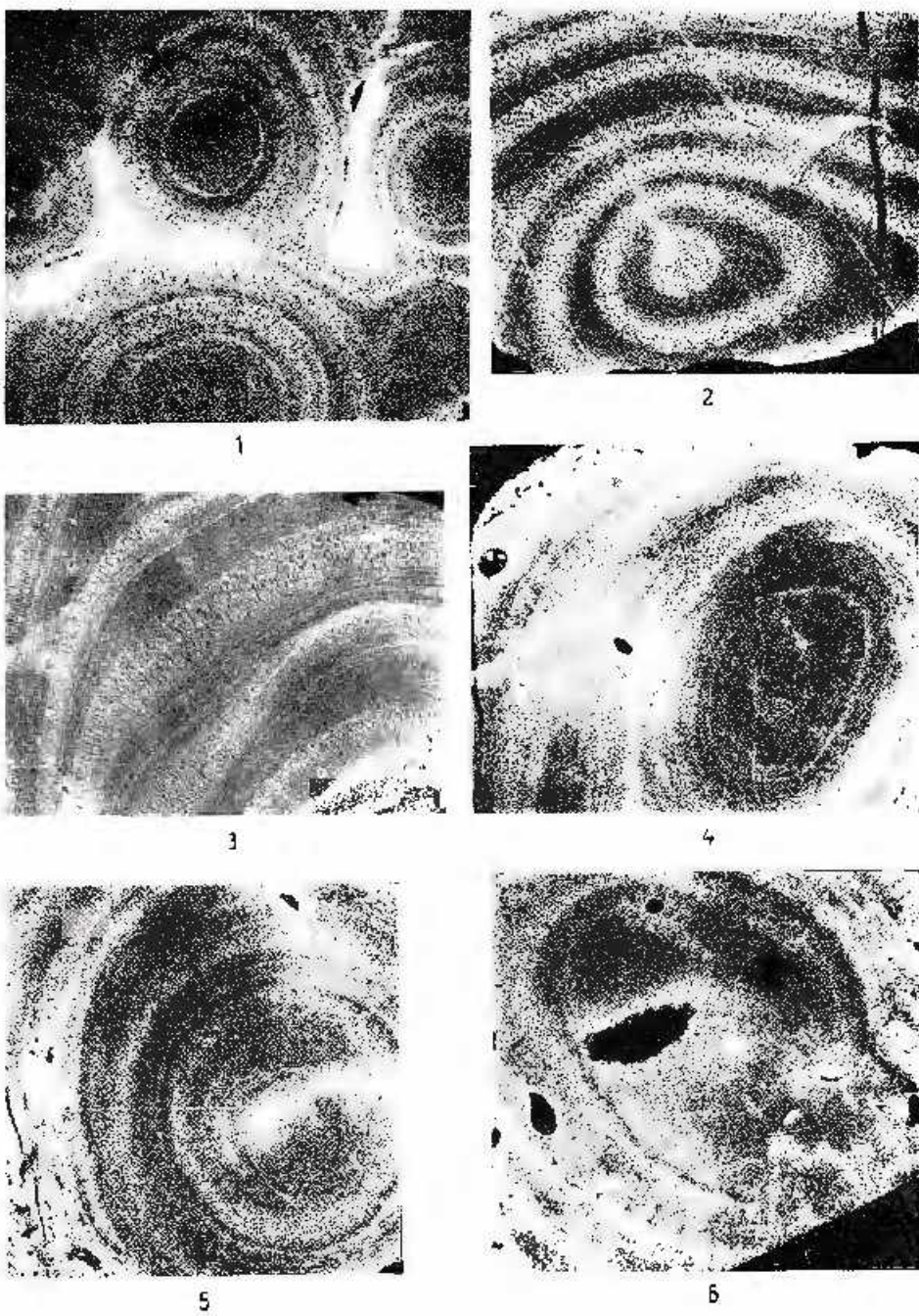
Section transversala. Paratype nr. P 6986.

Toutes les images sont grossies 3 fois.



Institutul Geologic al României

A. BALTREŞ. Nou „chaetetid”, *Adaequoparietes schnorfae* gen. nov.  
spec. nov. Pl. V.



**3. PALEONTOLOGIE**

**MICROPALEONTOLOGIE**

**MICROFACIESUL CALCARELOR CRETACICULUI INFERIOR  
ALOHTON DIN PARTEA MERIDIONALĂ A MUNTILOR  
HÄGHIMAS<sup>1</sup>**

DE  
ALBERT BALTRÈS<sup>2</sup>

**Abstract**

Microfacies of the Allochthonous Lower Cretaceous Limestones from the Southern Part of the Hähimaaş Mts. The results of a micrographical study related to the Urgonian reef limestones, reworked in the Wildflysch conglomerates at the springs of the Trotuş river, are presented. *Neotrocholina friburgensis* var. *bisulcata* nov. var., met with in an assemblage indicating the Barremian, is also described.

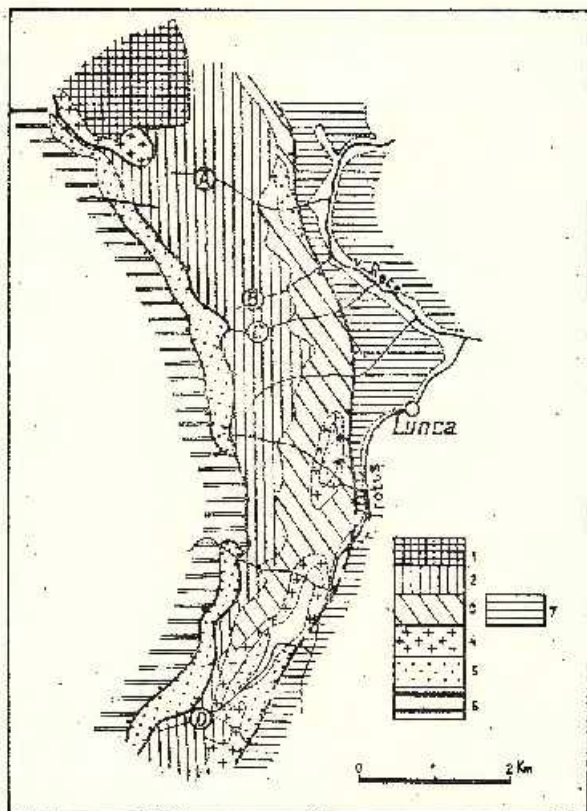
Între diversele tipuri de roci pe care le inglobează Wildflyschul în zona terminației sudice a munților Hähimaaş (izvoarele Trotușului) (vezi figura) atrag atenția calcaralele cenușii care includ numeroase resturi organice vizibile în suprafețele expuse eroziunii. Studiul micrografic al acestor calcare deosebit de interesante arată că sunt de tip recifal, ele aparținând părții inferioare a Cretacicului. Modul de conservare a resturilor organice indică o acumulare în zona de formare a depozitelor mecanice de flane. Massa rocii este dominată de organisme coloniale complet diagenizate, însoțite de alge și subordonat de foraminifere. Constituția rocii este foarte heterogenă remarcindu-se un amestec haotic de fragmente de cochlili intenț triturate, alge, alături de care apar unele specii de foraminifere intacte ale căror structuri delicate nu rezistă la transport (*Neotrocholina*).

<sup>1</sup> Comunicare în ședință din 25 aprilie 1969.

<sup>2</sup> Întreprinderea Geologică de Prospecții, Sos. Kiseleff nr. 2, București.



Sedimentul inițial fin, semiopac, cu extrem de rare granule mărunte de cuarț și neoformații de feldspați idiomorfi (0,05–0,15 mm), se găsește în diverse stadii de diageneză. Structura grumloasă constituie stadiul intermediar de transformare a rocii care final este complet recrîs-



Schită geologică a sectorului sudic al munților Häghimas cu amplasarea punctelor din care provine materialul figurat în planșe:

1. Cenomanian-conglomérats; 2. Barrémien-Wildflysch; 3. Tithonien-Néocomien-strate de Lunca; 4. Callovien-Oxfordien-siltites negre; 5. Trias-quartzite și dolomie; 6. cristalini; 7. Néocomien-strate de Sinaia. A. valea Iavardi; B. valea Siliște; C. valea Covaci; D. valea Râna Mică.

Esquisse géologique du secteur méridional des Monts Häghimas avec les endroits d'où l'on a prélevé le matériel figuré dans les planches:

1. Cénomanien-conglomérats; 2. Barrémien-Wildflysch; 3. Tithonien-Néocomien-conches de Lunca; 4. Callovien-Oxfordien-siltites noirs; 5. Trias-quartzites et dolomies; 6. Cristalini; 7. Néocomien-œufs de Sinaia. A. Vallée Iavardi; B. Vallée Siliște; C. Vallée Covaci; D. Vallée Râne Mică.

talizată. Recristalizarea afectează și resturile organice, modificându-le doar structura pcretelui, conservând însă contururile acestuia. Asemenea transformări afectează majoritatea organismelor, cu excepția neotrocholinelor a căror structură este perfect conservată.

Distribuția resturilor organice este foarte variată: de la zone constituite exclusiv din fragmente de cochilii și testuri de foraminifere mari, sau alcătuite dominant din alge, în aceeași secțiune se pot recunoaște plaje întinse fin granulare în care plutesc foraminifere de talie mică (rotaliide, textulariide, ammodiscide). O asemenea structură a rocii indică ape agitate care provoacă o remaniere și un transport important de material. Interpretarea în mod unilateral a unuia sau altuia din aceste două aspecte care nu se însoțesc totdeauna, ignorind posibilitatea unor relații de tipul amintit între sedimentele bioclastice și cele de tip vazos, poate duce la interpretări paleogeografice neconforme cu realitatea.

**Observații ecologice.** Între organismele ce participă la construirea rocilor calcaroase, numai algele pot servi drept indicatori ai profunzimii mediului de sedimentare, distribuția foraminiferelor fiind legată de temperatură și nu de adâncime. Dasycladaceele trăiesc pînă la maximum 70 m adâncime (P. E. Cloud în Fenninger și Hötzl, 1967), însă în mod obișnuit coboară doar pînă la 10 m. Codiaceele de asemenea sunt organisme de mică adâncime care se întâlnesc numai în mările tropicale și subtropicale. În mările actuale au fost însă întâlnite pînă la 365 m adâncime (K. Koniski în Fenninger și Hötzl). Conținutul procentual predominant în codiacee în defavoarea celorlalte grupe de alge (protococcacee, dasycladacee) care se remarcă în calcarele care fac obiectul notei de față se observă și în depozitele recifale actuale (E. G. Purdy, R. N. Ginsburg în Fenninger și Hötzl).

**Observații stratigrafice.** Asociația microfacială a calcarelor, indică fără îndoială că este vorba de prezența Cretacicului inferior. Organismele care intră în constituția lor nu sunt omogene ca semnificație stratigrafică, parte din ele fiind specifice extremității superioare a Cretacicului inferior, altele fiind cunoscute doar în Jurasicul superior. Majoritatea însă, au fost descrise din depozite aparținând atât Jurasicului superior cât și Cretacicului inferior. *Dictyoconus*, *Orbitolina*, *Neotrocholina*, *Archaeolithothamnium*, *Carpathoporella fontis*, pledează pentru Barremian-Aptian; *Petrascula bursiformis* este cunoscută doar pînă la partea superioară a Portlandianului. *Thaumatoporella*, *Pianella*, *Globochaete*, *Choffatella* au

trăit atât în Jurasicul superior cit și în Cretacicul inferior. Numai din Cretacicul inferior se cunosc în alte regiuni *Acicularia endoi*, *Munieria baconica*, *Rouevina*.

### **Partea sistematică**

#### **Foraminifera**

Numeroase foraminifere, majoritatea aparținând superfamiliei Lituolidea, se recunosc în secțiuni subțiri, dar determinarea lor implică un grad suficient de ridicat de nesiguranță, ele prezentând rar secțiuni tipice.

#### **Ammodiscidae**

*Glomospira* sp. (pl. I, fig. 1). Test de talie mică avind loja tubulară nedivizată, răsucită dezordonat în mai multe planuri.

#### **Involutinidae**

*Neotrocholina friburgensis* var. *bisulcata* nov. var. (pl. I, fig. 11, 12). Nouă varietate posedă caractere biometrice asemănătoare *N. friburgensis*, deosebindu-se însă în ce privește structura internă. Aceste deosebiri sunt:

Secțiunea lojei tubulare în formă de V (la *N. friburgensis* secțiunea este triunghiulară cu colțurile rotunjite). Întrîndul lojei în partea supero-internă se dătorește reliefului peretelui turkului precedent.

Pilierii de obicei în relief ocupă mai puțin decât 1/2 din spațiul ombilical; cei dinspre marginea ombilicală au o scurtă prelungire laterală. Pilierii sunt paraleli între ei și nu divergenți. Microstructura lor este fasciculată-divergentă.

Peretele lojei, calcaros-perforat are toate caracterele speciei *friburgensis*, fiind stratificat, subțire la extremitatea orală și îngroșat la nivelul primelor ture de spiră.

Dimensiuni (mm) : D = 0,96 ; H = 0,56 ; D/H = 1,71 (exemplarul din pl. I, fig. 11) ; D = 1,06 ; H = 0,60 ; D/H = 1,76 (exemplarul din pl. I, fig. 12). Loc de recoltare : valea Iavardi (A).

*Neotrocholina friburgensis* var. *bisulcata* apare în asociatie cu orbitoline, dasieladacee, *Carpathoporella fontis* &. Vîrstă noii varietăți este probabil barremiană.

### Textulariidae

*Bigenerina* sp. (pl. I, fig. 2—4). Textulariid caracterizat printr-un stadiu biseriat urmat de un stadiu uniseriat rectiliniu. Exemplarele din fig. 3, 4 au afinități cu *B. nodosaria* d'Orb.

*Textularia* sp. (pl. I, fig. 5—7). Se caracterizează prin disponerea biseriată a lojelor.

### Placopsilinidae

*Cosecinophragma* sp.? (pl. I, fig. 8, jos). O secțiune transversală circulară în care se recunosc camerele labirintice caracteristice acestui foraminifor scosil. Deschiderile alveolare sunt mărginite de un perete grosier agluminat, căptușit spre interior de un strat calcaros omogen, fin perforat.

### Verneuilinidae

*Valvulina* sp. (pl. I, fig. 9). Secțiunea longitudinală prezintă imaginea tipică a unui test trochospiral triseriat. Se observă bine deschiderea la baza ultimei loje.

*Marsonella* sp. (pl. I, fig. 10; pl. II, fig. 1). Test trochoid de obicei incomplet, 3 turnuri în spirală cu suturi oblice orientate în jos; 2—3? camere într-o tură. Stadiul tânăr necunoscut.

### Lituolidae

*Choffatella* sp. (pl. I, fig. 8 sus). Secțiuni ecuatoriale prin testul planspiral constituit din camere scunde, arcuite. Microstructură arenacee, cu perforații. Aglutinează granule foarte fine de quart vizibile în figură. Dimensiuni: diametrul mare — 4,48 mm; diametrul mic — 2,4 mm.

*Cribrostomoides* sp. (pl. II, fig. 5, 6, 7). Test planspiral ombilicat de ambele părți, complet involut. În secțiuni axiale se observă camerele triunghiulare. Suturi adânci, sinuoase, vizibile în secțiunile ecuatoriale. Exemplarele din fig. 5, 6 se apropie de *C. paralens* Omara din partea inferioară a Cenomanianului din Egipt. Cel din fig. 7 are dimensiuni ce depășesc valorile date pentru specia amintită. Aspectul secțiunii transverse este întrucâtva asemănător cu al g. *Lituola* și *Pfenderina*.

### Orbitolinidae

În tractiile sparitice apar frecvent exemplare de *Orbitolina* și *Dicycloconus*.

*Orbitolina* sp. Forme cu contur echilateral, cu baza rectilinie apar decit în secțiunile subaxiale (pl. II, fig. 11). Secțiuni oblice (pl. III, fig. 10) sau tangențiale (pl. III, fig. 7) traversează în diverse moduri zona marginală fin reticulată, zona inframarginală cu camere prismatice, camerele radiare cu secțiune triunghiulară tipică sau complexul central. Secțiunea din figura 6 evidențiază toate aceste zone ale structurii interne a orbitolinelor.

*Dicyococonus* sp. Pl. III, fig. 5, prezintă o secțiune axială ce traversează aparatul embrionar megalosferic al unui individ de talie mică. Secțiunile subaxiale și tangențiale se caracterizează prin divizarea rectangulară a spațiului intern (pl. III, fig. 5, 6) și prin prezența porilor aperturali înconjurați parțial de pilieri (pl. II, fig. 10).

#### Lagenidae

*Nodosaria* sp. (pl. II, fig. 2). Test multilocular rectiliniu, uniseriat. În secțiune axială se observă apertura terminală, camera inițială sferică și sifoanele de comunicare între camere.

*Dentalina* sp. (pl. II, fig. 3). Test de talie mare multilocular uniseriat, ușor arcuit, cu deschiderea la capătul unei proeminente curbată. Perete perforat?

*Lenticulina* sp. Test de talie mică, involut, gros, bombat în zona ombilicală astfel încât secțiunile axiale au un contur rombic.

#### Gümbelinidae

*Gümbelina* sp. (pl. II, fig. 4). Test asemănător cu *Textularia* însă biseriat, cu apertura la baza marginii interne a ultimei camere. Zid calcaros perforat?. Genul *Gümbelina* este un izomorf calcaros al g. *Textularia* (Galloway).

#### Rotaliidae

(Pl. II, fig. 8)

O secțiune ecuatorială oblică printr-un test de talie mică la care se observă lama spirală cu cîteva tare de înrulare. Secțiunea poate apartine și unui test planspiral.

#### Algae

(Pl. II, fig. 8)

Sînt reprezentate în principal prin codiacee și dasycladacee, primele fiind net dominante cantitativ. Algele sunt prețioși indicatori ecologici și stratigrafici.

### Protococcaceae

*Globochaete alpina* Lombard 1937 (pl. III, fig. 1). Corpusebuli circulari, izolați, care în nicioli încrucișați prezintă crucea neagră caracteristică. Însotesc de obicei organismele coloniale. Figura surprinde un aranjament interesant a 7 corpusebuli de *G. alpina*.

### Dasycladaceae

*Salpingoporella* sp. (pl. III, fig. 2; pl. IV, fig. 9). Numeroase secțiuni tangențiale prin taluri străbătute de pori cu diametrul de 0,04—0,05 mm.

*Munieria baconica* Deecke, 1883 (pl. III, fig. 3). Apare în asociație cu *Lithocodium aggregatum* și *Bacinella irregularis*. Prezintă în secțiuni transversale un contur stelat, având un canal axial circular înconjurat de ramuri sudate prin bază. Dimensiuni (mm): diametrul exterior-1,64; diametrul canalului axial-0,8; diametrul median al ramurilor-0,04—0,08. Exemplarul figurat este asemănător cu cele figurate de Carozzi (fig. 10, nr. 17). Carozzi dă ca valoare maximă pentru diametrul canalului axial 0,26 mm. La exemplarele cele mai mari pe care le figurează însă, diametrul canalului depășește 0,4 mm.

*Pianella pygmaea* (Gümbel, 1872), (pl. IV, fig. 2,4). În secțiuni transversale, talul are un contur circular, fiind străbătut de pori care se largesc spre exterior. Dispoziția ramurilor este perpendiculară pe canalul axial. Dimensiuni (mm): diametrul exterior-0,8; diametrul canalului axial-0,4; diametrul porilor la partea internă a talului-0,02; la partea externă-0,04—0,06; numărul porilor pe verticil-cca 24.

*Pianella* sp. (pl. III, fig. 9). Secțiuni verticale prin taluri cilindrice cu canal axial de la care pornesc ramuri înclinate și pori ce se îngroașă pe măsură ce se apropie de suprafață. Ramuri inclinate au de asemenea *P. selii* (Crescenti, 1949), *P. istriana* (Gusie, 1966), *P. adriatica* (Gusie, 1966).

*Petrascula bursiformis* (Eallon, 1853), (pl. III, fig. 4, 8). Au fost atribuite acestei specii două exemplare caracterizate prin divizarea dichotomică a ramurilor primare ce se dispun oblic pe suprafața talului. Ramurile secundare astfel formate se dispun la rindul lor oblic pe suprafață, din care motiv secțiunea surprinde doar segmente din ele. La baza ramurilor primare apar numeroase cavitate cu secțiune rotundă sau ovală. Dimensiuni (mm): diametrul exterior-1,76 (pl. III, fig. 4) și 1,58—2,08 (pl. III, fig. 8); diametrul canalului axial-0,76 respectiv 0,68—0,90.

Numărul ramurilor principale pe veticil nu poate fi precizat, însă se apropie de cifra dată de Carozzi (28). *P. bursiformis* este cunoscută în Jurasicul superior din bazinul Genevei, de la Plassen și Trossenstein și din Grecia. Exemplarele de care dispunem aparțin neîndoilexic Cretacicului inferior, ele apărând asociate cu *Orbitolina*, *Dictyoconus*, *Neotrocholina friburgensis* var. *bisulcata*.

*Carpathoporella fontis* Patrulius 1966

(pl. IV, fig. 1, 3)

*Coptocampylodon fontis* Patrulius 1966

*Carpathoporella occidentalis* Dragastan 1967

Secțiuni transversale circulare prin corpusculi cu un canal central și canale periferice deschise spre exterior. Dimensiuni (mm): diametrul exterior-0,30—0,35; diametrul canalului central-0,14; diametrul canalelor periferice-0,06.

*Acicularia endoi* Praturlon 1964 (pl. IV, fig. 1). Corpusculi cu secțiune circulară, asemănători cu *C. fontis*, însă lipsiți de canal central. Dimensiuni (mm): diametrul exterior-0,4; diametrul cavitațiilor sporangiale-0,07; numărul cavitațiilor sporangiale-probabil 9—10. *A. endoi* se întâlnește în associație cu *C. fontis*.

*Acicularia intermedia* Dragastan 1967 (pl. IV, fig. 1). Se deosebește de *A. endoi* prin dimensiunile mai reduse. Dimensiuni (mm): diametrul exterior-0,21; diametrul cavitațiilor sporangiale-0,03; numărul cavitațiilor sporangice-8.

*Pseudoepimastopora* sp. (pl. V, fig. 2). Fragmente de tal alungite, ușor curbate, străbătute de pori largi ușor îngroșați în partea centrală. Dimensiuni (mm): lungimea fragmentului de tal-2,3; grosimea fragmentului-0,08—0,09; diametrul porilor-0,07—0,08.

*Neomeris* sp. (pl. IV, fig. 5). Un fragment de tal arcuit, probabil nefertil, cu lungimea de 1,28 mm, lățimea 0,16 mm, diametrul porilor-0,04—0,06 mm; distanța între deschideri-0,08—0,12 mm.

*Dactylopora* sp.? (pl. IV, fig. 6). O secțiune transversală printr-un tal cilindric cu un canal axial foarte larg. Ramurile primare foarte groase, se desfac dichotomic în ramuri de ordin secundar cu terminații măciucate. Acest aspect al ramurilor veticilate este caracteristic genului *Dactylopora*. Nu se cunosc însă cavitațile sporangiale care apar la un nivel inferior ramurilor primare. Genul *Dactylopora* are o specie cunoscută din Eocene-*D. cylindracea* Lam. Dimensiuni (mm): diametrul talului-3,3; diametrul canalului axial-2,1; diametrul ramurilor primare-0,08—0,12.

*Dasycladaceae* sp. indet. (pl. V, fig. 3). O secțiune longitudinală în care se observă ramuri verticilate ascendențe care formează un unghi ascuțit cu canalul axial, după care devin orizontale. Porii de asemenea inclinați, se deschid în cavitate sporangiale largi. În aceste cavitate se recunosc corpuse circulare, probabil sporangi. Dimensiuni (mm): diametrul porilor în porțiunea ascendentă-0,04; diametrul porilor în porțiunea orizontală-0,16; diametrul sporangilor ?-0,12. Este probabil că exemplarul să aparțină tribului Neomereae, întrunind caractere asemănătoare genurilor *Karreria*, *Lemoineella*, *Meminella*.

### Codiaceae

*Cayeuxia moldavica* Fröllö 1938 (pl. V, fig. 1). Tal de formă ovală cu diametrul mare de 2,4 mm. Tuburile dichotomice caracteristice devin paralele după bifurcare. Diametrul tuburilor este de 0,04—0,05 mm. Microstructura talului necunoscută.

*Lithocodium aggregatum* Elliott 1956 (pl. III, fig. 3; pl. IV, fig. 8). Tal incrustant la care se recunoaște o zonă internă constituită din calcit limpede, asemănătoare structurii de *Bacinella*, care comunică cu suprafața prin filamente dispuse perpendicular pe aceasta. Filamentele suferă uneori îngroșări sau se bifurcă. Dimensiuni (mm): grosimea zonei interne calcitice-0,1—0,16; diametrul filamentelor-0,02—0,03. După Bourouille și Deloffre (1963), *Lithocodium* este foarte asemănător stratului epidermic al genului *Bacinella*. Pe de altă parte cele două genuri apar asociate. Autorii emit ipoteza că diferențele de structură internă corespund unei variabilități normale în jurul unui tip comun, în legătură cu mediul de viață. În cazurile observate de noi, crustele filamentoase care înconjoară *Bacinella* par să aparțină genului *Lithocodium* și nu unui strat epidermic al *Bacinellei*.

*Boueina hochstetteri* Toulza, 1883. Tal de formă neregulată, constituit din calcit limpede traversat de tuburi colmatate cu material pelitic. Dimensiuni (mm): lungimea fragmentului de tal-5,5, diametrul-2; diametrul tuburilor-0,06—0,09.

### Corallinaceae

*Archaeolithothamnium* sp. Atribuim acestui gen cîteva fragmente de hipotal cu celule foarte fine cu diametrul de 0,02 mm și cu lungimea maximă de 0,3 mm, dispuse în strate concentrice. Fragmentele au o colorație gălbuiie.

### Incertae sedis

*Bacinella irregularis* Radoičić 1959 (pl. III, fig. 3). Se recunoaște cu ușurință prin aspectul specific de rețea curbată, neregulată, incrustantă, cu ochiurile umplute cu calcit limpede, larg cristalizat.

*Thaumatoxoporella parvovesiculifera* (Reineri) (pl. IV, fig. 7). Sinonimia completă a acestei specii este dată de Fenniger și Hötzl (1967, p. 18, 19). Algă incrustantă care prezintă în secțiune transversală un reticul de celule poligonale, deseori pentagonale, cu diametrul de 0,02–0,04 mm. Mărimea talului este de 1,2 mm. Apare înconjurată de *Bacinella irregularis*.

### Problematica

*Organismul A* (pl. V, fig. 5). Secțiuni radiare, ovale, cu 1–2 axe de creștere, avind nuclee cu diametrul de 0,45 mm de la care diverg canale radiare fine (0,01 mm diametru) orientate mai întâi în sus, curbinându-se apoi în aşa fel încât devin perpendiculare pe suprafață. Dimensiuni (mm): lungime-4,5, lățime-1,45.

*Organismul B*-algă? (pl. V, fig. 4). Dispunem de două secțiuni prin baghete arcuite constituite din calcit limpede. Pe partea concavă, la una din extremități se înșiră 10 corpuscule mărunte aproximativ circulare. Dimensiuni (mm): distanța între extremitățile baghetei arcuite-2,32; grosimea-0,24; diametrul corpusculilor circulari-0,07–0,08.

*Organismul C*-algă? (pl. V, fig. 6). Corpuscule ovale sau reniforme de 0,05–0,13 mm diametru, constituite din calcit fibroradiar, dispuse în șiruri paralele. Între șirurile astfel constituite se dispun coridoane de celule foarte mărunte legate cap la cap, mulind corpusculii stratului imediat inferior. Diametrul acestor celule este de 0,01–0,015 mm. Organismul descris incrustează de obicei colonii de corali. A mai fost citat din Jurasicul superior din Franța și figurat sub numele „Organisme en arceaux” și „Organisme indéterminé” (Bernier, 1968, resp. Feury, 1966).

*Organismul D*-foraminifer sesil? (pl. V, fig. 7). O aglomerare haotică de corpuscule sferice sau ovale cu perete calcaros pigmentat în galben, străbătut de numeroși pori scurți. Secțiunile tangențiale arată că porii au un contur circular. Diametrul corpusculilor este de 0,09–0,12 mm.

Organismul descris apare în asociatie cu rare corpuscule de tipul celor descrise la Organismul C. Un asemenea organism figurat ca „Organisme indéterminé” apare în depozitele probabil jurasice din bazinul Parisului (Aurone et al., 1956).

## BIBLIOGRAFIE

- Auronze G., Bellon J., Bizon J. J., Journel C. (1956) Sur la présence du genre *Kilianina* dans le bassin de Paris. *B.S. géol. Fr.* (6), 6, Paris.
- Bernier P. (1968) Le „Portlandien” de la bordure méridionale des Cévennes (Montagne de la Séanne-Montagne des Cagnasses). *Geobios*, 1, Lyon.
- Bouroulec J., Delooffre R. (1968) Les algues du Néocomien d'Aquitaine. *Bull. Centre Rech. Pau-SNPA*, 2/2, Paris.
- Carozzi A. (1955) Dasycladacees du Jurassique supérieur du Bassin de Genève. *Ecl. Geol. Helveticæ* 48/1, Berna.
- Dragastan O. (1967) Alge calcareae în Jurasicul superior și Cretacicul inferior în munții Apuseni. *St. cerc. geol. geogr., ser. geol.*, 12/2, București.
- (1967) Algues calcaires du Mésozoïque de Roumanie et leur importance stratigraphique. *Ass. géol. Carpato-Balkan.*, VIII-eme Congrès, Belgrad.
- Elliott G. F. (1957) New calcareous algae from the Arabian Peninsula. *Micropaleontology*, 3/8, New York.
- Fenninger A., Hötzl H. (1967) Die Mikrofauna und-flora des Plassen- und Tressenstein-Kalkes der Tipuslokalitäten (Nördliche Kalkalpen). *N. Jb. Geol. Paläont. Abh.* 128/1, Stuttgart.
- Flügel E. (1964) Ein neues Vorkommen von Plassenkalk (Obser-Jura) im Steirischen Salzkammergut, Österreich. *N. Jb. Geol. Paläont. Abh.*, 120/2, Stuttgart.
- Guillaume S. (1963) Les Trocholines du Crétacé inférieur du Jura. *Revue de Micropaléontologie*, 5/4, Paris.
- Guillaume H., Reichel M. (1957) Neotricholina friburgensis n.sp. Foraminifère de l'Urgonien alpin. *Ecl. Geol. Helveticæ* 50/2, Berna.
- Herak M. (1960) Calcareous Algae of the Young Palaeozoic and Mesozoic of Yugoslavia, and their Application in the Stratigraphy. *Intern. Geol. Congr. XXI Sess.*, Nordenpart VI p., Copenhagen.
- Omara S. (1956) New Foraminifera from the Cenomanian of Sinai, Egypt. *Jour. of Palaeont.*, 30/4, Menasha.
- Patrulius D. (1965) Inventar sumar al algelor calcareae neojurasice și cecetaciee din Carpații românești și Platforma precarpatică. *D.S. Com. Geol.* LI/2, București.
- (1966) Coptocampyldon fontis n.sp., microfossil problematic af calcarilor urgoiene din munții Perșani. *D.S. Com. Geol.* LII/1, București.
- Pia J. (1927) Thallophyta in M. Hirmer-Handbuch der Paläobotanik. München și Berlin.
- (1961) Les Siphonées verticillées du Carbonifère au Crétacé. Ed. Technip, Paris.
- Praturron A. (1964) Calcareous algae from Jurassic-Cretaceous of Central Apennins. *Geologia Romana*, 3, Roma.
- Reichel M. (1955) Sur une Trocholine du Valanginien d'Arzier. *Ecl. Geol. Helv.*, 48/2, Berna.
- Yabe H., Hanazawa S. (1926) Choffatella Schlumbergeri, and Pseudocyathomima a new genus of arenaceous foraminifera. *Sci. Rep. Tohoku Univ.*, (2), 9/1, Tokyo.

**MICROFACIÈS DES CALCAIRES DU CRÉTACÉ INFÉRIEUR  
ALLOCHTONE DE LA PARTIE MÉRIDIONALE DES MONTS  
HÂGHIMAS**

(Résumé)

L'étude micrographique des calcaires urgoniens remaniés dans le Wildflysch de la région des sources du Trotus relève que ceux-ci sont de type récifal, trahissant une accumulation dans la zone de formation des dépôts fragmentaires de flanc récifal. Le caractère agité du milieu de sédimentation est reflété dans la distribution des composants de la roche, notamment la présence dans la même coupe mince de zones formées exclusivement de fragments de coquilles, foraminifères de grande taille, algues et plages étendues, finement granulaires où flottent des foraminifères de petite taille.

Parmi les foraminifères, d'ailleurs peu importantes pour faire des précisions d'âge, on a reconnu *Neotrocholina friburgensis* var. *bisulcata* nov. var. dont les caractères suivants la distingue de l'espèce *friburgensis*: la section de la loge tubulaire en forme de V; du côté supérieur-interne la partie rentrante de la loge est due au relief de la paroi du tour précédent; les piliers ordinairement en relief occupent moins de 1/2 de l'espace ombilical, ceux du voisinage du bord ombilical présentant un court prolongement latéral; les piliers sont parallèles (non pas divergents) leur microstructure est en fascicules divergeantes; la paroi de la loge, en calcaire perforé, présente tous les caractères propres à l'espèce *friburgensis*, à savoir: stratifié, mince vers l'extrémité orale et épaisse au niveau des premiers tour de spire.

Dimensions (en millimètres): D = 0,96; H = 0,56; D/H = 1,71 (exemplaire de la fig. 11, pl. I); D = 1,06; H = 0,60; D/H = 1,76 (exemplaire de la fig. 12, pl. I). *Neotrocholina friburgensis* var. *bisulcata* apparaît en association avec des orbitolines des algues dasycladacées et *Carpathoporella fontis*. La nouvelle espèce est probablement d'âge barémien.

Les algues abondent, les uns étant connus depuis le Jurassique supérieur (*Petrascula bursiformis*), d'autres depuis le Jurassique supérieur-Crétacé inférieur (*Thaumatoxella incrassata*, *Pyanelia pygmaea*, *Globochaete alpina*), ou depuis le Crétacé inférieur (*Aecularia endoi*, *A. intermedia*, *Carpathoporella fontis*, *Bouinei*).

## PLANŞA I



Institutul Geologic al României

## PLANSA I

Fig. 1. — *Glomospira* sp.  $\times 100$  (C).

Fig. 2-4. — *Pigenerina* sp.  $\times 100$  (2),  $\times 37,5$  (3,4) (A).

Fig. 5-7. — *Textularia* sp.  $\times 39,7$  (5),  $\times 42,7$  (6),  $\times 93,7$  (7) (A).

Fig. 8. — *Coccinophragma* sp. (în partea de jos a figurii) (en bas) et *Choffatella* sp. (sus) (en haut)  $\times 7,8$  (1).

Fig. 9. — *Valeolina* sp.  $\times 102$  (A).

Fig. 10. — *Marsontella* sp.  $\times 102$  (A).

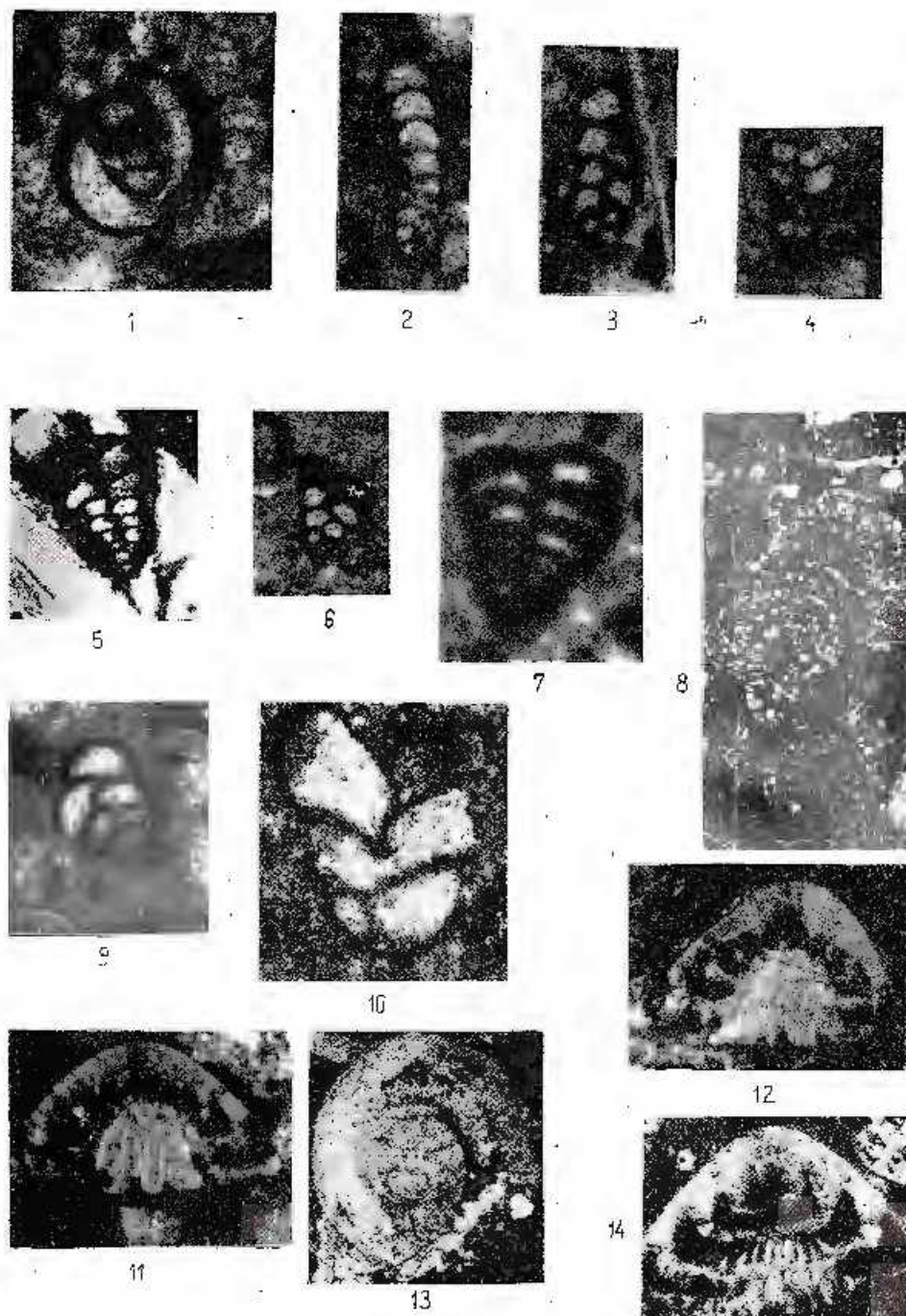
Fig. 11-14. — *Neotrochelina fiburgensis* var. *bisulcata* nov. var., 11, 12. — secțiuni axiale  
(sections axiales); 13. — secțiune subaxială (section subaxiale).

— 14. — secțiune transversală (section transversale)  $\times 37,5$  N ÷ (A).

Literele din paranteză desemnează locul de recoltare indicat în figura din text.

Par les lettres mises en parenthèse sont indiqués, dans la figure du texte, les endroits d'où l'on a prélevé les échantillons.

A. BALTRES. Microfaciesul calcarelor Cretacicului—Hăghimăș. Pl. I.



## PLANŞA II

Fig. 1. — *Marsonella* sp.  $\times 106$  (A).

Fig. 2. — *Nodosaria* sp.  $\times 42$  (B).

Fig. 3. — *Dentalina* sp.  $\times 24$  (C).

Fig. 4. — *Gümbelina* sp.  $\times 37$  (C).

Fig. 5—7. — *Cribrostemoides* sp.  $\times 23$  (A).

Fig. 8. — Rotaliid?  $\times 96$  (A).

Fig. 9, 10, 12. — *Dictyocostatus* sp.  $\times 22,7$  (AAC).

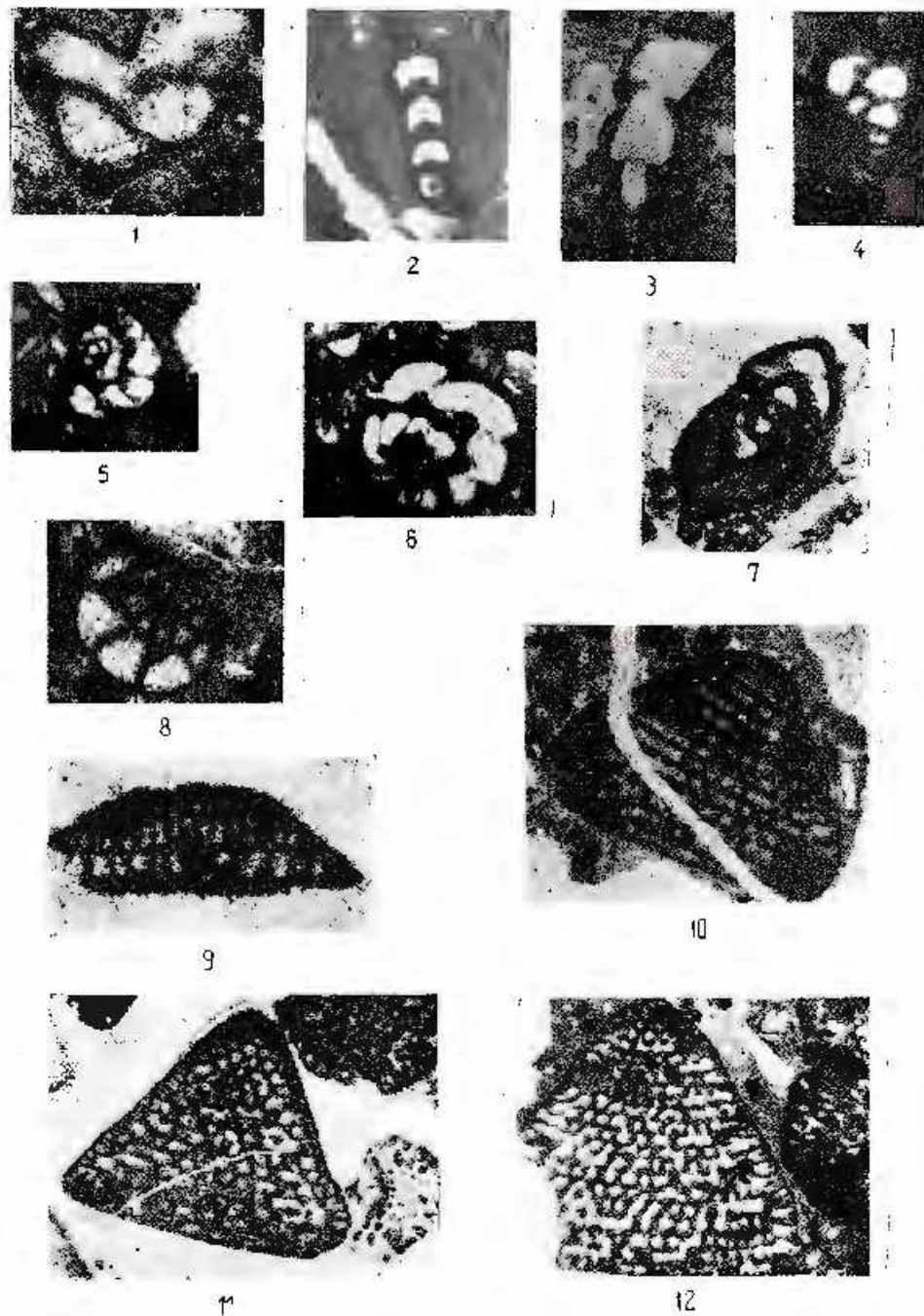
Fig. 11. — *Orbitolina* sp.  $\times 21,7$  (A).

Literele din paranteză desemnază locul de recoltare indicat în figura din text.

Les lettres mises en parathèse indiquent, dans la figure du texte, les endroits d'où l'on a prélevé les échantillons.



A. BALTRĂS. Microfaciesul calcarelor Cretacicului—Hăghimăș. PL. II.



Institutul Geologic. Döri de școală, vol. LVI/3.

### PLANŞA III

Fig. 1. — *Globochaele alpina* Lombard  $\times 37,5$  (B).

Fig. 2. — *Sulpingoporella* sp.  $\times 44,4$  (C).

Fig. 3. — *Munieria bakonieu* Decock, *Lithocodium aggregatum* Elliott, *Eacinella irregularis* Radotičić  $\times 21,3$  (A).

Fig. 4, 8. — *Petrascula bursiformis* (Eaton)  $\times 21,9$  (A).

Fig. 5, 6. — *Dictyocoonas* sp.  $\times 37$  (5),  $\times 22,7$  (6) (A).

Fig. 7, 10. — *Orbitolina* sp.  $\times 40$  (7),  $\times 21,7$  (10) (BA).

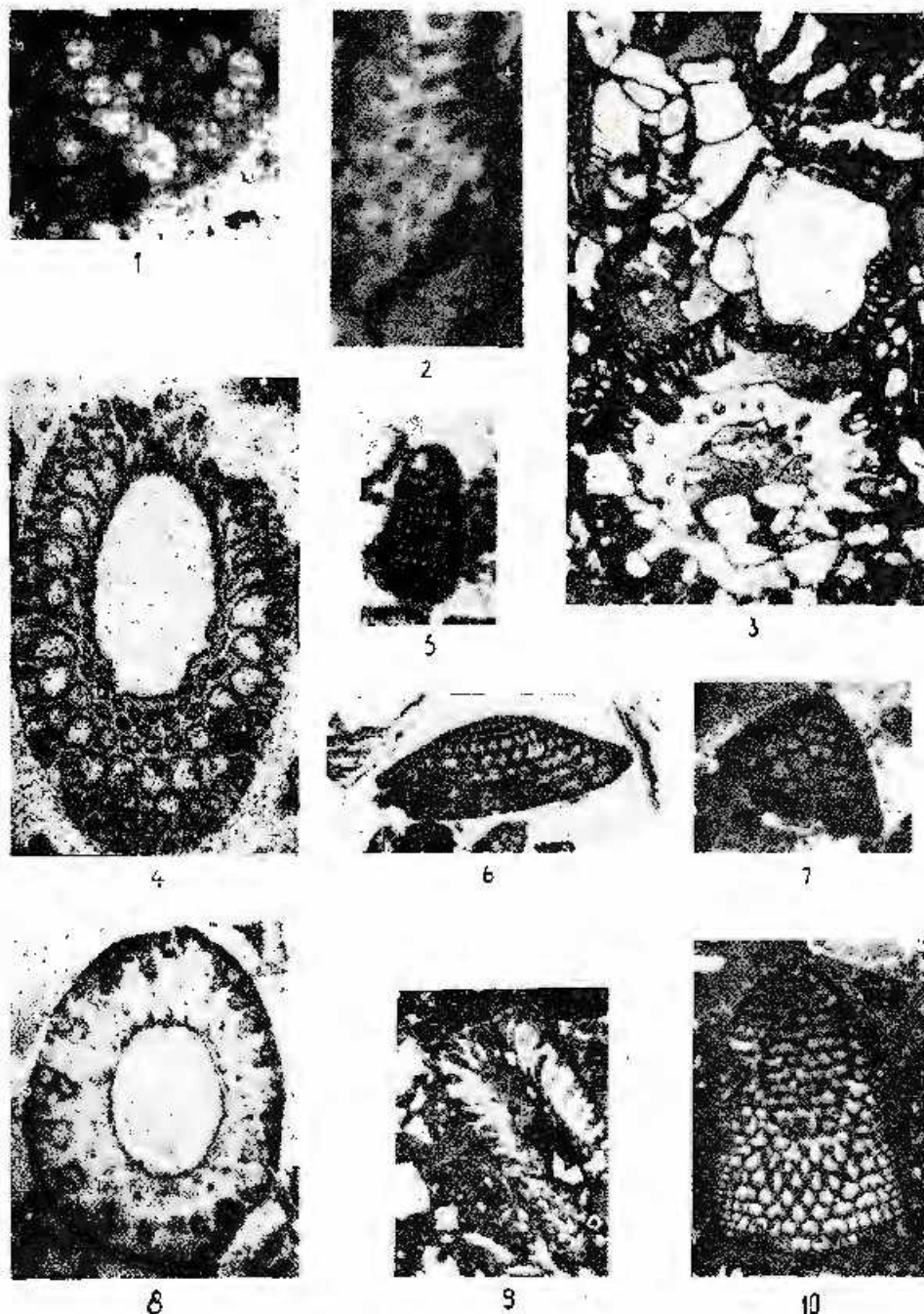
Fig. 9. — *Pianella* sp.  $\times 37,4$  (A).

Literele din paranteză desemnează locul de recoltare indicat în figura din text.

Les lettres mises en parenthèse indiquent, dans la figure du texte, les endroits d'où l'on a prélevé les échantillons.



A. BALTIRES. Microfaciesul calcarelor Cretacicului - Hăgimaș. Pl. III.



## PLANŞA IV

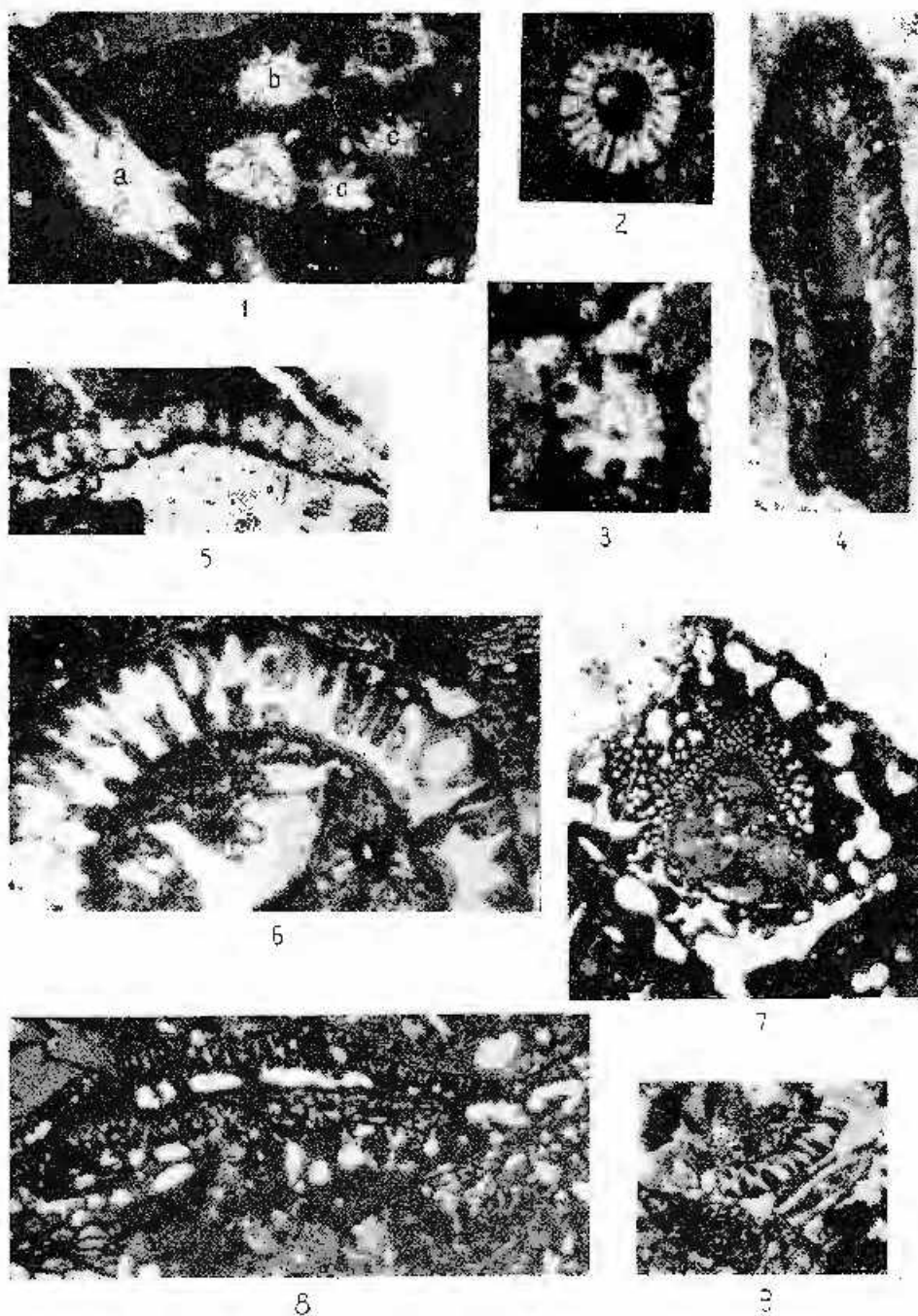
- Fig. 1. — (a) *Carpalloporella foliis* (Patruțiu), (b) *Acicularia endsi* Praturiu, (c) *Acicularia intermedia* Dragăstan  $\times 37$  (A).
- Fig. 2—4. — *Pianella pygmaea* (Günther)  $\times 21,9$  (A).
- Fig. 3. — *Carpalloporella fontis* (Patruțiu)  $\times 37,4$  (A).
- Fig. 5. — *Neomeris* sp.  $\times 39$  (D).
- Fig. 6. — *Dactylopora* sp.?  $\times 23,1$  (C).
- Fig. 7. — *Thaumatospora parvesculifera* (Reinert)  $\times 21,3$  (A).
- Fig. 8. — *Lithocodium aggregatum* Elliot  $\times 21$  (A).
- Fig. 9. — *Salpingoporella* sp.  $\times 21,7$  (A).

Literele din paranteză desemnează locul de recoltare indicat în figura din text.

Les lettres mises en parenthèse indiquent, dans la figure du texte, les endroits d'où l'on a prélevé les échantillons.



A. BALTREŞ. Microfaciesul calcarelor Cretacicului – Hăghimas. Pl. IV.



Institutul Geologic. Dări de scamă, vol. LVI/3.

## PLANSĂ V

Fig. 1. — *Cageuxia moldavica* Fröll.  $\times 37,4$  (A).

Fig. 2. — *Pseudoeptimastopora* sp.  $\times 21,5$  (A).

Fig. 3. — *Dasygastaceae* sp. indet.  $\times 37,4$  (A).

Fig. 4. — Organismul B — algă?  $\times 37,4$  (A).

Organisme B — algue?  $\times 37,4$  (A).

Fig. 5. — Organismul A  $\times 22$  (A).

Organisme A  $\times 22$  (A).

Fig. 6. — Organismul C — algă?  $\times 37,4$  (A).

Organisme C — algue?  $\times 37,4$  (A).

Fig. 7. — Organismul D — foraminifile sesil?  $\times 37,4$  (A).

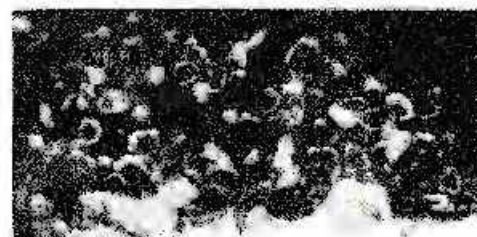
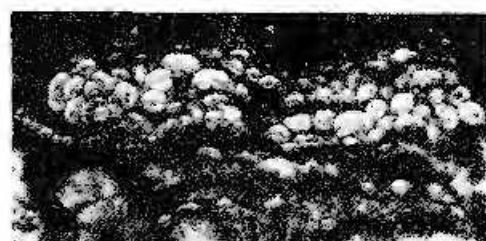
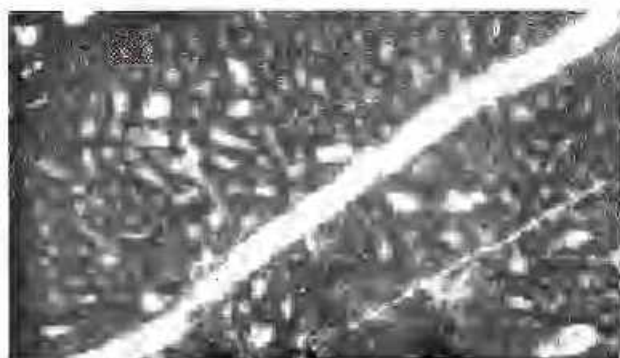
Organisme D — foraminifère sésil?  $\times 37,4$  (A).

Literele din paranteză desemnă locul de recoltare indicat în figura din text.

Les lettres mises en parenthèse indiquent, dans la figure du texte, les endroits d'où l'on a prélevé les échantillons.



A. BALTRĂS. Microfaciesul calcarelor Cretacicului—Hăgimaș. Pl. V.



### 3. PALEONTOLOGIE

#### MICROPALEONTOLOGIE

## ASOCIAȚII DE OSTRACODE SARMATIENE ȘI PLIOCENE DIN EXTREMITATEA VESTICĂ A BAZINULUI CRIȘULUI ALB<sup>1</sup>

DE

RADU OLTEANU, CONSTANTIN ONCESCU<sup>2</sup>

#### **Abstract**

Assemblages of Sarmatian and Pliocene Ostracods in the Western Outermost Part of the Crișul Alb Basin. The rich assemblage of ostracods is for the first time pointed out, and concomitantly the age of the Sarmato-Pliocene deposits within this region is minutely determined. Thus, the Bessarabian, the Meotian and the Pontian are emphasized.

În urma cercetărilor stratigrafice și paleontologice efectuate de către Istoceanu (1970) în depozitele pliocene din extremitatea vestică a bazinului Crișului Alb, au fost separate mai multe orizonturi, care pe baza asociațiilor de macrofaună au permis atribuirea lor Meotianului și Pontianului.

Pentru o mai bună cunoaștere a succesiunii stratigrafice, considerăm că este interesantă prezentarea conținuturilor micropaleontologice ale orizonturilor separate de Istoceanu. Este ceea ce ne propunem în nota de față.

Din depozitele sarmatiene și pliocene ale zonei studiate s-au colectat un număr de 36 probe, după cum urmează :

a) din depozitele bessarabiene de la Comănești, peste care discordant se aşterne Meotianul inferior—6 probe, luate la interval de un metru din baza „orizontului inferior nisipos” (Meotian inferior);

b) din depozitele „orizontului inferior nisipos” (Meotian inferior) de la Comănești—10 probe, dintre care 4 probe din cincimea inferioară, iar 6 probe din cea superioară ;

<sup>1</sup> Comunicare în ședință din 4 aprilie 1969.

<sup>2</sup> Întreprinderea Geologică de Prospecții, Cal. Grivitei nr. 64, București.



c) din orizontul superior marnos (Meotian superior) — 8 probe dintre care 1 din baza orizontului, pe o grosime de 20 m la Comănești, iar 4 din partea mediană, pe o grosime de 15 m, la Hășmaș și Cârand;

d) din depozitele ponțiene (stratele cu *Congeria rhomboidea*) de la Mărăuș, Rogoz și Ucuriș — 12 probe.

### Bessarabianul

Depozitele bessarabiene din zona Comănești, reprezentată prin marne, nisipuri și tufoane, sunt caracterizate micropaleontologic, prin asociația de foraminifere determinată de Mihaila Gheorghian: *Pullenia bulloides* d'Orb., *Bolivina cf. globulosa* Onsh., *B. cf. simplex* Phleger et Park., *Quinqueloculina consorbina* d'Orb., *Q. sp.*, *Elphidium aculeatum* (d'Orb.), *E. macellum* (Ficht. et Möll.), *E. minutum* (Reuss), *E. cf. Mayeri* (Reuss), *E. lessoni* (d'Orb.), *E. imperatrix* (Bradby), *Rotalia beccari* (Linné), *Sphaeridina moldavica* Mac. Cehan Pagh., *Porosonion subgranulosum* (Egger), *Nonion germanicum* (Hrenberg).

ACESTE DEPOZITE CONȚIN ȘI O EXTREM DE BOGATĂ ASOCIAȚIE DE OSTRACODE: *Mutilus (Aurila) angularis* (Schneider), *M. (Aurila) hungarica* (Mehes), *M. (Aurila) meritus* (Zalany), *Cyprideis elegantis* Stanceva, *Loxoconcha aff. viridis* (Müller), *L. sp.*, *Leptocythere spinulosa* Vorochilova, *L. mironovi estigiala* Stanceva, *L. mironovi estranea* Stanceva, *L. amabilis* Stanceva, *L. turpe* Stanceva, *L. pseudonaviculata* Stanceva, *L. litiginosa* Susin, *Xestoleberis fuscata* Schneider, *X. elongata* Schneider, *X. sp.*

ASOCIAȚIA ESTE CARACTERIZATĂ DE PREDOMINANȚA GENULUI *Mutilus*, CU SPECIA *angularis*, ÎN EXPLOZIE. APARIȚIA ÎN EXPLOZIE A ACESTEI FORME POATE CONSTITUI UN CRITERIU DE IDENTIFICARE A DEPOZITELOR BESSARABIENE DIN ACEASTĂ REGIUNE.

ANALIZA FORAMINIFERELOR BESSARABIENE A FOST EFECTUATĂ PENTRU CA SĂ SE POATĂ ELIMINA DIN ASOCIAȚIILE PLIOCENE EVENTUALELE ROMANI, ÎNTRUCÂNT ÎN BAZA MEOTIANULUI INFERIOR APAR MULTE FORME DE MOLUȘTE SARMAȚIENE REMANIATE.

### Meotianul inferior

DEPOZITELE MEOTIANULUI INFERIOR, REPREZENTATE ÎN BAZĂ PRIN GRESII IAR SPRE PARTEA SUPERIOARĂ PRIN NISIPURI, CONȚIN ASOCIAȚIA MICROFAUNISTICĂ: *Cyprideis pannonica* Mehés, *C. pannonica tuberculata* Mehés, *C.*

cf. *punctilata* Brady, *Prionocypris* aff. *marginata* Schneider, *Eucypris sieberi* (Mehes), *Iliocypris gibba* (Ramborch), *Xestoleberis maripora* Stančeva, *Leptocythere* sp. 1, *L.* sp. 2, *Rotalia beccarii* (Linné).

Această asociație este dominată de speciile: *Cyprideis pannonica*, *C. pannonica tuberculata* și *Rotalia beccarii*, care sunt prezente și în baza Meotianului inferior din bazinul dacic; în baza Meotianului inferior din regiune sunt remaniate numeroase exemplare de *Elphidium*.

### Meotianul superior

Orizontul superior marnos, Meotian superior, este caracterizat micropaleontologic printr-o bogată asociație de ostracode, ce cuprinde speciile: *Eucypris sieberi* (Mehes), *Erpetocypris abissa* (Reuss), *E. recta* (Reuss), *Bakunella centropunctata* Suzin, *Amplocypris* aff. *reticulata* (Zalány), *A. marginata* Zalány, *A. munita* Zalány, *Hungarocypris hieroglyphica* (Mehes), *Candona* (*Camptocypris*) *prochazkai* Pokorný, *C. (Camptocypris) lobata* (Zalány), *C. (Camptocypris) lotzyi* (Zalány), *C. (Caspioocypris) alta* (Zalány), *C. (Caspioocypris) danuviensis* Stančeva, *C. (Lineocypris) lunata* (Mehes), *C. unguiculus* (Pokorný), *Iliocypris gibba* Ramborch, *Cyprinotus* aff. *salinus* Brady, *Cyprideis heterostigma obesa* (Reuss), *Hemicyteria pokornyi* Sokac, *H. sp.*, *Loxoconcha granifera* (Reuss), *L. subrugosa* (Zalány), *L. sp.*, *Zenocypris membranae* (Liventz), *Leptocythere* sp. 1, *L.* sp. 2, *Xestoleberis maripora* Stančeva, *X. sp.*

Această asociație este dominată de formele: *Cyprideis heterostigma obessa* și *Erpetocypris abissa*, cunoscute în Meotianul bazinului dacic și la partea superioară a Pannonianului s. str. din Iugoslavia, Cehoslovacia și Ungaria.

### Ponțianul

Depozitele ponțiene, reprezentate prin marne și marne nisipoase, sunt caracterizate prin asociația: *Erpetocypris recta* (Reuss), *Bakunella centropunctata* (Suzin), *B. sp.*, *Amplocypris* aff. *reticulata* (Suzin), *Hungarocypris pannonica* (Zalány), *Candona* (*Camptocypris*) *prochazkai* Pokorný, *C. (Camptocypris) acuminata* (Zalány), *C. (Camptocypris) balcanica* (Zalány), *C. (Camptocypris) lobata* (Zalány), *C. (Camptocypris) lotzyi* (Zalány), *C. (Caspioocypris) alta* (Zalány), *C. (Caspioocypris) labiata* (Zalány), *C. (Caspioocypris) danuviensis* Stančeva, *C. (Lineocypris) lunata* (Mehes), *C. (Lineocypris) trapezoidea* (Zalány),

*Cyprideis macrostigma* Kollmann, *Hemicytheria pokornyi* Sokac, *Zenoocypris membranae* (Liventatal), *Xestoleberis maripora* Staneeva.

Asociația este dominată de explozia formei *Cyprideis macrostigma* și frecvența mare a celorlalte specii, caracterizând astăzi Pontianul din bazinul dacie cît și pe cel din bazinul pannonic.

Analizind asociațiile micropaleontologice ale fiecărui orizont se observă că acestea se coreleză îndeaproape cu rezultatele obținute pe baza asociațiilor de macrofaună.

Cercetările pe care ni le propunem în viitor vizează stabilirea asociațiilor micropaleontologice caracteristice fiecărui etaj, pentru a se putea face orizontarea depozitelor pliocene din foraje, sau din zonele în care nu apar asociații bogate de faună.

## BIBLIOGRAFIE

- Istocescu D. (1970) Stratigrafia depozitelor Pliocenului din extremitatea vestică a bazinului Crișului Alb. *D.S. Inst. Geol.* LV/4, București.
- Pokorný V. (1952) The Ostracods of the So-Called Basal Horizon of the Subglobosa Beds at Hodonín. (Pliocene, Inner Alpine Basin Czechoslovakia), *Sborník*, XIX, Praha.
- (1955) The species of the group of *Candonalobata* (Zalany) (Ostracoda, Crustacea) in the Pannonian of Moravia. *Univ. Carolina Geol.* 1/2, Praha.
- Sokac A. (1963) Pannonische Ostrakodenfauna vom donje Seliste südwestlich von Glna. *Geoloski Vjesnik*, 15/2, Zagreb.
- (1967) Pontische Ostrakodenfauna an den Sudostlichen abhängen der Zagrabecka Gora. *Geoloski Vjesnik*, 20, Zagreb.
- Staneeva M. (1963) Ostracodina fauna ot Neogena v severozapadn Bulgaria-Sarmatschi ostracod. *Travaux sur la Géologie de Bulgarie*, ser. Pal., V, Sofia.
- Zalanyi B. (1944) Neogene Ostrakoden in Ungarn. *Geol. Hung.* 21, Budapest.

## ASSOCIATIONS D'OSTRACODES D'ÂGE SARMATIEN ET PLIOCÈNE SITUÉES À L'EXTRÉMITÉ OCCIDENTALE DU BASSIN DU CRÎSU ALB

(Résumé)

Au sein des dépôts sarmato-plioènes situés dans l'extrême occidentale du bassin du Crișu Alb on a séparé, à partir des associations microfauniques, plusieurs horizons, attribués par les auteurs au: Bessarabien, Méotien et Pontien.



C'est pour la première fois qu'on a essayé en Roumanie une parallélisation des dépôts pliocènes sous faciès pannonicus avec les dépôts pliocènes du bassin dacique, basée sur la faune d'ostracodes.

Les échantillons pour l'analyse des associations d'ostracodes ont été prélevés à des horizons dont l'âge est bien précisé aussi par des riches associations microfauniques.

#### EXPLICATION DE LA PLANCHE

Tableau de la répartition des associations d'ostracodes pliocènes dans le bassin du Crășul Alb.





# TABEL DE REPARTITIE A ASOCIATIILOR DE OSTRACODE PLIOCENE DIN BAZ. CRISULUI ALB

R. OCTAVIANU DINCESCU. Asociatii de ostracode stratiogene sipliocene din extremitatea vestica a bazinului Crisului Alb.

| GENUL<br>SI<br>SPECIA   | ROMANIA                 |      | BULGARIA                        |         | IUGOSLAVIA    |       | UNGARIA         |           | CEHOSLOVACIA |       | U.R.S.S.  |         |       |       |         |
|---|-------------------------|------|---------------------------------|---------|---------------|-------|-----------------|-----------|--------------|-------|-----------|---------|-------|-------|---------|
|   | BAZINUL<br>CRISULUI ALB |      | BAZINUL<br>ZONA<br>SUBCARPATICA |         | BAZINUL DACIC |       | BAZINUL PANONIC |           |              |       |           |         |       |       |         |
|   | SARM.                   | INF. | NEOTIAN                         | PENTIAN | SARM.         | NEOT. | PENTIAN         | PANNONIAN | PONTIAN      | SARM. | PANNONIAN | PONTIAN | SARM. | NEOT. | PONTIAN |
| 1. <i>Eucypris sieberi</i> (Mehes)                                | +                       | +    |                                 |         |               |       |                 | X         |              |       | X         | X       |       |       |         |
| 2. <i>Eretocypris obsoleta</i> (Reuss)                            |                         | (*)  |                                 |         |               |       |                 | X X X     |              |       |           | X       |       |       |         |
| 3. <i>Eretocypris recta</i> (Reuss)                               | +                       | +    |                                 |         |               |       |                 | X         |              |       |           | X       |       |       |         |
| 4. <i>Bakunella centropunctata</i> (Suzin)                        | +                       | +    |                                 |         |               |       |                 |           |              |       |           |         |       |       | X X     |
| 5. <i>Bakunella</i> sp.   |                         | +    |                                 |         |               |       |                 |           |              |       |           |         |       |       |         |
| 6. <i>Ampelocypris</i> aff. <i>reticulata</i> (Zalony)            | *                       | *    |                                 |         |               |       |                 | X X X     |              |       | X X       | X       |       |       |         |
| 7. <i>Ampelocypris marginata</i> Zalony                           | *                       |      |                                 |         |               |       |                 | X         |              |       |           | X       |       |       |         |
| 8. <i>Ampelocypris munita</i> Zalony                              | *                       |      |                                 |         |               |       |                 | X         |              |       | X         |         |       |       |         |
| 9. <i>Hongarocypris hieroglyphica</i> Mehcs                       | *                       |      |                                 |         |               |       |                 |           |              |       |           |         |       |       |         |
| 10. <i>Hongarocypris pannonica</i> Zalony                         | o                       |      |                                 |         |               |       |                 | X X       | X X          |       | X X       |         |       |       |         |
| 11. <i>Candona</i> ( <i>Comptoscypris</i> ) praebachai Pöhl       | +                       | *    |                                 |         |               |       |                 | X         |              |       | X         |         |       |       |         |
| 12. <i>Candona</i> ( <i>Comptoscypris</i> ) eximinate (Zalony)    | +                       |      | X                               |         |               |       |                 | X X X     | X X X        |       | X X       |         |       | X X   |         |
| 13. <i>Candona</i> ( <i>Comptoscypris</i> ) galanica (Zalony)     | *                       |      | X                               |         |               |       |                 | X X       | X X          |       | X X       |         |       | X X   |         |
| 14. <i>Candona</i> ( <i>Comptoscypris</i> ) lobata (Zalony)       | o                       | o    | X                               |         |               |       |                 | X X       | X X X        |       | X X       | X       |       | X X   |         |
| 15. <i>Candona</i> ( <i>Comptoscypris</i> ) loteri (Zalony)       | +                       | *    |                                 |         |               |       |                 | X X       | X X X        |       | X X       |         |       |       |         |
| 16. <i>Candona</i> ( <i>Comptoscypris</i> ) lobata (Zalony)       | +                       | *    |                                 |         |               |       |                 | X X       | X X X        |       | X X       |         |       |       |         |
| 17. <i>Candona</i> ( <i>Comptoscypris</i> ) lobata (Zalony)       | +                       |      |                                 |         |               |       |                 | X X       | X X X        |       | X         |         |       |       |         |
| 18. <i>Candona</i> ( <i>Comptoscypris</i> ) lobata (Zalony)       | *                       |      |                                 |         |               |       |                 | X         |              |       |           |         |       |       |         |
| 19. <i>Candona</i> ( <i>Lincocycaris</i> ) lunata Mehcs           | +                       | *    |                                 |         |               |       |                 |           |              |       | X         |         |       |       |         |
| 20. <i>Candona</i> ( <i>Lincocycaris</i> ) trapezoides Zalony     | +                       |      |                                 |         |               |       |                 |           |              |       | X X X     |         |       |       |         |
| 21. <i>Candona</i> unguiculus Pokorný                             | +                       |      |                                 |         |               |       |                 |           |              |       |           | X       |       |       |         |
| 22. <i>Iliocypris gibba</i> (Romdhart)                            | o                       | +    | X X                             |         |               |       |                 | X         |              |       |           |         |       | X X   |         |
| 23. <i>Cypridecis</i> aff. <i>acutirostris</i> (Liljeberg)        | *                       |      |                                 |         |               |       |                 |           |              |       |           |         |       |       |         |
| 24. <i>Cyprineutes</i> aff. <i>salinus</i> (Brady)                | *                       |      |                                 |         |               |       |                 |           |              |       |           |         |       |       |         |
| 25. <i>Prionocypris</i> aff. <i>marginalis</i> Schneider          | +                       |      |                                 | X       |               |       |                 |           |              |       |           |         |       |       |         |
| 26. <i>Cypridella macrostigmata</i> Kellmann                      |                         | (*)  |                                 |         |               |       |                 |           |              |       | X X       | X X     |       |       |         |
| 27. <i>Cypridella heterostigmata</i> abezi (Reuss)                | (*)                     |      | X X                             |         |               |       |                 | X         |              |       | X         |         |       | X     |         |
| 28. <i>Cypridella</i> cf. <i>punctilata</i> Brady                 | +                       |      |                                 | X       |               |       |                 |           |              |       | X X       |         |       |       |         |
| 29. <i>Cypridella pannonica</i> Mehcs                             | *                       |      | X                               |         |               |       |                 |           |              |       | X         | X X X   |       |       |         |
| 30. <i>Cypridella pannonica</i> ver. <i>tuberculata</i> Mehcs     | *                       |      | X                               |         |               |       |                 |           |              |       |           |         |       |       |         |
| 31. <i>Hemicythere pokornyi</i> Štěkáč                            | *                       | *    |                                 |         |               |       |                 |           |              |       | X         | X       |       |       |         |
| 32. <i>Hemicythere</i> sp.  | o                       |      |                                 |         |               |       |                 |           |              |       |           |         |       |       |         |
| 33. <i>Loxocanthea granulata</i> (Reuss)                          | +                       |      |                                 |         |               |       |                 |           |              |       | X         |         |       | X     |         |
| 34. <i>Loxocanthea eukrogaia</i> Zalony                           | +                       |      |                                 |         |               |       |                 |           |              |       | X         |         |       | X     |         |
| 35. <i>Loxocanthea</i> sp.  | o                       |      |                                 |         |               |       |                 |           |              |       |           |         |       |       |         |
| 36. <i>Zenocypris membranosa</i> (Littoral)                       | o                       | *    |                                 |         |               |       |                 |           |              |       |           |         |       |       |         |
| 37. <i>Leptocythere</i> sp.                                       | +                       | *    | o                               |         |               |       |                 |           |              |       |           |         |       |       |         |
| 38. <i>Leptocythere</i> sp.                                       | c                       |      | *                               |         |               |       |                 |           |              |       |           |         |       |       |         |
| 39. <i>Xestoleberis meripora</i> Stancioiu                        | +                       | o    | +                               | X       |               |       |                 | X X       |              |       |           |         |       | X     |         |
| 40. <i>Xestoleberis</i> sp.                                       |                         | *    |                                 |         |               |       |                 |           |              |       |           |         |       |       |         |
| 41. <i>Mutilus</i> ( <i>Aurita</i> ) <i>angularis</i> (Schneidér) | (*)                     |      |                                 |         |               |       |                 | X         |              |       |           |         |       |       |         |
| 42. <i>Mutilus</i> ( <i>Aurita</i> ) <i>hungaricus</i> (Mehcs)    | *                       |      |                                 |         |               |       |                 | X         |              |       |           |         |       |       |         |
| 43. <i>Mutilus</i> ( <i>Aurita</i> ) <i>meritus</i> (Zalony)      | *                       |      |                                 |         |               |       |                 | X         |              |       |           |         |       |       |         |
| 44. <i>Cypridecis elegantis</i> Stancioiu                         | *                       |      |                                 |         |               |       |                 | X         |              |       |           |         |       |       |         |
| 45. <i>Loxocanthea</i> aff. <i>viridis</i> (Müller)               | +                       |      |                                 |         |               |       |                 | X         |              |       |           |         |       |       |         |
| 46. <i>Loxocanthea</i> sp.  | +                       |      |                                 |         |               |       |                 |           |              |       |           |         |       |       |         |
| 47. <i>Leptocythere spinulosa</i> Verchliang                      | +                       |      |                                 |         |               |       |                 | X         |              |       |           |         |       |       |         |
| 48. <i>Leptocythere miranovi</i> affigata Stancioiu               | *                       |      |                                 |         |               |       |                 | X         |              |       |           |         |       |       |         |
| 49. <i>Leptocythere miranovi</i> extremata Stancioiu              | +                       |      |                                 |         |               |       |                 | X         |              |       |           |         |       |       |         |
| 50. <i>Leptocythere amabilis</i> Stancioiu                        | +                       |      |                                 |         |               |       |                 | X         |              |       |           |         |       |       |         |
| 51. <i>Leptocythere turpe</i> Stancioiu                           | *                       |      |                                 |         |               |       |                 | X         |              |       |           |         |       |       |         |
| 52. <i>Leptocythere pseudopanamericula</i> Stancioiu              | +                       |      |                                 |         |               |       |                 | X         |              |       |           |         |       |       |         |
| 53. <i>Leptocythere litigiosa</i> Suerin                          | o                       |      |                                 |         |               |       |                 | X         |              |       |           |         |       |       |         |
| 54. <i>Xestoleberis fusca</i> Schneider                           | +                       |      |                                 |         |               |       |                 | X         |              |       |           |         |       |       |         |
| 55. <i>Xestoleberis elongata</i> Schneider                        | +                       |      |                                 |         |               |       |                 | X         |              |       |           |         |       |       |         |
| 56. <i>Xestoleberis</i> sp.                                       | o                       |      |                                 |         |               |       |                 |           |              |       |           |         |       |       |         |

## LEGENDA

\* ( ) Explosie de indivizi

○ 2-5 indivizi

\*\* 6-10 indivizi

● 1 individ

3+ 4-5 indivizi

× Forme prezente/înălțări preciare (rezerve)

3. PALEONTOLOGIE

PALEOBOTANICĂ

ASUPRA PREZENȚEI PALMIERULUI POSIL CALAMUS AFF.  
NOSZKYI JABL., ÎN COMPLEXUL PIROCLASTITIC-ANDEZITIC  
DIN VALEA BEGA (BANAT)<sup>1</sup>

DR.

VALENTIN BULGĂREANU<sup>2</sup>, RĂZVAN GIVULESCU<sup>3</sup>

**Abstract**

On the Presence of the Fossil Palm-Tree *Calamus* aff. *noszkyi* Jabl., within the Andesitic Pyroclastic Complex from the Bega Valley (Banat). In this paper attempts are made to determine more accurately the age of the andesitic-pyroclastic complex from the Bega Valley (Banat) on the basis of the remains of a fossil palm-tree, *Calamus* aff. *noszkyi* Jabl., as well as of a rich microfaunal assemblage.

În urma cercetărilor de teren din vara anului 1968, în regiunea cursului superior al văii Bega (Banat) am descoperit prezența unui punct fosilifer cu plante, în complexul piroclastitic-andezitic din versantul drept al văii Bega, la E de comuna Pietroasa.

Flora fosilă găsită în acest punct fosilifer, impune o revizuire a vîrstei tortonian-sarmătiană, acordată pînă în prezent complexului piroclastitic din această zonă de către majoritatea cercetătorilor.

**Considerații geologice asupra regiunii**

Perimetru la care ne referim în prezenta notă este străbătut de la E la W de valea Bega și este limitat la W de valea Delenilor și la E de localitatea Crivina de Sus (fig. 1).

<sup>1</sup> Comunicare în ședință din 18 martie 1969.

<sup>2</sup> Întreprinderea Geologică de Prospecțuni, Șos. Kiseleff nr. 2, București.

<sup>3</sup> Institutul Pedagogic de 8 ani, Baia Mare.

Formațiunile geologice cele mai vechi aparțin domeniului getic (șisturile epimetamorfice din nordul masivului Poiana Rusă) iar cele mai noi bazinului Munților Metaliferi (depozitele sedimentare

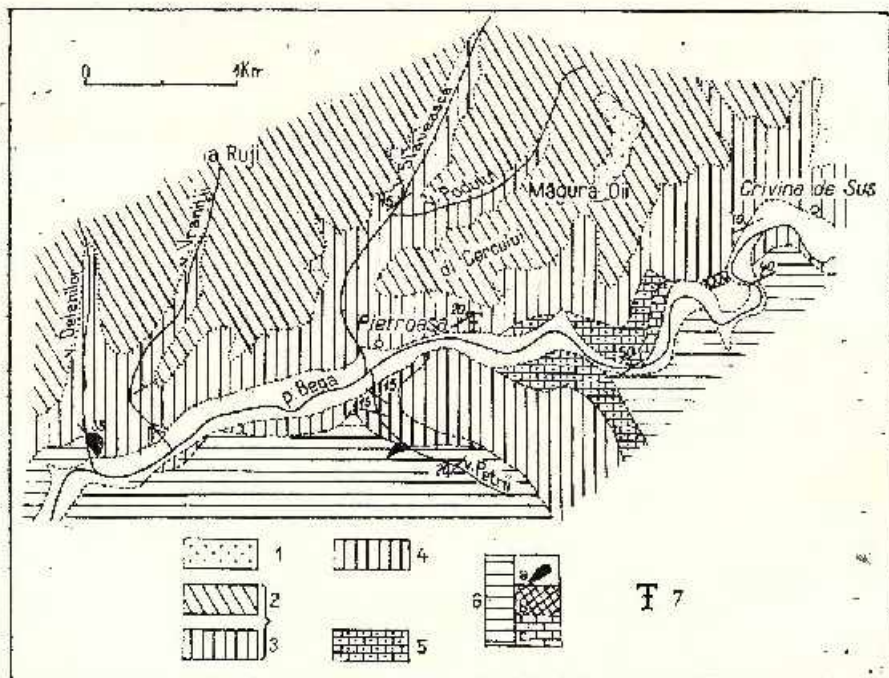


Fig. 1. - Schiță geologică a regiunii Pietroasa-Crivina de Sus (valea Bega)

1. Quaternar-Plăstosteniu (petreciuri de terase); 2. Neogen-Tortonian (mârni și argile nălpoase cu intercalări de petreciuri); 3. Neogen-Burdigalian? Aquitanian (complexul pyroclastic-andesitic cu aglomerate, tufuri și lave); 4. Criaciac-Criocian-Vraconian (conglomerație cu elemente de calcar și schisturi cristalline, cu intercalări de grăsuț silicioase); 5. ? Triasic (calcaree massive cu rare accidente silicioase); 6. Proterozoiu superior-Paleozoiu. Antecarbonifera: a. schisturi grafitice; b. schisturi sericito-chloritice; c. calcaroase și calcaroase dolomitoase.

Esquisse géologique de la région de Pietroasa-Crivina de Sus (vallée de la Bega)

1. Quaternaire-Platostoséne (graviers de terrasse); 2. Néogène-Tortonien (marnes et argiles sableuses à intercalations de graviers); 3. Néogène-Burdigalien? Aquitanien (complexe des pyroclastites andésitiques à aglomérats, tufs et laves); 4. Crétacé-Criocien-Vraconien (conglomérata à éléments de calcaires, et schistes cristallins avec intercalations de grès siliceux); 5. ? Trias (calcaires massifs à rares accidents siliceux); 6. Proterozoïque supérieur-Paleozoïque-Antécarbonifère; a. schistes graphitiques; b. schistes sericitico-chloritiques; c. calcaires et calcaires dolomitoques.

mezozoice) și bazinului Lugoj (depozitele sedimentare neogene, la care se asociază eruptiile vulcanismului subsecvent).

Iată descrierea succintă a formațiunilor geologice care aflorează în regiune :

**Proterozoic superior-Paleozoic (ante-Carbonifer).** Cele mai vechi roci din regiune — șisturile epimetamorfice — afforează la S de valea Bega și cuprind calcare și calcare dolomitice, uneori chiar dolomite (pl., fig. 1) cu intercalări de șisturi grafitoase și șisturi sericito-cloritoase. Sunt acoperite de depozitele sedimentare mezozoice (? Triasic, Cretacic) și neogene (Miocen) precum și de complexul piroclastic pe care îl vom considera deocamdată, de vîrstă neogenă.

Șisturile cristaline sus amintite prezintă în general, inclinări spre NW ( $20^{\circ}$ — $50^{\circ}$ ).

? **Triasic.** Depozitele ? triasice — care repauzează pe calcarele cristaline — cuprind calcare masive cenușiu-albicioase, cu rare accidente silicioase. Sunt acoperite de rocile complexului piroclastic-andezitic.

Examenul microscopic, efectuat prin amabilitatea geologului Patruțiu, a permis să fie atribuit, cu oarecare probabilitate, Triasicului, un calcar uniform-granular, cu urme de microstratificație.

**Cretacic (? Vraconian-Coniacian).** Depozitele cretacic-superioare dispuse transgresiv peste șisturile epimetamorfice (valea Petrii) au fost comparate cu cele cunoscute la marginea sudică a depresiunii Ruscă Montană, unde au fost descrise de Codarcea și Stoeneșcu (1957)<sup>4</sup>.

În versantul drept al văii Petrii, pirolastitele neogene acoperă depozitele cretacic-superioare, reprezentate prin conglomerate dure, în bancuri submetrice, cu elemente centimetrice de șisturi cristaline și calcare cenușii de tipul celor citate mai sus ca triasice. Către partea superioară a conglomeratelor apar intercalări decimetrice de gresii silicioase muscovitice (quartz—43%, muscovit—20%), friabile, grosiere, mai rar micro-conglomeratice (pl., fig. 2).

Dopezitele descrise倾ină, în general, cu cca  $15^{\circ}$  spre N.

**Neogen. ? Aquitanian-Burdigalian.** Am atribuit vîrsta ? aquitanian-burdigaliană, complexului de roci piroclastice andezitice care repauzează pe șisturile cristaline epizonale și pe depozitele sedimentare descrise, considerate triasice și cretacice. Acest complex piroclastic este acoperit transgresiv de depozitele tortoniene.

Complexul piroclastic afforează în ambii versanți ai văii Bega, având însă o extindere mai mare în versantul drept. Este reprezentat prin

<sup>4</sup> F. Codarcea, Veneta Stoeneșcu. Raport geologic asupra regiunii Glimboca-Obreja-Var. 1957. Arh. Com. Stat. Geol. București.

aglomerate, cinerite și curgeri de lavă andezitică, în bancuri ce nu depășesc 1 m grosime (fig. 2).

Examinarea succesiunii aglomerate-tufuri denotă existența a cca 3 faze de erupție, care au dus la formarea sus-numitului complex. Complexul piroclastic arată inclinări constante de  $10^{\circ}$ – $20^{\circ}$  spre NW.

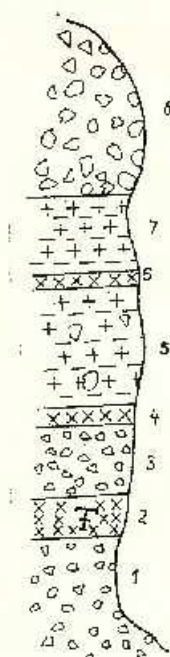


Fig. 2. — Coloană de detaliu în complexul piroclastic de la E de Pietroasa (valle de la Bega)

1. aglomerate andezitice ( $\varnothing$  elementelor 1–2 cm), 0,80–1,00 m; 2. cinerit andezitic cu resturi de floră fosilă (*Calamus aff. noszkyi* J. a b I.), 0,60 m; 3. aglomerat andezitic cu elemente mari ( $\varnothing$  2 cm), 0,80 m; 4. cinerit andezitic albicioasă (0,10 m); 5. lavă andezitică cu rare elemente de rochă andezitică (1,50 m); 6. cinerit andezitic albicioasă-gălbui (0,08 m); 7. lavă andezitică alterată (1 m); 8. aglomerat andezitic cu elemente mari (diametrul peste 10 cm), 2 m.

Colonne détaillée dans le complexe, pyroclastique situé à l'E de Pietroasa (vallée de la Bega):

1. agglomérates andésitiques ( $\varnothing$  des éléments 1–2 cm), 0,80–1,00 m; 2. cinérite andésitique avec des restes de flore fossile (*Calamus aff. noszkyi* J. a b I.), 0,60 m; 3. agglomérat andésitique à éléments gros (0,2 cm) 0,80 m; 4. cinérite andésitique blanchâtre (0,10 m); 5. lavée andésitique à rares éléments de roche andésitique (1,50 m); 6. cinérite andésitique blanchâtre-jauâtre (0,08 m); 7. lavée andésitique altérée (1 m); 8. agglomérat andésitique à éléments gros ( $\varnothing$  supérieur à 10 cm), 2 m.

Intr-un nivel de cinerit situat la cca 15 m deasupra limitei cu depozitele atribuite Triasicului, am găsit un cub fosilifer cuprinsind numeroase exemplare ale unei specii de palmier fosil, *Calamus aff. noszkyi* J. a b l o n s k y, citat pînă în prezent doar în depozitele aquitaniene și burdigaliene din Ungaria (J. a b l o n s k y, 1914; Pálifalvy, 1961; Rászký, 1964).

Deoarece în țara noastră nu se cunosc forme de palmier în formațiuni mai vechi decît cele tortoniene, vom atribui, cel puțin erupțiilor din baza complexului piroclastic-andezitic, vîrstă aquitanian-burdigaliană.

*Tortonian*. Depozitele tortoniene se pot urmări destul de bine pe văile Delenilor și Vrăniții (în vestul regiunii, fig. 3) unde acoperă complexul piroclastic andezitic. Cuprind marne, argile nisipoase și pietrișuri, cu

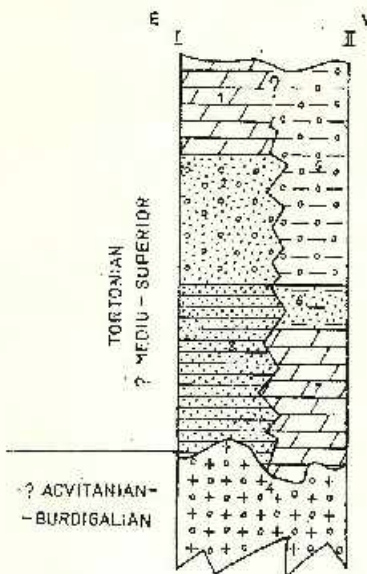
schimbări de facies relativ brusee. Vîrstă tortoniană? medie-superioară a fost precizată de următoarea asociatie microfaunistică, determinată de Yvonne Babuéea: *Siphonodosaria adolphina* (d'Orb.), *Nodosaria hirsuta* d'Orb., *N. longiscata* d'Orb., *Epistomina elegans* (d'-

Fig. 3. — Coloană litologică de detaliu arătând suprapunerea depozitelor tortoniene peste complexul piroclastic-andezitic (I — valea Vrâniții; II — valea Delenilor)

1. marnă albăstrui-cenușie; 2. pietre slab elementat în matrice nisipoasă; 3. argile nisipoase, cenușiu-albăstrui, micaceze; 4. aglomerate vulcanice andezitice; 5. pietre în matrice argiloasă; 6. nisip grosier argilos; 7. marnă cenușiu-gălbui, plăstică.

Colonne lithologique détaillée révélant la superposition des dépôts tortoniens sur le complexe des pyroclastites andésitiques (I — vallée de Vrâniții; II — vallée de Delenii):

1. marnes bleuâtre-grisâtre; 2. graviers faiblement cimenté en matrice sableuse; 3. argiles sableuses, grisâtre-bleuâtre, micacées; 4. aglomérates volcaniques andésitiques; 5. graviers en matrice argiloase; 6. sables grossiers argileux; 7. marnes grisâtre-jaunâtre, plastiques.



Orb.), *Gyroidina girardana* (Reuss), *Virgulina schreibersiana* Czjzek, *Bulimina elongata* var. *subbulata* Cussh., *Nonion pompilioides* (Fichtel, Moll.), *Valvularia saulcii* (d'Orb.), *Cibicides floridanus* (Cussh.), *Sphaeroidina bulloides* d'Orb., *Globigerina bulloides* d'Orb., *Globigerinoides triloba triloba* (Reuss), *G. conglobatus* (Brady), *Cibicides boueanus* (d'Orb.), *Spirocolulina alveata* Cussh., Todd., *Orbulina universa* d'Orb., *Uvigerina urnula* d'Orb., *Nodosaria pyrula* d'Orb., *Dentalina consobrina* d'Orb., *Cibicides mexicanus* Nuttall., *Saracenaria* cf. *arcuata* d'Orb., *Martinottiella communis* (d'Orb.).

Încadrat de marnele și argilele nisipoase cu microfaună tortoniană? medie-superioară, la partea lor superioară și avind în bază o floră de vîrstă? aquitanian-burdigaliană, complexul piroclastic-andezitic din valea Bega, apare în mod cert, de vîrstă ante-tortoniană. Același fapt a fost subliniat și de Nițulescu (1930), care a menționat, lîngă Crivina de Sus, suprapunerea marnelor nisipoase cu *Ostrea cochlear* peste aglomeratele andezitice (fig. 4).

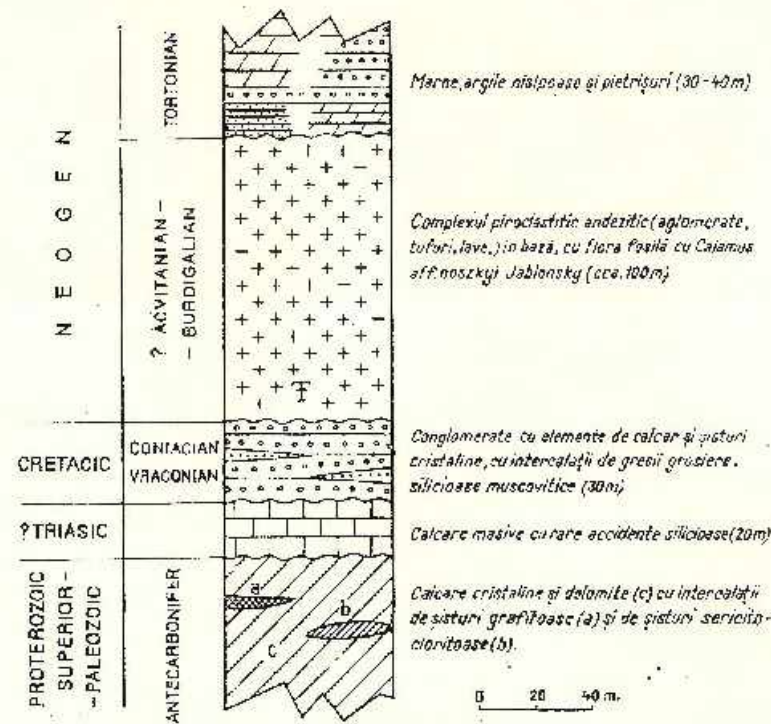


Fig. 4. — Coloană stratigrafică în regiunea Pietroasa-Crivina de Sus (valea Rega, Banat):

marnă, argile nisipoase și pietrișuri (30-40 m); complexul pyroclastic-andezitic (aglomerate, tufuri, lava), în bază cu flora fosilă cu *Cajamus aff. noszkyi* Jablonsky (cca. 100 m); conglomerate cu elemente de calcar și piatră cristalină, cu intercalări de gresii groși, silicioase, muscovitice (30 m); calcar massiv cu rare accidente silicioase (20 m); calcare cristalina și dolomite (c) cu intercalări de schisturi grafitoase (a) și de schisturi sericitico-chloritice (b).

Colonne stratigraphique dans la région de Pietroasa-Crivina de Sus (vallée de la Bega, Banat):

marnes, argiles sableuses et granières (30-40 m); complexe des pyroclastites andésitiques (agglosérates, tuface, laves), en base avec flore fossile à *Cajamus aff. noszkyi* Jablonsky (environ 100 m); conglomerats à éléments de calcaires et schistes cristallins, à intercalations de grès grossiers, siliceux, muscovitiques (30 m); calcaires massif à rares accidentes siliceux (20 m); calcaires cristallins et dolomites (c) à intercalations de schistes graphitiques (a) et de schistes sericitico-chloritiques (b).

### Considerații paleobotanice

Punctul fosilifer sus-amintit se situează la cca 700 m amonte de localitatea Pietroasa, chiar lungă drumul Pietroasa-Crivina de Sus, din versantul drept al văii Bega (pl., fig. 3).

Nivelul cineritic cu floră fosilă, gros de cca 0,50 m, este intercalat în aglomeratele vulcanice cu elemente centimetrice — uneori rotunjite, alteori angulare — de rocă andezitică (pl., fig. 1).

Resturile fosile, într-o stare de conservare relativ precară, reprezintă fragmente de frunze, de maximum 4—5 cm lungime.

Prezența nervurilor paralele și a fragmentelor identice de asemenea paralele între ele (pl., fig. 2) denotă apartenența acestora la o specie de palmieri cu frunza penată. Fragmentele studiate par să provină de la frunze foarte consistente. Frunzele au lățimea variabilă (0,9—1,5 mm) și prezintă trei nervuri paralele foarte evidente, de-a lungul căror frunza este îndoită în formă de W foarte deschis. Între aceste nervuri apare un număr de nervuri mai fine, tot paralele, uneori legate între ele prin anastomoze transversale. Pe marginea fragmentelor apar spini foarte fini, consistenti, vizibili numai cu lupa, și distanțări între ei la 1—5 mm.

Caracterele sus-amintite ne-an determinat să atribuim — cu oarecare probabilitate — fragmentele descrise speciei *Calamus noszkyi*, descrisă de Jablonsky în 1914 la Ipolytarnócz (Ungaria) și regăsită apoi de Pálfalvy (1961) și Rásoky (1964).

Materialul examinat se aseamănă în special cu cel al lui Rásoky, deci pntem afirma că resturile vegetale descrise aparțin formei *Calamus aff. noszkyi* Jabl. După cum am arătat mai sus, tipul *C. noszkyi* nu a fost citat decit în Ungaria și anume în depozitele aquitaniene și burdiga-liene.

Tipurile actuale de *Calamus*, considerate ca înrudite cu *C. noszkyi*, sunt cantonate în pădurile tropicale din zona musonică est-asiatică, ceea ce sugerează condițiile climatice care ar fi existat în Aquitanian-Burdigalian, în regiunea noastră.

*Calamus noszkyi* Jabl. este, după *Spinophyllum daemonorops* (Tengen) Huard, al doilea tip de palmier lepidocardioid, citat pe teritoriul ţării noastre.

## BIBLIOGRAFIE

- Jablonsky I. (1914) A tárnoch mediterrán Körök flora. A Magyar Körök. Földt. int. Árk. 22, Budapest.
- Nițulescu O. (1930) Contribuționi la studiul geologic al regiunii Lăpușul de Sus (Hunedoara). Rev. Muz. Geol. Min. Univ. Cluj, IV/1, Cluj.

- Pálfalvy L., Nagy L. (1961) Az egri téglagyár szelvény ösnövénytany vizsgálata.  
A Mag. Állami Földt. int. évi Jelent., Budapest.
- Rásky K. (1964) Studies of Tertiary plant remains from Hungary. Ann. hist. nat. Mus. nat. Hung., pars. min.-palaeont., 55, Budapest.

SUR LA PRÉSENCE DU PALMIER FOSSILE CALAMUS AFF.  
NOSZKYI JABL., DANS LE COMPLEXE DES PYROCLASTITES  
ANDÉSITIQUES DE LA VALLÉE DE LA BEGA (BANAT)

(Résumé)

À la suite des prospections effectuées au cours de l'été de l'année 1968, dans la région de Pietroasa-Crivina de Sus (cours supérieur de la vallée de la Bega), dans la partie basale du complexe des pyroclastites andésitiques, on a trouvé des restes de flore fossile représentée par la forme *Calamus aff. noszkyi* Jabl.

Inconnu jusqu'à l'heure actuelle en Roumanie ce palmier fossile a été cité en Hongrie dans l'Aquitainien et le Burdigalien. Cette flore conduit les auteurs à présumer que l'âge de l'éruptif andésitique serait antérieur au Tortonien.

## PLANŞA I



Institutul Geologic al României

## EXPLICATION DE LA PLANCHE

- Fig. 1. — Calcare dolomitice la SW de Crivina de Sus (cu înclinări către NW), valea Bega, versantul drept.  
Calcaires dolomitiques situés au SW de Crivina de Sus (avec pendages vers le NW), vallée de la Bega, versant droit.
- Fig. 2. — Versantul drept al văii Bega, la E de Pietroasa : 1, cinerit cu resturi de plante; 2, aglomerat andezitic.  
Versant droit de la vallée de la Bega, à l'E de Pietroasa ; 1, cinérite avec des restes de plantes ; 2, agglomérat andésitique.
- Fig. 3. — Versantul drept al văii Bega, la E de Pietroasa : punctul fosilifer cu plante ; a, aglomerata și cinerite andezitice.  
Versant droit de la vallée de la Bega, à l'E de Pietroasa ; gisement fossile avec plantes ; a, agglomérats et cinérites andésitiques.
- Fig. 4. — Versantul drept al văii Bega : 1, cinerit andezitic cu floră fosilă ; 2, aglomerate andezitice.  
Versant droit de la vallée de la Bega ; 1, cinérite andésitique avec flore fossile ; 2, agglomérats andésitiques.

V. BULGĂREANU, R. GIVULESCU. *Calamus* aff. *noszkyi* Yabl.—Banat.



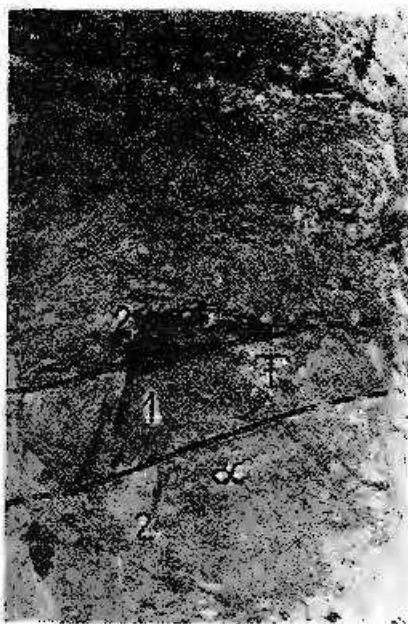
1



2



3



4

### 3. PALEONTOLOGIE

#### PALAEOBOTANICA

## DATE NOI ASUPRA FLOREI PLEISTOCENE DE LA DOBOȘENI (BAZINUL BARAOLT)<sup>1</sup>

DE

RĂZVAN GIVULESCU<sup>2</sup>, ALEXANDRU VASILESCU<sup>3</sup>

#### Abstracăt

New Data on the Pleistocene Flora of the Dobroșeni Area (Baraolt Basin). The investigations of the fossiliferous locality, identified in 1967 in the village of Dobroșeni (Baraolt basin), is carried further on with the description of some fossil plants. The material found led to the following conclusion: the flora presents an advanced evolution degree and is composed in a proportion to about 50 per cent of the *Quercus* type. The Central European, Balkan-Kolchidian, South European-West Asian floral elements are well represented, whereas the Atlantic-North-American ones are missing. An important change of the phytocoenose as compared to the Pliocene, indicating a more recent age of the deposits, is to be noticed.

Deschiderea structurii geologice a unei regiuni ridică, fără înclinație, probleme deosebite cercetătorilor, adeseori fiind necesară folosirea metodelor combinate de investigație, care să confirme ipotezele emise asupra evoluției geologice a regiunii respective.

Stabilirea legăturii între procesele de sedimentare și vulcanism, deschiderea istoricii aparatelor vulcanice, determinarea caracterelor și vîrstei produselor acestora — pentru zonele ocupate de formațiuni vulcanice — presupune studii laborioase de teren și laborator; dacă cele mai multe din elementele necesare — caractere petrografice și petrochimice, asociații petrogenetice, etc. — pot fi determinate exclusiv în laborator,

<sup>1</sup> Comunicare în ședință din 11 aprilie 1969.

<sup>2</sup> Institutul Pedagogic de 3 ani, Baia Mare.

<sup>3</sup> Organizația de Prospecții și Laboratoare, B-dul N. Titulescu nr. 85–87, București.

în problema vîrstei relative a produselor vulcanice, raporturile acestora cu depozite sedimentare joacă rolul hotărîtor. Acesta este de altfel motivul pentru care asemenea raporturi trebuie examineate cu deosebită atenție și valorificate la maxim.

În ceea ce privește situația concretă a extremității sud-vestice a lanțului eruptiv intracarpatic, cercetările efectuate recent au pus în evidență raporturi ale formațiunii vulcanogen-sedimentare cu depozite conținând un bogat material floristic, cu implicații deosebite în stabilirea vîrstei produselor vulcanice. Dată fiind importanța primelor sapte de observație, care se cereau confirmate prin noi date de observație, a apărut necesară continuarea cercetărilor pe această direcție. Din acest motiv unul din noi a continuat și în vara anului 1967 cercetările paleobotanice în comuna Dobroșeni, pe pîrul Szölömái. Este vorba de punctul fosilifer descris cu altă ocazie (Vasilescu, Givulescu, 1967). Cercetările în cauză au dus la descoperirea unui nou material fosil, reprezentat prin :

- aff. *Cupressus sempervirens* L.
- Carpinus betulus* L. (frunză)
- Quercus robur* L.
- Quercus castaneifolia* C. A. M.
- Quercus* aff. *infectoria* Oliv.
- Quercus* aff. *trojana* Webb.
- Acer monspessulanum* L.
- Carpolites* sp.

În cele ce urmează se va da o succintă descriere a tipurilor mai sus citate :

aff. *Cupressus sempervirens* L.

Material foarte precar ce constă dintr-un fragment de rămurică, pe care se observă frunzele triunghiulare alipite, dispuse alternativ. *C. sempervirens* vegetează în Asia Mică, Siria, Persia, dar este și circummediteranean. A mai fost citat din bazinul Baraolt de la Miclușoara.

*Carpinus betulus* L.

Numeroaselor bractee citate în lucrarea anterioară le alăturăm acum și o frunză foarte caracteristică, ce se suprapune întru totul tipului actual.



*Quercus robur* L.

O jumătate de frunză tânără prezintă conturul, dar mai ales lobulația caracteristică. Este vorba de o frunză sesilă, neregulat-sinuat-lobată, cu lobii rotunjiți, îndreptați în sus, cu sinuri neregulate și de adâncimi diferite. Caracterele descrise converg spre actualul *Q. robur* L., de largă răspândire în Europa de mijloc și de sud.

*Quercus castaneifolia* C. A. M.

O singură impresiune aproape întreagă. Acest *Quercus* se recunoaște ușor și sigur datorită marginii caracteristice, ce prezintă lobi triunghiular-ascuțiti și sinuri foarte puțin adâncite, rotunjite și deschise. Este un element caucazian-nord persan.

*Quercus* aff. *infectoria* Oliv.

Cu oarecare indoieri prezentăm o frunză destul de bine conservată, de formă oblong-lanceolată, cu baza slab cordată, cu marginea abea schițat lobulată, în vîrful fiecărui lob găsindu-se, se pare, o mică proeminență, ce corespunde nervurii secundare respective. Nervura principală este pregnantă, nervurile secundare, din care se văd 9 perechi, prezintă un unghi de ieșire ce scade de la bază spre vîrf. Materialul de ierbar examinat a arătat că există o ascemânare suficient de mare între impresiunea fosilă și frunzele actuale de *Q. infectoria* Oliv., chiar dacă tipul de margine este mai rar întîlnit. *Q. infectoria* vegetează în Asia Mică,

*Quercus* aff. *trojana* Webb.

O altă impresiune ar putea fi atribuită acestui tip. Este vorba de o frunză ovată, cu vîrful acut, cu marginea ușor lobulată, cu lobii ascuțiti în vîrf, cu sinul puțin adâncit și frumos rotunjit. O nervură principală pregnantă ce se subțiază de la bază spre vîrf și 9 nervuri secundare, mai mult sau mai puțin paralele, ce se termină în vîrful lobilor și sunt legato între ele printr-o rețea de terțiare paralele, completează imaginea frunzei. Nu am avut posibilitatea de a examina material de ierbar; în schimb ceea ce am găsit descris și figurat în Krüsmann corespunde mulțumitor cu exemplarul fosil. *Q. trojana* vegetează în Jugoslavia, Grecia și Asia Mică.

*Acer monspessulanum* L.

Este reprezentat printr-un fragment ce păstrează doi din cei trei lobi ai frunzei. Aspectul este absolut caracteristic. *A. monspessulanum* vegeteză în sudul Europei, în Asia Mică trecind pînă în Caucaz.

*Carpolites* sp.

Dăm sub această denumire convențională impresiunea a trei semințe. Asupra apartenenței lor nu putem face pentru moment nici o precizare.

Rezumînd deci, cunoaștem pînă în prezent de la Dobrogea următoarele tipuri vegetale : aff. *Cupressus sempervirens* L., cf. *Cercidiphyllum orenatum* (Ung.) Brown, *Carpinus betulus* L. (frunză și bractee), *Fagus* cf. *orientalis* Lipsky, *Quercus kubinyii* (Kov.) Czecott (aff. *Q. libanii* Oliv.), *Q. pseudosuber* Santini, *Q. castaneifolia* C. A. M., *Q. robur* L., *Q. aff. infectoria* Oliv., *Q. aff. trojana* Webb., *Zelkova serrata* Spath., *Buettneriophyllum tiliaefolium* (A. L. Br.) Kn. et K. v., *Acer monspessulanum* L., *Carpolites* sp.

Desi redusă numeric, flora în cauză permite unele observații :

1. Se impune, în primul rînd, gradul avansat de evoluție. Materialul fosil este întru totul identic tipurilor vegetale actuale, astfel încît a fost denumit ca atare, lăsind la o parte (cu mici excepții) denumirile specifice fosile.

2. Se impune, în al doilea rînd, predominantă masivă a tipurilor de *Quercus*. Din 14 tipuri fosile cotate, 6 (deci aproape jumătate) reprezintă frunze de *Quercus*. Chiar dacă această proporție este aici exagerată, dacă ne adresăm altor flore din bazin, ca cea de la Mihășoara (Măxim, Petrescu, 1966) sau chiar celeia de la Buduș (Staub, 1881), vom constata același fenomen : existența unui număr neobișnuit de mare de tipuri de *Quercus*, în primul caz formînd 28%, în al doilea 33% din ansamblul florei în cauză.

3. Cu excepția lui *Buettneriophyllum*, tip cu afinități incerte și a lui *Cercidiphyllum*, element est-asiatic din flora Japoniei, restul componentelor florei studiate reprezintă elemente central-europene, balcan-olchisene, sud-europene, vest-asiatice. Nu găsim nici un element nord-american-atlantic, element care era unul din componente principali ai florei pliocene. Cît privește elementul est-asiatic, al doilea element important al florei pliocene, acesta este reprezentat, aşa cum am amintit, numai de *Cercidiphyllum*. Desigur nu trebuie să exagerăm. Dar comparind faptele



enunțate mai sus cu situația de la Mielușoara, unde din 32 de tipuri numai 4 au corespondenți actuali în flora nord-american-atlantică, ajungem la concluzia că, față de ceea ce cunoaștem în Pliocen, aici suntem în prezență unei importante schimbări de fitocenoză, caracterizată prin reducerea masivă a rolului elementului nord-american-atlantic și a celui est-asiatic în vegetația în cauză. Asistăm deci, în acest moment, la o nouă regrupare a elementelor fitogeografice a florei noastre fosile, fapt a cărei deosebită importanță rezultă atunci cind avem posibilitatea, așa cum e cazul în Transilvania, să urmărим evoluția florei fosile pe parcursul întregului Pliocen.

Cit privește compararea cu alte flori foliare pleistocene, cea mai apropiată este cea de la Lozenet (Sofia) în Bulgaria, de vîrstă pleistocen-inferioară (Kitanov, Nicolova, 1956). Asemănarea ei cu flora de la Doboșeni este surprinzătoare: ambele sunt alcătuite din aceleși elemente fitogeografice, cu deosebirea că în flora de la Lozenet mai există cîteva elemente nord-americane și un relict pliocenic (*Oreodaphne heerii*), care apare numai în orizontul inferior.

Concluzia care se degajă este aceea a unei evoluții identice floristice în spațiu sud-est european la limita Pliocen-Pleistocen, evoluție care va duce la stabilirea unei fitocenoze mai mult sau mai puțin identice în Pleistocenul inferior.

Concluziile de ordin paleobotanic vin să confirme pe cele bazate pe fapte de observație din teren: bazinul Baraoltului a avut o evoluție geologică specifică bazinelor interne, asemănarea sa cu alte bazine fiind numai întimplătoare.

Prima observație care se impune este aceea privind vîrsta foarte recentă a materialului floristic identificat la Doboșeni, de altfel și în alte puncte ale bazinului, determinat ca în mod cert aparținând Pleistocenului.

Adăugind acestor precizări poziția orizontului de diatomite care conține materialul paleobotanic, atribuirea complexului vulcanogen-sedimentar, aflat deasupra sa, Pleistocenului se impune de la sine; fără a nega posibilitatea existenței unor mișcări neotectonice în interiorul bazinului, considerăm puțin probabil că actuala poziție a formațiunilor ale căror raporturi sunt puse în discuție, să oglindească efecte de asemenea ampleare.

Astfel stănd lucrurile, trebuie admis că formarea complexului vulcanogen-sedimentar a cuprins o perioadă de timp corespunzătoare părții supe-

rioare a Pliocenului, cu ale cărui formațiuni se află îndințat, pînă în Pleistocen.

De altfel, acest punct de vedere, exprimat deja cu altă ocazie (Vasilescu, Givulescu, 1967), asociat altor elemente concordante din alte puncte ale lanțului eruptiv, a fost în parte acceptat, fie chiar ca situație singulară.

## BIBLIOGRAFIE

- Kitanov B., Nicolova A. (1956) Novi materiali po proučivane fosilnata flora ot Lozenet b Sofia. *Izv. na Bot. Inst.* 5, Sofia.
- Liteanu E., Mihaila N., Bandrabur T. (1962) Contribuții la studiul stratigrafiei Cuaternarului din bazinul mijlociu al Oltului (bazinul Baraolt). *Stud. și cercet. Acad. R.S.R.* VII/3-4, București.
- Maxim I., Petrescu J. (1966) Flora pliocenă din bazinul Baraolt. I. Flora de la Miclușoara. *Studia Univ. Babeș-Bolyai, geol.-geogr.*, Cluj.
- Vasilescu Al., Givulescu R. (1967) Contribuții la cunoașterea geologică bazinului Baraolt. *D.S. Inst. Geol.* XLIV, București.

## DONNÉES NOUVELLES CONCERNANT LA FLORE PLÉISTOCÈNE DE DOBOȘENI (BASSIN DE BARAOLT)

(Résumé)

Dans un ouvrage antérieur les auteurs signalent la présence d'un gisement floristique situé dans les environs de la commune de Doboșeni, en établissant son âge relativement récent autant que celui du complexe volcanogène-sédimentaire qui le surmonte.

Etant donné l'importance que ce gisement fossilière présente pour la stratigraphie des dépôts du bassin de Baraolt les auteurs reprennent l'étude de la flore signalée en 1967 et décrivent de nouvelles plantes fossiles. L'ouvrage contient une liste du matériel identifié qui mène aux conclusions suivantes : comme évolution la flore est très avancée étant formée en proportion de 50% de différents types de *Quercus*. Les éléments floristiques nord-américains atlantiques y sont défaut et ceux asiatiques ne sont représentés que par *Cercidiphyllum* par contre sont très bien représentés les éléments floristiques centrale-européens, balkano-colechiens, sud-européens-ouest asiatiques. Par rapport au Pliocène on remarque donc un changement de phytocénose fait qui confère un âge encore plus récent aux dépôts qui recèlent les plantes respectives. Les résultats des recherches paléobotaniques confirmant ceux des recherches géologiques.

## PLANŞA I



Institutul Geologic al României

## EXPLICATIA PLANSEI

- Fig. 1. — *Carpinus betulus* L.  
Fig. 2. — *Quercus castaneifolia* C. A. M.  
Fig. 3. — *Quercus* aff. *infectoria* Oliv.  
Fig. 4. — *Quercus* aff. *Irojana* Webb.  
Fig. 5. — *Acer monspessulanum* L.  
Fig. 6. — *Carpelites* sp.  
Toate figurile sunt foarte ușor mărite.  
Toutes les figures sont légèrement agrandies.



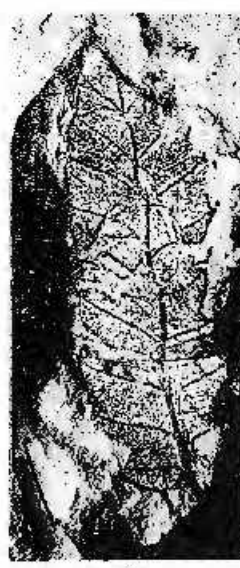
B. GIVULESCU, AL. VASILESCU. Flora pleistocenă—Doboșeni.



1



2



3



4



5



6

Institutul Geologic. Dări de seamă, vol. LVI/3.

3. PALEONTOLOGIE

PALEOBOTANICĂ

FLORA RHACTIANO-LIASICĂ DE LA MEHADIA<sup>1</sup>

de

ALEXANDRU SEMAKA<sup>2</sup>

**Abstract**

Rhaetian-Lias Flora from the Mehadia Zone. The description of a flora, Rhaetian-Lias in age, from Mehadia-Banat, and within which *Phlebopleris angustiloba* exclusively predominates, is given. It is an association of temperate-humid type with slightly expressed cold recurrences.

Într-o notă mai veche (Ilieșeu, Semaka, 1962) prezentăm pe scurt o mică floră liasică din vecinătatea localității Mehadia. În cursul anului 1968, ne-am propus investigarea mai detaliată a acestui punct fosilifer. Ea a dus la găsirea unor noi resturi de plante fosile, care rotunjesc imaginea paleobotanică privind „stratele cu *angustiloba*”. În cele ce urmează, vom încerca expunerea succintă a acestor rezultate.

**Localizare geologică**

Zona Mehadia se situează pe cristalinul Danubian al Banatului de est, făcind parte din subunitatea tectonică de Presacina. Formațiunile sedimentare aparțin la patru cicluri majore (Ilieșeu, 1963).

1. Ciclul paleozoic cuprinde formațiuni devoniene, carbonifer-inferioare, carbonifer-superioare și permiene; acestea din urmă sunt străpunse de porfire cuartifere. (Am dori să remarcăm deci, că Devonianul a fost descoperit în 1964—1966 de Gr. Răileanu și S. Năstăseanu în zona Ideg-Capul Virului, de unde provine o mică floră care e în studiul nostru).

<sup>1</sup> Comunicare în ședință din 7 februarie 1969.

<sup>2</sup> Institutul Geologic, Șos. Kiseleff nr. 2, București.



2. Ciclul rhaeto-liasic cuprinde întreaga stivă de depozite ce corespunde acestui interval. Vom insista mai firziu asupra ei.
3. Ciclul cretacic este reprezentat numai prin seria conglomeratelor de Calva.
4. Ciclul tertiar cuprinde depozite atribuite Tortonianului și mai noi.

### Considerații asupra Rhaeto-Liasicului

În decursul părții finale a Permianului mediu, cît și în Permianul superior, exondarea întregii regiuni — sehiță încă de la începutul Permianului inferior — devine generală. Eroziunea subsecventă care a afectat uscatul astfel format, se concretizează în geneza unui pregnant paleo-relief; în unele zone depozitele permiene preexistente subzistă numai ca mici „insule” ascunse sub depozite mai noi.

În timpul Liasicului cel mai inferior (*sensu* = Infracretacic = Rhacanian) puternica transgresiune jurasică, care se instalează în întregul domeniu al Carpaților Meridionali, invadăază și această regiune. Rhaetianul, ne apare, mai mult sau mai puțin discordant, fie peste fundația cristalină, fie peste relieful permian remanent.

Dopezitele atribuite în trecut Liasicului inferior (*sensu* = Hettangian) sunt constituite din conglomerate și (parțial) pietrișuri sau grohotișuri cimentate. Ele au colorație cenușie sau cenușiu-albicioasă, sunt dure pînă la foarte dure, au o stratificație cu aspect haotic. Elementele componente, heterogene, cu dimensiuni relativ reduse (sub 100 mm), remanaiază atât formațiunile din fundația cristalină, cît mai ales depozitele — primar detrito-clastice — ale Permianului. Cu toate că pe verticală se observă uneori recurențe de material grosier, se poate afirma că există o sortare a materialului, în așa fel încit spre partea ei superioară seria devine microconglomeratică și apoi grezoasă. În aceeași măsură în care scad dimensiunile elementelor componente, crește numărul intercalărilor pelitice, cu dezvoltare lentiliformă, constituite din argile grezoase negre, parțial șistoase, bogate în pelicule de calcit. Grosimea acestei serii, variază foarte mult; față de o grosime medie de cca 30—50 m, atinge în zonele de maximă dezvoltare peste 300 m.

Pînă în anul 1962, acest pachet detritogen, era datat numai pe baza poziției geometrice. Apoi, pentru prima oară, Iliescu reușește să găsească, în lentilele cu sedimente pelitice resturi fosile vegetale (Iliescu, Semaka, 1962) ce permit atribuirea acestor depozite Rhaetianului. Lor își se asociază specia *Terebratula pyriformis* Suesse, găsită în partea superioară a conglomeratelor grezoase, în nivelul ce corespunde strati-

grafic lentilelor de argile, și anume pe valea Sfîrdinului. Studiul detaliat, al depozitelor rhaetiene, a fost efectuat de Iliescu (1963), odată cu al faunei provenind din nivele mai superioare. În cursul anului 1968, am găsit în alte lentile din aceeași zonă, noi resturi de plante, care întregesc mai bine imaginea paleobotanică și confirmă datarea.

Punctele fosilifere care conțin flora amintită se situează la nord de localitatea Mehadia, în aflorimentele deschise de Valea Mare.

În continuitate de sedimentare, urmează peste pachetul predominant detritic-grosier pe care l-am descris, o serie de depozite din ce în ce mai fine, dar tot cu caracter detritic, cunoscute sub denumirea de conglomerate de Străjuș. Ele se deosebesc destul de bine de cele subiacente, prin culoarea mai deschisă. Literatura geologică citează din ele resturi de „*Rhynchonella variabilis*”... și *Spiriferina* sp. Tot aici se mai găsesc și resturi bine cunoscute de *Todites denticulata* Krassser. Grosimea totală a acestui pachet de sedimamente, nu depășește în medie 75 m.

Peste ele urmează depozite cunoscute și sub denumirea generică de „seria neagră a Liasicului”. Este un orizont predominant pelitic, constituit aproape exclusiv din marnoargile, argile-marnoase și argile. Fin stratificate, au adesea un caracter șistos. Coloritul întregii serii este negru intens, cu aspect negru-cenușiu în zonele de alterație. Grosimea, destul de constantă, variază în jurul valorii de 400 m.

Din această serie am putut determina resturi de *Todites denticulata* (Bronniart) Krassser, din care Iliescu (1963) a descris, o mică faună cu *Platypleuroceras* cf. *brevispina* (Sow.), *Horneorhynchia* cf. *capitulata* (Tath.), *Gryphaea cymbium* Lamarck, *Clamys textorius* (Schlotheim), *Mesoteuthis rhenanus* (Oppel), *Belemnites* aff. *compressa* (Tath.), etc. Această asociație indică cu certitudine Liasicul mediu.

### Flora fosilă

Resturile de plante fosile au fost descoperite în lentile argiloase din partea superioară a conglomeratelor „bazale”, în ivirile de pe Valea Mare din vecinătatea localității Mehadia. Această floră conține următoarele specii :

*Phleopteris angustiloba* (Presl) Hirmer & Hoerhammer  
*Gutbiera angustiloba* Presl in Sternberg, 1838, Versuch, II; 116. t. 33, f. 13 a-c.  
*Phleopteris angustiloba* Hirmer & Hoerhammer, 1936, Matoniaceen, Palaeontogr.

B-81; 26; t. 6, f. 5/3.

*Phlebopteris angustiloba* Jongmans & Dijkstra, 1963, Foss. Catalogus II (Plantae), 54 (27); 2478–2480.

Specia *angustiloba* este reluată în studiu de Braun (1840), care o folosește ca genotyp pentru noua sa grupare *Andriania* pe care o figurează (Braun, 1840; t. 10, f. 1) pentru deosebirea caracterelor specifice, și mai ales generice. Piesa originală, păstrată în „Paläontologische Staats-sammlung München”, pe care o reprezentăm schematic în figura 1, posedă în partea ei bazală un nod de ramificare foarte interesant. După Hirmer & Hoerhammer (1936, p. 27), care au cercetat originalul, se poate vedea clar tipul specific de emergență sympodial-exotrofă unilaterală (de dreapta). În figura 1, succesiunea rachisurilor secundare este numerotată cu 1, 2, 3, 4. Schenk (1867) a cunoscut această situație, deoarece a prezentat o refigurare a originalului (Schenk, 1867; t. 21, f. 1); de altfel el relevă asemănările izbitoare dintre *Andriania* și *Matonia*. Numai din cauza interpretării greșite a unor „exrescențe fertile” (ludus naturae), a evitat reunirea acestor două genuri. Mai târziu, Raiborski (1891) reluând studiul unei bogate vegetații de *angustiloba*, consideră că este vorba de o specie de *Lacopteris*. Considerațiile sale sunt bazate mai ales pe cercetarea nervațiunii. Dar, prin reluarea monografică a materialelor, Hirmer & Hoerhammer (1936) demonstrează cu prisosință apartenența speciei *angustiloba* la grupul *Phlebopteris*. Această apartenență generică este dovedită pe de o parte de structura și modul de ramificare sympodial-exotrof al frunzei, și, pe de altă parte, prin cercetarea atentă a nervațiunii foliolelor și a structurii sporangialilor.

Materialul nostru, foarte bogat, este relativ bine păstrat. În cele urmăză, vom face o descriere detaliată a sa, pentru a contribui la cunoașterea unor variații locale.

Mai înainte vom insista asupra structurii frunzei. În figura 2 redăm schematic o frunză matură de *Matonia pectinata* R. Br. Se observă un rachis principal, cu poziție axial-centrală, din jurul căruia emerg sympodial-exotrof 7 rachisuri secundare. Ordinea acestora este indicată de numerele 1...7; fiecare rachis secundar cu număr mai mare ia naștere din partea bazală a rachisului secundar cu număr imediat mai mic, iar rachisul secundar 1 emerge din rachisul principal, care reprezintă o continuare a axei majore. Materialele fosile de *Ph. angustiloba*, din localitatea fosiliferă de la Mehadia, și din literatură, prezintă structuri identice în porțiunile mai mari de frunze. Aceasta arată, că specia *angustiloba* posedă unul din caracterele mai importante ale Matoniaceelor, care, circumscrisie cu multă precizie poziția lor sistematică.

Frunzele propriu-zise, pendinte de rachisurile secundare, sint de fapt frunze compuse, adinc divizate in foliole aproape individualizate. Foliolele in general distante in partea bazala cu 1-2 mm, devin tot mai dese spre vîrful frunzei. Indesirea merge pînă într-acolo, încit la foarte numeroase din exemplarele cercetate, foliolele sint lipite (dar nu sudate).

Ele sint concreseute bazal, pe o portiune de 2-3 mm. Foliolele sint lung-liniare (pl., fig. 3), pentru o latime medie de 2-5 mm. Foliolele, cele mai regulat dezvoltate se gasesc in partea mijlocie a frunzei. Catre baza si virf, lungimea lor scade treptat. In partea bazala, din cauza concresterii foliolelor - cit si a retelei de nervuri - sint deformate. In partea terminala, foliolele sint larg rotunjite; numai cele din zona apicala uneori sint ascuțite.

Elementul specific cel mai evident este nervatiunea. Nervura principală reprezintă axul de simetrie bilateral. Nervurile secundare sint ramificate, după un tip aparte. Ramificația proximală este (ca și nervura principală) puternic dezvoltată; ea are o poziție aproape perfect perpendiculară pe ax. În partea ei finală, nervura secundară proximală posedă de cele mai multe ori un apendice anadrom scurt. Cimpul dintre două elemente proximale este împărțit în două prin ramificarea distală a nervurii secundare, care are o poziție diagonală, fiind așezată sub un unghi de 45°. Elementul distal este bifid in sensul ramificării sale dichotome.

În afara de poziția perfect perpendiculară a elementului secundar proximal, mai este și o altă particularitate morfologică ce caracterizează specia *angustiloba*. Acest element, cit și nervura principală, sint foarte adinc incise in foliolă, in timp ce elementul distal trece aproape neobservat. Aceasta are ca urmare faptul că foliolele sint (aparent) divizate in două șiruri de patrătele foarte regulate. La frunzele cu foliole foarte apropiate, se ajunge la aspectul unei rețele patratice aproape perfecte.

Material cercetat<sup>3</sup>: IGR - P.21.585; P.21.586 (sp.); P. 21.587; P. 21.588; P. 21.589 (sp.); P. 21.590; P. 21.594; P. 21.595; P. 21.596; P. 21.597; P. 21.598; P. 21.601; P. 21.603 (sp.); P. 21.604; P. 21.605.

### Răspîndire

Zona cu *Lepidopteris*: Scandinavia - Palsjö, Munka Tärgop.

Zona cu *Thaumatopteris*: Groenlanda - Astarte River, Cap. Stewart

<sup>3</sup> Aceste numere corespund inventarului „Collecției” Institutului Geologic - secția Paleontologie, București.

- Behind, Gurreholm Bjaerge ; Scandinavia — Sofiero, Höör, Rödalsberg ; Bavaria — (Frankonia) Veitlahn, Strullendorf, Rheindorf, Theta, Forst, Eckersdorf, Erlangen, Rollhofen.
- Rhaeto-Liasic (Grenzschichten) : Scandinavia — Bornholm (Nebbe, Riesback) ; Polonia — Gromadzicice, Ostrowicze.
- Liasic neorizontat : Italia — Perledo (Lago di Como) ; Scandinavia — Stabbarp ; U.R.S.S. — Kazahstan (?) .
- Jurasic superior (Grenzschichten) : Tonkin — Kataji (Shikoku) ; Japonia (?)

*Todites denticulata* (Bronniart) Krässer

- Pecopteris denticulata* Bronniart, 1828, Prodrome, 57.
- Cladophlebius denticulata* Nathorst, 1876, Sveriges Flora form Palsjö, Kgl. Sv. Vet. Akad. Handl. 14/3, 19.
- Todites denticulata* Krässer, 1922, Foss. Fl. Unterlias Sukkzess. Österreich-Ung., SE. Akad. Wiss. Wien (1) 130, 355.
- Cladophlebius denticulata* Jongmans & Dijkstra, 1959, Foss. Catalogus II (Plantae), 36 (9), 660—677.
- Todites denticulatus* Jongmans & Dijkstra, 1965, Ibidem, 63 (36), 3500.

Problema nomenclatorică a formelor descrise sub acest nume, este foarte confuză și complexă. În afară de faptul că literatura americană pare a cuprinde sub această denumire forme aparte, și celealte lucrări nu sint prea clare, o discutare critică a speciei și mai ales a sinonimiei lipsește în prezent.

Dacă se pornește de la descrierile tip date de Bronniart (1828) și mai apoi de Marrs (1931), credem că restul nostru se poate insera cu destul de multă certitudine în sfera *denticulata*. El este constituit din fragmentul unei frunze compuse și din mai multe foliole disperse. Foliolele în general sunt puțin dințate. Insertia destul de clară, se face subopusă pînă la altern. Nervățiunea apare bine în relief — mai ales la nervurile principale.

**Răspindire.** Din cauza neclarităților ce privesc ansamblul nomenclatoric, credem că nu are nici o utilitate înșiruirea localităților de unde a fost semnalată specia, fără o revizuire prealabilă, critică, a acestor semnalări.

Material cercetat : IGR — P. 21.602.

*Marattiopsis hoerensis* (Schimper) Thomas

- Angiopteridium hoerense* Schimper, 1869, Traité 1; 604; t. 38, f. 7.
- Marattiopsis hoerensis* Thomas, 1913, Foss. flora Cleveland/Yorkshire, 1, Q.J.G.S. 69; 229.



*Marattiopsis hoerensis* Jongmanns & Dijkstra, 1960, Foss. Catalogus II (Plantae), 44 (17); 1535.

Frunza are o simetrie bilaterală pronunțată; de aceea exemplarele sterile, cind sunt păstrate fragmentar, permit confuzii cu aspectul Taeniopteroid comun multor tipuri vegetale. În cele mai multe cazuri însă, resturile sunt fertile, iar aspectul caracteristic al sinangilor permite cu certitudine afilierea lor la Marattiale.

Dimensiunile frunzelor variază destul de mult: lungimea între 7 și 25 cm, lățimea mai mult sau mai puțin proporțional, între 2 și 4 cm. Partea lor bazală este ușor cordiformă. Peștiolul foarte scurt. Partea terminală este ascuțit-lanceolată cu apexul acuminat.

Frunzele, au o nervură mediană longitudinală extrem de dezvoltată: lățimea ei variază obișnuit între 3 și 7 mm. Nervurile secundare, au o poziție perfect perpendiculară (85° - 90°) pe cea principală; ele sunt neramificate. Poziția lor pare a fi întotdeauna de tip opus. Desimnează nervurilor, variază foarte puțin (10/1 cm).

Partea cea mai caracteristică sunt sinangiile, așezate în porțiunea periferică a lamei. Acestea sunt cîte unul la fiecare nervură, căreia îi și „acoperă” partea finală. Forma sinangilor este oval-alungită, cu un capăt axial ușor ascuțit. Marginal, ele sunt ușor aplatizate (fig. 4). Lungimea sinangilor variază proporțional cu aceea a nervurilor secundare (deci 1/2 din lățimea foliolei) între 1/4...1/8 (adică între 2,5...7 mm).

Aceste sinangii conțin între 40 și 60 sporangi izolați. Sporii au fost figurați de Harris (1931) și Rogalska (1956), iar Conper (1958) a găsit spori disperși foarte asemănători, pe care i-a descris ca *Marattiosporites scabratus*.

Noi nu posedăm decât un fragment de frunză, provenind din zona centrală, care are un stadiu de conservare deosebit de bun.

#### Răspindire :

Zona cu *Lepidopteris*: Groenlanda—Dinosaur, River, Cape Stewart; Scandinavia—Sofiero, Hör.

Zona cu *Thaumatopteris*: Groenlanda—Astarte River.

Liasic neorizontat: Scandinavia—Skania; Japonia; Polonia—Opoczno. Mezozoic (?): U.R.S.S.—Fergansk.

Material cercetat: I.G.R. — P. 21.591.

#### *Williamsonia gigas* (Williamson) Carruthers

*Zamia gigas* Williamson, 1870, Contrib. Zamia gigas — London Trans. Linn. Soc., 26/4; 663; t. 52, 53.



*Williamsonia gigas* Carruthers, 1870, Cycadoid. Stems. Britain — Trans. Linn. Soc., 28/4; 693.

Sătăcă denumire, se înțeleg flori sau fragmente de flori femele. Interpretarea lui Williamson (1870), după care ar fi vorba de flori masculine, este eronată; la fel și încercarea să de reconstituire.

În cele mai multe cazuri se găsesc conservați bulbii florali (*sensu* = fructificațiile propriu-zise), involucrul de frunze din jurul acestora, sau ambele. Nathorst (1909) figurează un splendid involucru, și dă în același timp o foarte reușită încercare de reconstituire.

Fragmentele noastre sunt formate din două impresiuni parțiale de involucru floral, cu mai multe frunze (sau solzi) concrescute. El corespunde, strictu *sensu*, cu ceea ce s-a descris în literatura mai veche drept „lenticular carpelary disk”. Partea bazală nu s-a conservat. În schimb zona coroanei este bine păstrată, permitând observarea detaliilor morfologice caracteristice: solzi-frunzule concrescute numai pe cca 1/2 din lungimea lor, terminații apicale serate, recurbarea zonei terminale a coroanei.

### Răspindire :

Liasic inferior: India—Golapilli (Ellore), South Godavari, Salpura Bassin.

Jurasic superior (Oolith): Anglia—Yorkshire, Gristhorpe, Bay, Scarborough, Runswick Bay, Saltwick, Haiburn Wyke, Whitby.

Material cercetat: IGR — P. 21.590.

### *Nilssonia polymorpha* Schenk

*Nilssonia polymorpha* Schenk, 1867, Grenzschichten, 127; t. 29; t. 30, f. 1—5 (2—4 ?!); t. 31, f. 1 (?!).

*Nilssonia polymorpha* Jongmans & Dijkstra, 1961, Foss. Catalogus II (Plantae), 48 (21); 1887 1889.

Înăși denumirea specifică dată de Schenk, indică multitudinea aspectelor sub care se prezintă frunzele. Nathorst (1876) și mai apoi Harris (1932) încearcă, pe baza unor materiale foarte bogate, să dea indicații mai complete asupra variabilității morfologice. Numerosi autori au încercat să sistematizeze materialul, creând o multitudine de varietăți și specii noi: *brevis* Nathorst, *cretacea* Penhallow, *regularis* Kryzhtofovici & Prinada, *compta* (Phillips) Goepert, *incisosserata* Harris, *minor* Harris, *obtusa* (Nathorst) Harris, *tenuinervis* Nathorst, etc. Aceasta însă nu a rezolvat problema în sine; numai o prelucrare monografică a întregului material, devenit cunoscut prin literatură, ar putea eventual elucida



îndreptățirea unei divideri a valorii specifice a grupului *polymorpha*.

Exemplarele noastre sunt constituite din mai multe fragmente de frunze. Este vorba de forme mai mărișoare, la care lățimea unei jumătăți de lamină variază între 35...45 m. Marginea foliolei este în toate cazurile adinc serată. Nervățiunea e constituită din elemente bine dezvoltate, în marea lor majoritate unitare, nedivizate. Partea mediană a frunzei are aspectul caracteristic. Cele două jumătăți ale lamei sunt fixate „pe” nervura centrală, foarte proeminentă pe fața inferioară a frunzei.

**Răspindire.** Din cauza nesiguranței ce există în privința delimitării precise a sferei specifice, este utilă o privire de ansamblu asupra principalelor localități de unde au fost amintite asemenea resturi.

Triasic superior : Mexico—Sonora.

Zona cu *Lepidopteris* : Groenlanda—Vardekläft, Ryder River, Astarte River, Cape Stewart, Neill Cliff. Scandinavia—Palsjö, Bjuf, Sofiero, Högenäs, Hör; Germania—Steinberg (Nürtingen); Theta, Oberwaitz (Baireuth); Koburg; Franța (Infracias) — Champeaux, Hermeau, Sablières Duchateau; Tonkin—Hon Gac, Ha Tom, Jauré-quiberry, Ké Bao; Honduras—San Juancito.

Rhaeto-Liasic : Scandinavia-Bornholm.

Zona cu *Thaumatopteris* : Groenlanda—Cape Steward, Wardeklöft, Astarte River, Dinosaur Bed, Neill Cliff; Germania—Hinterholz, Pechgraben, Hallerstadt, Quedlimburg; Alaska—Upper Matanuska Valley.

Liasic neorizontat : Japonia—Saragai, Mominoki, Yamaguti, Aso.

Jurasic mediu (Bathonian) : URSS—Kamenka.

Jurasic : Persia—Hal (Kashwin).

Asia Centrală (?) — Zeravshan River; China — W—Hupeh, Pais-hikang.

Mezozoic? : Tasmania—Jerusalem, Lord's Hill.

Material cercetat : IGR — P. 21.600; P. 21.604.

#### *Ginkgoites marginatus* (Nathorst) Florin

*Boteria marginata* Nathorst, 1878, Sveriges Flora 2 — Kgl. Sv. Vet. Akad. Handl. 16/17; 51; t. 8, f. 12, 13, 14.

*Ginkgoites marginatus* Florin, 1936, Gynkophyten Franz-Joseph Ld, 1 — Palaeontogr. B, 81; 107.

Frunza, compusă, este constituită după tipul cunoscut de la toate Ginkgoitele. Frunzele, cerate, au un petiol comun alungit pînă la lung. Foliolele sunt dispuse în evantai formînd un segment, triunghiular, de cerc.

Ele sunt nedivizate, au marginea dreaptă. Nervatiunea constă din elemente egale, de obicei ramificate dichotom, lungi, în zona apicală ușor recurbate în jos.

Fragmentul nostru are conservate 6 frunze de acest tip. Numărul de nervuri este de cca 8–10. Lățimea foliolelor nu depășește 8 mm în partea mediană.

#### Răspindire :

Zona cu *Lepidopteris* : Groenlanda — Cape Stewart, Vardekloeft, Neill Cliff; Scandinavia — Stabbarp, Skromberga, Billesholm.

Zona cu *Thaumatopteris* : Groenlanda — Astarte River, Stoorgard; Scandinavia — Hälsingborg, Hör, Sofiero, Dompäng; Mandchuria — Huo Shih Ling.

Material cercetat : IGR — P. 21.590.

#### *Podozamites* sp.

Restul pe care-l posedăm, se asemănă foarte bine cu specia *distans*. Deoarece nu s-a păstrat decât o singură frunză (fig. 5), ni s-a părut că nu ne putem asuma decât o afiliere generică. Cu toate acestea, este o piesă frumoasă, bine păstrată, și mai ales interesantă.

Material cercetat : IGR — P. 21.594.

#### *Stachyotaxus elegans* Nathorst

*Stachyotaxus elegans* Nathorst, 1908, *Palissya*, *Stachyotaxus*, *Paleotaxus*, (Paläohot. Mitt. 7) Kgl. Sv. Vet. Akad. Handl., 43/8; 11, t.2, f. 1–27; t. 3, f. 10–12.

Unele resturi dubioase, de la Stabbarp, au fost descrise de Agardh sub numele de *Cyparissidium septentrionale*. Pe baza materialului descoperit la Bjurf, Nathorst studiază în detaliu genul *Stachyotaxus*; în această ocazie descrie specia *elegans*, bazată atât pe resturi de fructificații, cât și pe frunzele sterile.

Exemplarele noastre sunt constituite numai din rămurele cu frunze lungi, aciculare, dimorphe, așezate aproape ca niște solzișori alungiți. Frunzele sunt lipite de petiol. Lungimea lor variază în medie între 7–12 mm. Nervura mediană este foarte pronunțată.

Este de remarcat că exemplarele noastre se deosebesc de materialul original numai foarte puțin prin distanțarea mai pronunțată a frunzelor.

În ocazia discutării florelor liasice din zona Svinia—Svinecea Mare (Semaka, 1967) am făcut considerații mai largi asupra speciilor de *Stachyotaxus*, aşa încit nu este util să revenim asupra lor, decât după

găsirea unui material mult mai bogat, care să permită o reconsiderare critică.

### Răspândire :

Zona cu *Lepidopteris* : Groenlanda — Verdekloeft, Cape Stewart, Cape Hope, A.o.; Scandinavia — Stabbarp, Ejuf.

Zona cu *Thaumatopteris* : Groenlanda — Astarte River.

Material cercetat : IGR — P. 21.591; P. 21.592.

### *Stachyotaxus* sp.

Unele resturi (IGR — P. 20.941; P. 21.592) din cauza modului defec-  
tuos de conservare, nu permit o determinare specifică. Ele aparțin cu  
siguranță sferei *Stachyotaxaceelor* l.s., consemnarea lor ca atare este inter-  
esantă, deoarece întregul grup generic are o răspândire strânsă pe verti-  
cală, fiind limitat aproape exclusiv la zona cu *Lepidopteris*.

### *Varia indeterminabilia*

În afară de materialul descris mai sus, posedăm, din același punet  
fosilifer și o serie de piese mai puțin bine conservate, a căror determinare  
nu se poate face. Totuși, pentru a completa oarecum asociația floristică,  
credem că este utilă o enumerare a lor, așa cum se prezintă.

?*Sagenopteris*? — IGR — P. 21.592; P. 21.599.

?*Taeniopterus*? — IGR — P. 21.589.

?*Zamites*? — IGR — P. 21.587; P. 21.594.

?*Nilssonia* aut *Pterophyllum*? — IGR — P. 21.586; P. 21.603.

?*Ginkgoites* div. sp.? — IGR — P. 21.588; P. 21.595.

### Recapitulare

Din cele expuse, rezultă că flora „stratelor cu *angustiloba*” conține  
următoarea asociație floristică :

Pteridophyta : Matoniaceae = *Phlebopteris angustiloba*

Osmundaceae = *Todites denticulata*

Marattiaceae = *Marattiopsis hoerensis*

Gymnosperma : Benettiales = *Williamsonia gigas*

Nilssoniales = *Nilssonia polymorpha*

Ginkgophyta = *Ginkgoites marginatus*

Podozamitales = *Podozamites* sp.

Coniferales = *Stachyotaxus elegans*  
*Stachyotaxus* sp.  
 cit și cîteva tipuri greu determinabile.

### Concluzii

Cu privire la vîrstă depozitelor cu „*angustiloba*” cît și a condițiilor paleoecologice care au dominat în timpul sedimentării lor, au fost deja expuse în parte concluzii cu ocazia inventarierii preliminare a acestei flore (Ilieșcu, Semaka, 1962).

1. *Componența florei*. Față de cele trei specii considerate ca „sigure” la investigarea preliminară din 1962, și însemnate cu + în lista de mai jos, acum putem prezenta o asociație mai completă și mai informativă (variația în timp este cea mai interesantă) :

|                                  |  |
|----------------------------------|--|
| + <i>Phleopteris angustiloba</i> | = Rhaetian. Liasic l.s. (Jurasic sup.) |
| <i>Todites denticulata</i>       | = Rhaetian. Liasic l.s.                |
| + <i>Marattiopsis hoerensis</i>  | = Rhaetian. Liasic l.s. (?Mezozoic)    |
| <i>Williamsonia gigas</i>        | = Liasic inf... Oolith.                |
| <i>Nilssonia polymorpha</i>      | = Rhaetian... Liasic l.s. (?Mezozoic)  |
| <i>Ginkgoites marginatus</i>     | = Rhaetian. Liasic inf.                |
| <i>Podozamites</i> sp.           | —                                      |
| + <i>Stachyotaxus elegans</i>    | = Rhaetian. Liasic inf.                |
| <i>Stachyotaxus</i> sp.          | —                                      |

2. *Vîrstă florei*. Cum rezultă din enumerarea de mai sus, avem de-a face cu o asociație tipică pentru zona de trecere dintre Rhaetian și Liasic inferior, în sensul definit de Gotha în drept „Flora der Grenzschichten”. Vîrsta rhaeto-liasică (cu accentul pus pe Rhaetian de către *Phleopteris angustiloba* + *Stachyotaxus elegans*), este întărită și de apariția colaterală a speciei *Terebratula pyriformis*, preponderentă în Infraliasic.

3. *Condițiile paleoecologice*, care au facilitat existența acestei asociații, indică un climat cu caracter temperat, de tip umed, cu o abundență relativ ridicată de precipitații (Mattoniaceae). Rare oscilații termice negative (Coniferales) intrerup monotonia climatului temperat, contribuind la o variantă mai puțin excesivă a acestuia.

## BIBLIOGRAFIE

- Braun Fr. (1840) Verzeichniss der in der Kreis-Naturalien-Sammlung zu Bayreuth befindlichen Petrefacten. Leipzig.
- Bronniart A. (1828) Prodrome d'une histoire des végétaux fossiles. Paris.
- Carruthers W. (1870) On fossil cycadean stems from the secondary rocks of Britain. *Trans. Linn. Soc.*, 26/4, London.
- Couper R. A. (1958) British Mesozoic microspores and pollen grains. A systematic and stratigraphic study. *Palaeontogr. B*, 103, Stuttgart.
- Florin R. (1936) Die fossilen Ginkgophyten von Franz-Joseph-Land, nebst Erörterungen über vermeintliche Cordaitales mesozoischen Alters, 1: Spezieller Teil. *Palaeontogr. B*, 81, Stuttgart.
- Gothan W. (1914) Die unterliassische (rhätische) Flora der Umgegend von Nürnberg. *Abh. Naturw. Ges. Nürnberg*, 19, Nürnberg.
- Harris T. M. (1931) The fossil flora of Scoresby Sound, East Greenland, 1: Cryptogams exclusive Lycopodiiales. *Medd. Grænland*, 85/2, Kobenhavn.
- (1932) The fossil of Scoresby Sound, East Greenland, 2: Description of Seed Plants incertae sedis together with a discussion of certain Cycadophyte cuticles. *Medd. Grænland*, 85/3, Kobenhavn.
- Hirmer M., Hörrhammer L. (1936) Morphologie, Systematik und geographische Verbreitung der fossilen und rezenten Matoniaceen. *Palaeontographica B* 81, 1–70, 7 Abb, Textbeilag A–D, Tab. 1–10, Stuttgart.
- Ilieșcu O. (1963) Contributions à la connaissance des dépôts permiens et liasiques de Mehadia – Région de Banat. *V-e Congr. Assoe., géol. Carpațo-Bulcan. Commun.*, 3/1; 159–176, 10, 1 tab., București.
- Jongmans W. J., Dijkstra S. J. (1954–1967) Fossilium catalogus, 2: Plantae. Teil 21 (1)... 67 (40). S'Gravenhage.
- Krässer Fr. (1922) Zur Kenntnis einiger fossiler Floren des unteren Lias der Sukzessionsstaaten von Österreich-Ungarn. - *S.B. Akad. Wiss. Math. Naturw. Kl. (I)*, 130, Wien.
- Nathorst A. G. (1876) Växter från rätiska formationen vid Palsjö i Skåne. *Kgl. Sv. Vet. Akad. Handl.*, 14/3, Stockholm.
- (1878) Bidrag till Sveriges fossila flora, 2: Floran vid Höganäs och Helsingborg. *Kgl. Sv. Vet. Akad. Handl.*, 16/7, Stockholm.
- (1908) Paläobotanische Mitteilungen, 7: Über *Dalissya*, *Stachyotaxus* und *Palacotaxus*. *Kgl. Sv. Vet. Akad. Handl.*, 43/8, Stockholm.
- (1909) Paläobotanische Mitteilungen, 8: Über *Williamsonia*, *Wiclandia*, *Cycadocephalus* und *Weltrichia*. *Kgl. Sv. Vet. Akad. Handl.*, 45/4, Stockholm.
- Raciborski M. (1894) Flora kopalna ogniotrowich glinek Krakowskich, I. — *Pamięt. m. — prz. Akad. Um. Kraków*, 18. Kraków.
- Rogalska M. (1956) Spore and pollen analysis of the Liassic deposits of the Mroczków — Rozwady area in the Opoczno district. *Bial. Inst. Geol.*, 104/5, Warszawa.
- Schenk A. (1867) Die fossile Flora der Grenzschichten des Keupers und Lias Frankens-Wiesbaden.
- Schimper W. Ph. (1869–1874) Traité de paléontologie végétale. Paris.
- Semaka Al., Iliescu O. (1962) Contributions à la connaissance du Rhéto-Lias dans les environs de Mehadia. *D.S. Com. Geol.*, XLVIII, București.

- Giuleşcu R. (1965) Flora fossilis rumana, Catalogus genera et species plantarum. *Palaeontographica B*, 116, 55—122, 1 Kte, Stuttgart.
- Sternberg C. (1820—1838) Versuch einer geognostische-botanischen Darstellung der Flora der Vorwelt. Leipzig.
- Thomas H. H. (1918) The fossil flora of the Cleveland District. *Q.J.G.S.*, 59, London.
- Williamson W. G. (1870) Contributions towards the history of *Zamia gigas* Lindl. & Hutt. *Trans. Linn. Soc.*, 26/4, London.

## FLORE RHÉTO-LIASIQUE DANS LA ZONE DE MEHADIA (Résumé)

L'examen de la flore décrite et des données acquises en terrain conduisent aux conclusions suivantes, concernant l'association végétale des couches à *angustiloba*:

1. *Composition de la flore.* Par rapport aux trois espèces considérées comme „sûres“ lors de l'investigation préliminaire de 1962, affectées par + dans la liste ci-dessous, maintenant nous sommes à même de présenter une association plus complète et plus éloquante. C'est surtout la variation en temps des espèces qui est très intéressante:

|   |                                |   |
|---|--------------------------------|---|
| - | <i>Phleopteris angustiloba</i> | = Rhétien... Lias ls. (Jurassique sup.) |
|   | <i>Todites denticulata</i>     | = Rhétien... Lias ls.                   |
| + | <i>Marattiopsis hoerensis</i>  | = Rhétien... Lias ls. (? Mésozoïque)    |
|   | <i>Williamsonia gigas</i>      | = Lias inférieur... Oolith.             |
|   | <i>Nilssonia polymorpha</i>    | = Rhétien... Lias ls. (?Mésozoïque)     |
|   | <i>Ginkgoites marginatus</i>   | = Rhétien... Lias inf.                  |
|   | <i>Podezamites</i> sp.         | —                                       |
| + | <i>Stachyolaxus elegans</i>    | = Rhétien... Lias inf.                  |
|   | <i>Stachyolaxus</i> sp.        | —                                       |

2. *L'âge de la flore.* Il résulte de l'énumération ci-dessus que nous sommes en présence d'une association typique quant à la zone de passage du Rhétien au Lias inférieur, dans le sens défini déjà par Gotthahn comme „Flora der Grenzschichten“. L'âge rhéto-liasique (le Rhétien l'emportant sur le Lias, vu la présence de *Phleopteris angustiloba* + *Stachyolaxus elegans*) est soutenu d'ailleurs aussi par l'apparition collatérale de l'espèce *Terebratula pyriformis*, prépondérante au cours de l'Infracrias.

3. *Conditions paléocologiques.* Elles ont facilité l'existence de cette association, trahissant un climat à caractère tempéré, de type humide, avec des précipitations en quantités relativement élevées (Mattoniacées). De rares oscillations thermiques négatives (Coniférées) interrompent la monotonie du climat tempéré lui prêtant un caractère moins excessif.

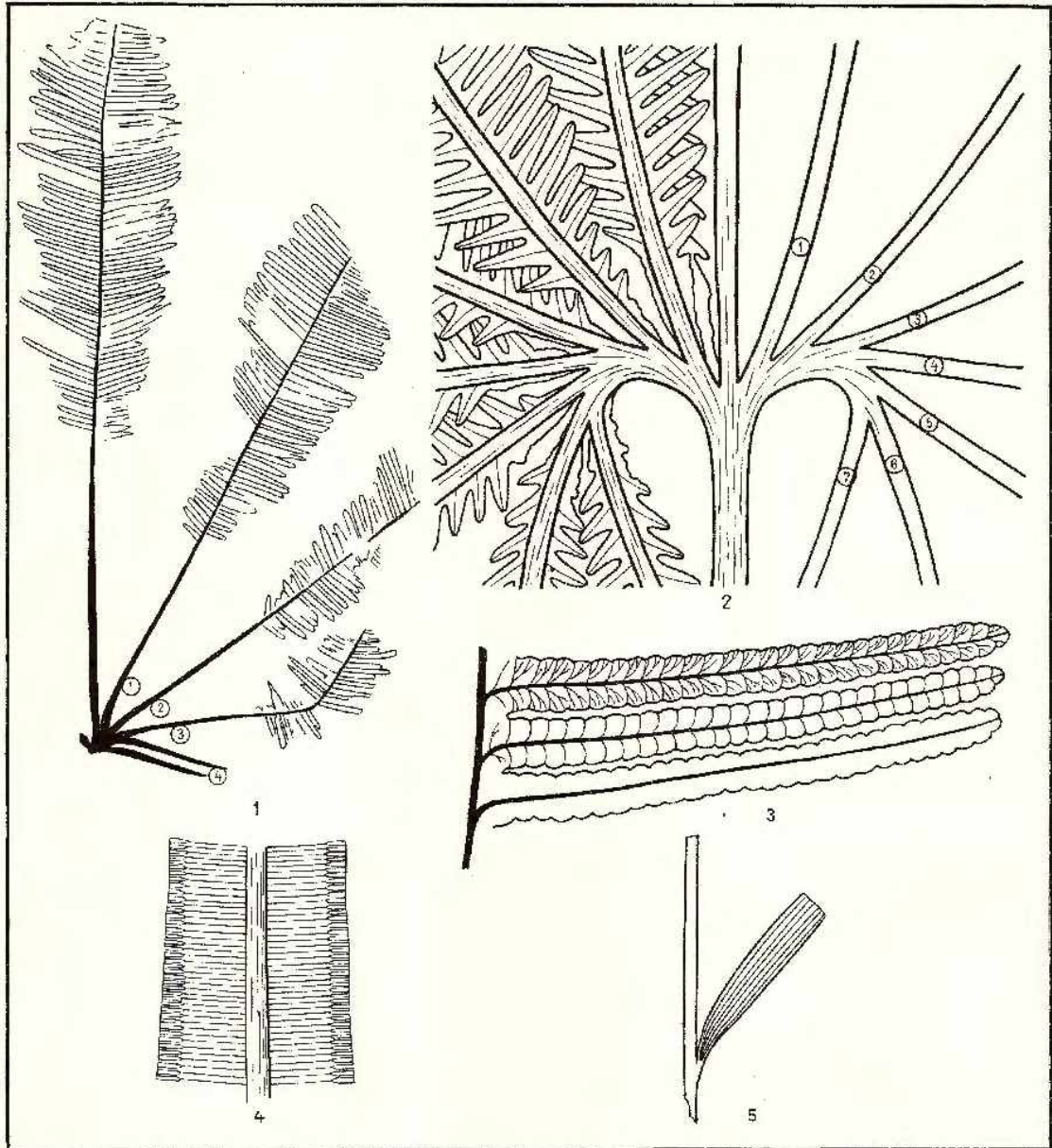
4. *L'association floristique* prise en considération provient du SE du Banat, d'une région située au N de Mehadia, notamment des affleurements de Valea Mare.

### EXPLICATIA PLANSEI

- Fig. 1. — *Phlebopteris angustiloba* (Presl) Hirmer & Hoerhammer Orig.: Braun, 1840; t. 10, f. 1. Ex Paläont. Staatssamml. München.  $\times \frac{1}{2}$ .
- Fig. 2. — *Matania pectinata* It. Braun.  $\times \frac{2}{3}$ .
- Fig. 3. — *Phlebopteris angustiloba* (Presl) Hirmer & Hoerhammer. Schematizat  $\times 1$ .
- Fig. 4. — *Maralliosis hoerensis* (Schimper) Thomas Ex IGR - P. 21.591  $\times 1$ .
- Fig. 5. — *Podocamites* sp. Ex IGR - P. 21.594  $\times 1$ .







### 3. PALEONTOLOGIE

#### PALEOBOTANICĂ

## CONTRIBUȚII LA CUNOAȘTEREA FLOREI SARMAȚIENE DE LA TĂNĂȘEȘTI-RIMESTI (VILCEA)<sup>1</sup>

DE

NICOLAE ȚICLEANG<sup>2</sup>

#### Abstract

Contributions to the Knowledge of the Sarmatian Flora within the Tânășești-Rimesti Area (Vilcea). This paper deals with fossil plants to be found nearby the locality of Tânășești. The deposits bearing plants are Bessarabian-Kersonian in age. Three new forms for the fossil flora of Oltenia and four new forms for the region under study have been pointed out. The analysis of the paleofloral list allowed to ascertain the fact that in the sedimentation period of the deposits with plants, the climate resembled the present-day Mediterranean one.

#### Considerații generale

Printre primele determinări de floră fosilă din depozitele terțiare ale Olteniei sînt și cele făcute de Marion și Laurent (1898), care au prelucrat colecția trimisă de Gr. Ștefănescu lui Saporta. Ulterior Barbu (1933, 1942) s-a ocupat în amănunt de studiul plantelor fosile de la Timișani și Slătioara.

În anul 1951 apare teza de doctorat a lui Barbu intitulată „Flora fosilă din Terțiul Olteniei”. Această lucrare sintetizează toate cercetările paleobotanice efectuate pînă în acel moment în Oltenia, fiind astfel o bază de plecare indispensabilă oricărui studiu paleofloristic din această parte a țării.

Printre punctele fosilifere studiate în cuprinsul luerării amintite se află și cel de pe pîrul Rimestilor, din apropiere de satul Gura Rîului,

<sup>1</sup> Comunicare în ședință din 18 aprilie 1969.

<sup>2</sup> Întreprinderea Geologică de Prospecții, Șos. Kiseleff nr. 2, București.



de unde sunt cotate tipurile: *Salix longa* A. L. Br., *S. varians* Goepf., *Juglans acuminata* A. L. Br., *Pterocarya* sp. (aff. *P. caucasiaca* C. A. Mey.), *Quercus nerifolia* A. L. Br., *Castanea paleovesca* P. A. O. L., *Ulmus braunii* Heer, *Laurus primigenia* Eng., *Cinnamomum polymorphum* A. L. Br., *Persea braunii* Heer, *Supindus pythii* Eng., *Fraxinus* sp.

Materialul studiat în prezență lucrează provine dintr-un punct fosilifer situat pe un affluent drept al râului Rămăștilor, la aproximativ 600 m nord de satul Tănășești. Punctul fosilifer a fost descoperit de P. Dumitriecă.

Impresiunile foliare sunt cuprinse într-un strat de gresie dură, care stă peste un pachet de pietrișuri slab cimentate și suportă o alternanță de marne cenușii cu marne gălbui, bine stratificate.

Vîrsta depozitelor în care este cantonat punctul fosilifer este considerată de Zberea et al.<sup>3</sup>, ca fiind bessarabian-kersoniană. Autorii afirmă acest lucru bazându-se pe paralelizarea depozitelor de aici cu cele din regiuni apropiate, care conțin faună. Pentru vîrsta bessarabiană este cotate specia *Cryptomactra pesanseris* Andr., întîlnită la Costești și Bistrița, iar pentru Kersonian formele: *Mactra bulgarica* (Toul.) M. baltica (Makovicei), *M. crassicolis* Sinzow., recoltate de la Cocărești. Datorită identității litologice a celor două subdiviziuni ale Sarmatianului, autorii nu au putut face separarea lor cartografică în această zonă.

### Descrierea formelor

#### *Libocedrus salicornoides* (Eng.) Heer

(Fig. a, b)

În colecția noastră se găsesc patru articole de ramuri care au formă alungită, lățimea maximă măsurându-se în treimică superioară. Baza este concavă.

Forma articolelor de ramuri, dispoziția nervurilor și a striurilor este identică cu cea a formelor descrise și figurate de Engelhardt (1885, pl. I, fig. 27–30) și Giuleșcu (1957, p. 21, pl. I, fig. 17, 18).

Corespondentul actual este probabil *Libocedrus decurrens* Torr., cunoscut în vestul Americii de Nord la Cascade Mountains și Sierra Nevada.

Nou pentru flora fosilă a Olteniei.

<sup>3</sup> A. Zberea et al. Raport de proiecții geologice pentru cărbuni în regiunea dintre valea Oltului și valea Otășaului. 1963. Arh. Intreprinderea Geologică de Prospecții, București.



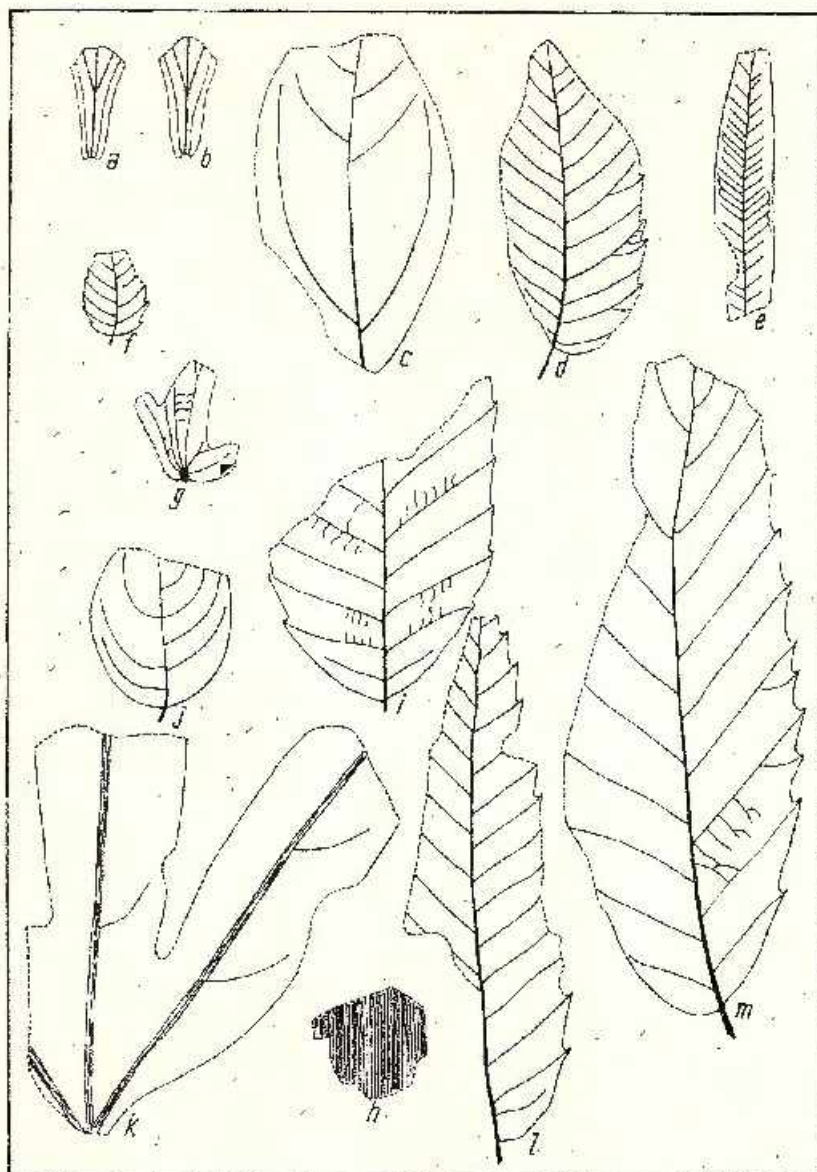


Fig. — a, b, *Libocedrus salicinioides* (Ung.) Heer; c, *Cinnamomophyllum polymorphum* (Al. Br.) Kräusel et Weyland; d, *Ulmus braunii* Heer; e, *Nerium ex gr. oleander* L.; f, *Zelkova ungeri* Kov.; g, *Carpinus ex gr. grandis* Ung.; h, *Phragmites oenningensis* Al. Br.; i, *Fagus ex gr. latissima* Andreanszky; j, *Colutea salteri* Heer; k, l, *Ficus carica* L.; m, *Castanea atavia* Ung.

*Cinnamomophyllum polymorphum* (A. L. Br.) Kräuse, Weyland  
(Fig., c)

Această formă a mai fost citată la Rimești de Barbu (1954, p. 49, pl. X, fig. 7, 8), exemplarele noastre fiind identice cu cele descrise și figurate de acest autor.

Reprezentantul actual este considerat *Cinnamomum camphora* Ness. et Ebn. din China și Japonia.

*Carpinus ex gr. grandis* Ung.  
(Fig., d)

Avgem impresiunea unei bracte care aparține probabil acestui tip. Bractea este trilobată și este asemănătoare cu cea descrisă și figurată de Berger (1954, p. 76, fig. 1). Exemplarul nostru se deosebește de *Carpinus pyramidalis* Gaud. prin forma mai robustă și asimetria accentuată a lobilor laterali.

Gen nou pentru flora fosilă de la Tânășesti-Rimești.

*Fagus ex gr. latissima* Andreanszky  
(Fig., i)

Impresiunea atribuită acestui tip, reprezintă jumătatea inferioară a unei frunze a cărei formă a fost probabil eliptică. Marginea frunzei are în dreptul nervurilor secundare mici dințișori triunghiulari. Nervurile secundare se curbează ușor, înainte de a pătrunde în dințișori. Nervurile secundare se desprind din nervura principală după un unghi de 55°—70°.

Având în vedere lățimea de 35 mm bănuim că lungimea frunzei a depășit 70 mm, iar numărul nervurilor secundare a fost de 11—14 perechi.

Forma noastră are unghiul de inserție al nervurilor secundare mai mare decât *F. attenuata* Goepf. (aff. *feruginea* Ait.) descris și figurat de Pop (1936, p. 54, pl. XIII, fig. 2—8) și *F. aff. feruginea* citat de Barbu (1954, p. 38, pl. VI, fig. 1—8).

În literatură, unghiuri de inserție așa de mari sunt citate la *F. paleojaponica* Andreanszky (1959, p. 96) de care exemplarul nostru se deosebește prin forma bazei și numărul mic de nervuri secundare.

O formă cu care are cele mai multe caractere comune este *F. latissima* Andreanszky (1959, p. 96, fig. 80 și pl. XXV, fig. 7) din depozitele sarmatiene de la Balaton.

Gen nou pentru flora fosilă de la Tânășesti-Rimești.

*Castanea atavia* Ung.

(Fig., i, my)

Comparind impresiunile foliare de castan din colecția noastră cu frunzele castanilor actuali din Herbarul General al Institutului Botanic din București am constatat că: asimetria bazei, bifurcarea nervurilor secundare, dinții puternici cu sinusuri rotunjite sunt caractere ce apropiu formele noastre de *C. sativa* Mill. (*C. vesca* Gaertn.).

Dintre formele fosile, exemplarele noastre se asemănă cel mai mult cu *C. atavia* descris și figurat de Kristofovici (1965, p. 53, pl. XIII, fig. 5 și pl. XIV, fig. 5).

Acest tip a mai fost citat și de Barbu (1954, p. 40, pl. VII, fig. 8, 10—11), sub numele de *C. paleovesca* Paol.

Reprezentantul actual este specia mediteraneană *C. sativa* Mill. răspândită în Europa sudică, Algeria, Asia Mică, Caucaz și Persia de nord.

? *Ficus carica* L.

(Fig., k)

Impresiunea unei frunze trilobate, cu lobii adinci este asemănătoare frunzelor de smochin actual. Marginea impresiunii, cel puțin în partea bazală și în cea inferioară a lobilor, este întreagă. Nervurile principale în număr de trei sunt late și striate longitudinal. Din nervurile principale se desprind sub unghiuri de  $40^{\circ}$  —  $60^{\circ}$  nervuri secundare din care s-au păstrat doar trei. Impresiunea este prost conservată, ceea ce face nesigură determinarea.

*Ficus carica* este răspândit în regiunea mediteraneană, Asia de SW, din Caucaz și pînă în India.

*Ulmus braunii* Heer

(Fig., d)

Impresiunile existente în colecția noastră conservă într-un singur loc al marginii caracterul tipic de *Ulmus*: ultima nervură terțiară desprinsă dintr-o nervură secundară se termină într-un sinus.

Exemplarul nostru se asemănă cu cel figurat de Iakubovskaja (1955, pl. X, fig. 4).

*Ulmus braunii* a mai fost citat la Rîmești de Barbu (1954, p. 41, pl. VIII, fig. 1, 2), formele figurate acolo se deosebesc prea puțin de exemplarul nostru.

Corespondentul actual este considerat *U. foliacea* Gilb. (*U. campestris* L.) al cărui areal cuprinde Europa, Asia între paralelele de 30° și 50° latitudine nordică și o parte din Africa de Nord.

*Zelkova ungeri* Kov.

(Fig., i)

Acest tip este cunoscut încă din Cretacicul superior, fiind foarte frecvent în Terțiar.

Exemplarul nostru are toate caracterele descrise și figurate pentru *Z. ungeri* de Andreanszky (1959, p. 133, pl. XXXVIII, fig. 5) și Kristofovici (1965, p. 64, pl. XIII, fig. 5 și pl. XXXVII, fig. 5).

Corespondentul actual este considerat *Z. carpinifolia* K. Koch din pădurile Transcaucaziei.

Acest tip este citat pentru prima oară la Tânășești-Rimești.

*Colutea salteri* Heer

(Fig., j)

Impresiunea unei foliole ce o atribuim acestui tip are forma aproape rotundă, marginea întreagă și baza rotunjită. Virful nu s-a păstrat. Cele cinci perechi de nervuri secundare care s-au păstrat sunt arcuite în sus și formează cu nervura principală unghiuri de 55°–60°.

Prin forma limbului și a bazei acestuia exemplarul nostru se deosebește de cele citate de Givulescu (1957, p. 64, pl. VII, fig. 6; 1962, p. 154, fig. 138) care au formă obovată și baza acută, respectiv obtuză.

Din Pliocenul de la Borsec, Pop (1936, p. 86, pl. XIX, fig. 6) descrie sub numele de „cf. *Phaseolites orbicularis* Unger” o amprentă a unei foliole care se asemănă mult cu exemplarul nostru. Deosebirea constă însă în numărul mare de nervuri secundare, număr ce reiese din descriere dar nu și din figură.

Prin forma aproape rotundă impresiunea noastră se asemănă cu cea citată de Barbu (1954, p. 51, pl. XI, fig. 3), care are însă nervuri secundare mai puține (3–4) și talie mai mică.

Corespondentul actual pare să fie *C. persica* Boiss., al cărui areal cuprinde Persia de SW și Kurdistanul de W.

Nouă pentru flora fosilă de la Tânășești-Rimești.

*Nerium ex gr. oleander L.*

(Fig., e)

O porțiune a unei amprente foliare de formă îngustă, lanceolată conservă bine nervațiunea caracteristică leandru lui.

Nervura principală este proeminentă și se subțiază treptat spre vîrf, din aceasta se desprind numeroase nervuri secundare ce formează cu nervura principală unghiuri de  $60^{\circ}$  –  $75^{\circ}$ . Nervurile secundare se unesc ca nectodromie în imediata apropiere a marginii.

*N. oleander* L. este o specie răspândită în jurul Mării Mediterane.

Genul este nou pentru flora fosilă a Olteniei.

*Phragmites oenningensis* A. L. Br.

(Fig., h)

Atribuim acestui tip cu caractere cumulativ-colective trei impresiuni ale unor fragmente de frunză cu nervațiunea paralelă. Caracterele acestora corespund celor citate în literatură, două din exemplare fiind asemănătoare celor descrise și figurate de Engelhardt (1881, p. 288, pl. II, fig. 2–3) și Giuleșcu (1957, p. 25, pl. II, fig. 3).

Un singur exemplar se deosebește de acestea printr-o nervură mediană mai proeminentă și un aspect ce-l apropie de *Poacites arundarius* Et., Engelhardt (1891, pl. II, fig. 1, 2, 19).

Comună pentru tot Tertiariul European; citată prima dată în Oltenia.

## Concluzii

În cuprinsul luerării au fost descrise 11 forme fosile, din care au fost citate pentru prima dată în Oltenia 2 specii (*Libocedrus salicinoides*, *Phragmites oenningensis*) și genul *Nerium*. Pentru flora fosilă de la Tânășești–Rimești, sănt determinate următoarele noi tipuri: *Colutea salteri*, *Zelkova ungeri*, *Carpinus* și *Fagus*. Alte 3 tipuri au fost descrise și de Barbu (1954).

În afara tipurilor găsite de noi Barbu a mai descris încă 9 specii, astădat inventarul paleofloristic al depozitelor bessarabiane — kersoniene de la Tânășești–Rimești cuprinde în prezent 20 tipuri aparținând la 15 familii și anume:

| Forma fosilă   | Barbu<br>1954 | Ticleanu<br>1969 |
|--|---------------|------------------|
| <i>Libocedrus salicornioides</i> (Ung.) Heer               |               | +                |
| <i>Cinnamomophyllum polymorphum</i> (Al. Br.)              | -             | +                |
| <i>Laurus primigeniu</i> Ung.                              | -             |                  |
| <i>Persea braunii</i> Heer                                 | +             |                  |
| <i>Carpinus ex gr. grandis</i> Ung.                        |               | +                |
| <i>Castanea alatia</i> Ung.                                | +             | +                |
| <i>Fagus ex gr. latissima</i> Andreanszky                  |               | +                |
| <i>Quercus nerifolia</i> Al. Br.                           | +             |                  |
| <i>Juglans acuminata</i> Al. Br.                           | +             |                  |
| <i>Pterocarya</i> sp. (aff. <i>P. caucasica</i> C.A. Mey.) | +             |                  |
| <i>Salix variata</i> Goppp.                                | +             |                  |
| <i>Salix longa</i> Al. Br.                                 | ..            |                  |
| <i>Ulmus braunii</i> Heer                                  | -             | +                |
| <i>Zelkova ungeri</i> Kov.                                 |               | +                |
| ? <i>Ficus carica</i> L.                                   |               | +                |
| <i>Colutea salteri</i> Heer                                |               | +                |
| <i>Sapindus pythii</i> Ung.                                | +             |                  |
| <i>Fraxinus</i> sp.  | ..            |                  |
| <i>Nerium ex gr. oleander</i> L.                           | ..            | +                |
| <i>Phragmites oenningensis</i> Al. Br.                     |               | +                |

Comparind flora de la Tânășești-Rimești în totalitatea ei, cu florele de la Cornițel și Valea Neagră, constatăm că au comune cu acestea 10 și respectiv 8 tipuri. În ceea ce privește vîrstă florelor de la Cornițel și valea Neagră, Givulescu (1957, 1964) le atribuie Pannonianului (B, C). Recent, Paucă et al. (1968), aducind argumente paleontologice și stratigrafice, consideră că aceste flori sunt cuprinse în intervalul de vîrstă sarmatiian inferior-mediu.

Flora de la Tânășești-Rimești, comparată numeric cu alte flori sarmatiene, are comune: 5 tipuri cu flora de la Krînka (U.R.S.S.), 6 cu cea de la Naslavjev și 4 cu flora de la Ghidighici (R.S.S. Moldovenească), 6 cu cea de la Erdöbénye (R.P. Ungară).

Analizând flora de la Tânășești-Rimești, constatăm prezența genurilor de climă caldă: *Libocedrus*, *Cinnamomophyllum*, *Nerium*, lingă forme de climă temperată: *Carpinus*, *Ulmus*, *Fagus*. Aceasta arată că în timpul depunerii depozitelor cu plante de aici, clima era apropiată de clima mediteraneană actuală.

#### BIBLIOGRAFIE

Andreanszky G. (1959) Die Flora der sarmatischen Stufe in Ungarn, Akad. Kiado, Budapest.



- Barbu I. Z. (1933) Flora fosilă de la Timișani, jud. Gorj. *Notationes biol.* I, 2, București.  
 — (1942) Note sur les plantes fossiles du Miocène de Slătioara-département de Vâlcea. *Bul. Soc. rom. geol.* V, București.  
 — (1954) Flora fosilă din Terțiarul Olteniei. *An. Com. geol.* XXVII, București.
- Berger W. (1854) Nachtrag zur altpaläozänen Flora der Congerieuschichten von Brunn-Vosendorf bei Wien. *Paläontographica*. 97 B, Stuttgart.
- Engelhardt H. (1881) Ueber die fossilen Pflanzen des Süßwassersandsteins von Gras-  
seth. *Nova Acta k. Leopold. Carol. Akad.* XLIII, 4, Halle.  
 — (1885) Die Tertiärflora des Jesuitengrabens bei Kundratitz in Nordböhmen. *Nova Acta k. Leopold. Carol. Akad.* XLVIII, 3, Halle.  
 — (1891) Ueber die Flora der über den Braunkohlen befindlichen Tertiärschichten von Dux. *Nova Acta k. Leopold. Carol. Akad.* LVII, 3, Halle.
- Givulescu R. (1957) Flora pliocenă de la Cornișel. Ed. Akad. R.P.R. București.  
 — (1962) Die fossile Flora von Valea Neagră, Bezirk Crișana. Rumänien. *Paläontographica*. 110 B, Stuttgart.
- Iakubovskaja T. A. (1955) Sarmatskaia flora Moldavskoi S.S.R. *Flora i Sistemática vissih rastenij*, S. 1, 11, Moscova-Leningrad.
- Kriștoiovici A. N., Baikovskaja T. N. (1955) Sarmatskala flora Krinkl. Akad. Nauk. S.S.S.R. Moscova-Leningrad.
- Marion A. F., Laurent L. (1898) Examinarea unei colecții de vegetale fosile din România. *Anu. Mus. Geol. Pat.* II, București.
- Pantić N. (1958) Biostratigrafie des flores tertiaires de Serbie. *Ann. géol. Péni. Balkan.* XXIV, Beograd.
- Paucă M., Istoceșcu D., Istoceșeu Felicia (1968) Bazinul neogen al Vadului. *D.S. Com. Geol.* LIV/1, București.
- Pop E. (1986) Flora pliocenă de la Borsec, Cluj.

## CONTRIBUTIONS À LA CONNAISSANCE DE LA FLORE SARMA- TIENNE DE TĂNĂSEȘTI-RÎMEȘTI (VILCEA)

(Résumé)

L'objet du présent ouvrage est l'étude de certaines plantes fossiles récoltées d'un gisement fossilifère situé à quelque 600 m N de la localité de Tânăsești, dans la rive d'un affluent gauche du ruisseau Rîmești (Vilcea).

A.I. Zhereba et al. attribuent à ce niveau fossilifère l'âge bessarabien-kersonien par comparaison avec le niveau des régions avoisinantes qui renferment une faune caractéristique au Levantin moyen et supérieur.

L'ouvrage contient aussi la description de 11 formes fossiles dont deux espèces ont été citées pour la première fois en Olténie (*Libocedrus salicornioides*, *Phragmites oenningensis*) et le genre *Nerium*. On y a identifié les suivants types nouveaux : *Colitea salteri*, *Zelkova ungeri*, *Carpinus* et *Fagus*.

La présence des formes propres à un climat chaud : *Libocedrus*, *Cinnamomophyllum*, *Nerium* à côté des formes propres à un climat tempéré : *Fagus*, *Ulmus*, *Carpinus* trahissent qu'à l'époque du dépôt de ces types le climat était rapproché de celui méditerranéen actuel.





3. PALEONTOLOGIE

PALINOLOGIE

CÎTEVA DATE PRELIMINARE ASUPRA CONTINUTULUI PALINOLOGIC AL TRIASICULUI INFERIOR-SEISIANULUI DE LA BUCEA, MUNȚII PĂDUREA CRAIULUI<sup>1</sup>

DE

EMANUEL ANTONESCU<sup>2</sup>

**Abstract**

Some Preliminary Data on the Palynological Content of the Lower Triassic of the Bucea Seisian in the Pădurea Craiului Mts. A palynological association, dominated by the genus *Triadispora*, was recognized at the upper part of the red gritty horizon belonging to the Lower Triassic — Seisian at Bucea in the Pădurea Craiului Mts. The microflora indicates the Lower Triassic age and constitutes the first argument favourable to the Lower Triassic age of the detrital deposits assigned to the Seisian in the Apuseni Mountains.

**Introducere**

Cu prilejul excursiei Institutului Geologie, din primăvara anului 1968 în Munții Apuseni, s-au luat cîteva probe palinologice din depozitele Triasicului inferior-Seisianului din munții Pădurea Craiului — ce aflorează în jurul localității Bucea pe șoseaua Cluj-Oradea, la începutul curbelor șoselei ce urcă spre punctul denumit Izvorul Crișului.

Depozitele Triasicului inferior în munții Pădurea Craiului, aparțin marelui unității structurale a autohtonului de Bihor ce cuprinde o singură serie caracteristică de formațiuni triasice — seria de Bihor (Patrușiu, Bleahu, 1967).

La Bucea succesiunea depozitelor triasice este alcătuită, în mare, din depozite detritice cuarțoase argiloase roșii în bază, și din depozite carbonatace.

<sup>1</sup> Comunicare în ședință din 24 ianuarie 1969.

<sup>2</sup> Institutul Geologic, Sos. Kiseleff nr. 55, București.

Orizontul detritic roșu, reprezentând Seisianul după Istoceșcu și Ionescu<sup>3</sup>, a fost atribuit Permo-Werfenianului de către Givulescu în 1955, și descris din punct de vedere litologic de către acesta după cum urmează. În bază un complex conglomeratic, transgresiv peste cristalin, alcătuit din conglomerate grosiere cuarțoase, o gresie cuarțoasă cu elemente conglomeratice și conglomerate mărunte cu intercalări de gresii micacee și stisoase. Peste acesta stă un complex grezos compus dintr-o gresie cuarțoasă fină alb-roză cu stratificație încruciașată și intercalări de gresii fine micacee vinete, gresii micacee fin stratificate în alternanță cu gresii grosiere violacee, gresii cuarțoase fine. Urmează un complex șistos care începe cu șisturi grezoase micacee vișinii, hieroglife, continuă cu șisturi argiloase micacee fine vinete în alternanță cu gresii fine verzi, șisturi argiloase foioase slab micacee roșii vișinii, și se încheie cu șisturi argiloase filitoase satinate roșii slab metamorfozate, diaclazate, cu oglinzi de fricțiune.

Orizontul de depozite detritice cuarțoase argiloase roșii trece în continuitate de sedimentare la partea superioară la o serie carbonată. Aceasta după Givulescu (1955) începe cu un pachet de 1,50 m grosime de calcar silicioase, roșietice-albicioase, în plăci de 1–3 cm peste care urmează un pachet masiv de calcare negre cenușii în plăci subțiri de 3–10 cm sau în baneuri de 0,5–1 m.

În calcarile negre Hoffmann (1898, după Kräutner, 1939) citează *Myophoria costata* Zenk. și *Gervileia modiolaeformis* Giebel. La rîndul său Givulescu în calcarile de pe șoseaua ce urcă de la Bucea la Cornișel găsește *Myophoria* sp. Pe baza acestor fosile Kräutner (1939) și Givulescu (1955) atribuie calcarile negre Anisian-Ladinianului.

Orizontul de depozite detritice cuarțoase argiloase roșii a fost comparat în munții Pădurica Crainului în 1860 de H. Wolff (după Kräutner, 1939) cu depozitele de tip Verrucano din Alpi. Kräutner (1939) arată că s-a văzut în aceste depozite un echivalent al Buntsandsteinului și le atribuie Werfenianului, lăsind la Permian doar breccia conglomeratică bazală ce apare la Dealul Boții și în valea Brătești, pentru ea în 1940 (după Givulescu, 1955) să le socotească de vîrstă permowerfeniană. Givulescu în 1955 consideră de asemenea orizontul detritic roșu de vîrstă permowerfeniană. Referindu-se la profilul de la Bucea în 1965, Istoceșcu, Diaconu, Istoceșcu atribuie

<sup>3</sup> D. Istoceșcu, Gh. Ionescu. Geologia părții de nord a depresiunii panonne. 1968. D.S. Inst. Geol. I.V/5 (sub tipar).

orizontul detritic roșu, de sub seria calcaroasă, Werfenianului. Recent aceste depozite sunt considerate de Patruiu, Bleahu (1967) pe întreg teritoriul munților Pădurea Craiului ca reprezentând Seisianul, iar calcarele negre cu *M. costata* și *G. modiolaeformis* sunt atribuite Campilian-Anisianului. În sfîrșit Istoceanu și Ionescu<sup>4</sup> consideră ca fiind seisiene, la Bucea, depozitele detritice roșii de sub calcarele șistoase cu *M. costata*.

În depozitele detritice cuartoase argiloase roșii-seisiene nu s-au întîlnit fosile pe întreg teritoriul Munților Apuseni. Doar la Bucea, Istoceanu și Ionescu<sup>4</sup> citează următoarele tipuri de spori-polen determinate de Adina Visarion: *Vittatina* cf. *saccifer*, *Cycadopites harti*, *O. sp.*, *Apiculatisporites pilosus*, *Punctatisporites maratoides*, *Striatites* sp., *Ptyiosporites* sp., a căror asociatie după Visarion indică Permo-Triasicul.

Scopul notei de față este de a prezenta cîteva date asupra conținutului palinologic al orizontului detritic roșu-Seisianului de la Bucea și de a face cîteva precizări asupra vîrstei acestor depozite. Aceste date au un caracter preliminar în ceea ce privește întregul orizont detritic cuartitic argilos roșu, întrucît nu a fost investigată decât partea sa superioară.

#### Conținutul palinologic, corelări

Pînă în prezent la Bucea s-au identificat într-un nivel grezo-argilos de culoare cenușiu-verzuie deschisă (același din care Visarion după Istoceanu, Ionescu, 1968, determină formele menționate mai sus) situat la partea superioară a orizontului grezos roșu-Seisian, 27 specii a 22 genuri de spori și polen.

**Anteturma *Sporites* H. Potonié, 1893**

Turma ***Triletes*** (Reinsch, 1881) R. Potonié & G. O. W. Krempe, 1954

Subturma ***Azonotriletes*** A. Luber, 1935

Infraturma ***Laevigati*** (Bennie & Kidston, 1886) R. Potonié, 1956

*Punctatisporites triassicus* Schultz, 1964  
cf. *Carnisporites* sp.

<sup>4</sup> Op. cit. pct. 3.

- Retusotrilites* sp.  
*Nigrisporites nigritellus* (Lub.) Oschurkova, 1966
- Infraturma Granulati** S. Dybova & A. Jachowitz, 1957  
 cf. *Granulatisporites pulvigerus* (Lub.) Luber, 1966  
*Cyclotrilites triassicus* Mädler, 1964
- Subturma Zonotriletes** I. Waltz, 1935
- Infraturma Zonati** R. Potonié & G.O.W. Kremp, 1954  
 cf. *Aequitiradites* sp.  
 cf. *Lundbladispora* sp.
- Anteturma Pollenites** R. Potonié, 1931
- Turma Saccites** Erdtman, 1947
- Subturma Monosaccites** (Chytalej, 1951) R. Potonié & G.O.W. Kremp, 1954
- Infraturma Triletesacciti** G. Leschik, 1955  
*Nuskolsporites* sp.
- Seria Amphisacciti** K. Lele, 1964  
*Stellapollenites talchiriensis* Lele, 1964
- Subturma Disaccites** I. Cookson, 1947
- Infraturma Disaccitriletes** G. Leschik, 1956  
*Triadispora crassa* Klaus, 1964  
*Triadispora plicata* Klaus, 1964  
*Triadispora* cf. *staptinii* Klaus, 1964  
*Triadispora epigona* Klaus, 1964  
*Illinites trivisus* Visscher, 1966
- Infraturma Dissaccimonoleti** W. Klaus, 1963  
 cf. *Limitisporites moersensis* (Grebe) Klaus, 1963
- Infraturma Striatiti** D. Pant, 1954  
*Chordasporites* cf. *singulichorda* Klaus, 1960  
*Taeniasporites novimundi* Jansonius, 1962  
*Taeniasporites* sp.  
 cf. *Protophloxiipinus* sp.
- Infraturma Disacciatrileti** G. Leschik, 1955  
*Voltziaceaesporites heteromorpha* Klaus, 1961  
*Alisporites microreticulatus* Reinhardt, 1964  
*Caytonipollenites pallidus* (Reissinger) Couper, 1958
- Turma Pliates** S. Naumova, 1939
- Subturma Praecolpates** R. Potonié & G.O.W. Kremp, 1954  
 cf. *Marsupipollenites triradiatus* Balme & Hennelly, 1956

Subturma **Monocolpates** J. Iversen & Th. Tröels-Smith, 1950

*Cycadopites coxii* Visscher, 1966

*Cycadopites* sp.

*Monosulcites minimus* Cookson, 1947 (nefigurat).

Starea de conservare a microflorei este destul de proastă, formele fiind incarbonizate sau sfărimate. Acest lucru împiedică o determinare exactă, specifică, a tuturor exemplarelor existente și prin urmare o analiză cantitativă. Se poate face însă o apreciere, în mare, asupra participării cantitative a tipurilor principale de spori și polen. Genul *Triadispora* cu speciile prezente predomină numeric constituind fondul asociației; specia *Triadispora crassa* este cea mai frecventă, *T. plicata* și *T. cf. stiplinii* sunt mai puțin răspândite, iar *T. epigona*, rară. Destul de importante cantitativ sint genurile *Cycadopites* + *Monosulcites*, *Voltziaceaesporites heteromorpha*, *Taeniaesporites novimundi*. Mai puțin frecvente sunt *Punctatisporites triassicus*, *Cyclotriletes triassicus*, *Nuskovisporites* sp., *Stellapollenites tulchiriensis*, *Ilinites trivisus*, *Chordasporites* cf. *singulichorda*, *Alisporites microreticulatus*, *Caytonipollenites pallidus*; iar reprezentate prin unul sau cîteva exemplare cf. *Carnisporites* sp., *Retusotrilobites* sp., *Nigrisporites nigrifellus*, cf. *Granulatisporites pulvigerus*, cf. *Aequitriradiites* sp., cf. *Lundbladispora* sp., cf. *Limitisporites moersensis*, *Taeniaesporites* sp., cf. *Protohaploxylinus* sp., cf. *Marsupipollenites triradiatus*.

Din punct de vedere al intervalului stratigrafic în care au fost întîlnite pînă în prezent formele mai frecvente în asociație, g. *Triadispora* este exclusiv triasic. Speciile *Triadispora crassa*, *T. epigona*, *T. stiplinii*, *T. plicata* sunt elemente principale în asociațiile palinologice ale Triasicului inferior și mai rar Triasicul mediu-inferior, de facies german și alpin din Olanda, Franța, Germania, Italia, Austria (Klauss, 1964, 1965; Visscher, 1966, 1967; Visscher & Commissaris, 1968); iar prezența lor este considerată ca un element reper. *Voltziaceaesporites heteromorpha* este de asemenea un tip de polen caracteristic microflorei Triasicului inferior (mai puțin pentru Triasicul mediu) din Europa; în Triasicul inferior de la Hengelo-Olanda constituind 21% din compoziția asociației (Visscher, 1966). *Taeniaesporites novimundi*, polen cu corpul central striat și fisură monoletă descris inițial în Triasicul inferior din Canada (Jansonijs, 1962) este citat de Klauss (1964, 1965) ca fiind prezent în depozitele Triasicului inferior din Europa centrală; apărind și în Zechsteinul superior din Anglia (Clark, 1965). Genurile *Cycadopites* și *Monosulcites* au o răspîndire mai largă în Permianul superior-Jurasic; *Cycadopites coxii* este descris în Triasicul inferior din Olanda.

Dintre formele mai puțin răspândite în asociație, *Punctatisporites triassicus*, *Cyclotriletes triassicus*, *Alisporites microreticulatus*, apar în Triasicul inferior din Germania, *Illinites trivisus* în Triasicul inferior din Olanda și *Chordasporites cf. singulichorda* în Muschelkalk. Genul *Nuskoisporites* este mai degrabă o formă permiană cu specii caracteristice Permianului superior (*N. klausii*, *N. duthunyi*) continuindu-se însă și în Triasicul inferior (*N. inopinatus*) din Europa. *Stellapollenites talchiriensis* apare în Permianul din India și probabil (?) descris sub numele de *Podocarpene pollenites thiergartii* (Mäder, 1964), *Nuskoisporites muelleri* (Reinhardt, 1964 a) sau *Triadispora muelleri* (Visscher, 1966) în Triasicul inferior din Germania (Röt) și respectiv Triasicul inferior din Olanda.

Între formele rare, reprezentate în asociație prin cîteva exemplare sau unul singur, genul *Lundbladispora* apare în Triasicul inferior din Australia și Europa, *Carnisporites* în Triasicul din Germania, iar *Limitisporites moersensis* este dat ca avînd cea mai mare frecvență în Triasicul inferior (Klaus, 1965).

Tot printre formele rare, reprezentate în asociația microfloristică a Seisianului de la Bucea printr-un singur exemplar, apar cîteva tipuri de spori și polen întlnite exclusiv pînă în prezent numai în Paleozoicul superior. Astfel *Nigrisporites* și *Granulatisporites pulvigerus* sunt spori cîtați în Carboniferul superior-Permianul din U.R.S.S., iar *Marsupipollenites* în Permianul din Australia. Este interesantă prezența acestor forme și în depozitele Triasicului inferior; faptul că formă permicne să se continue sporadic în Triasicul inferior nu este nou el fiind semnalat și de Klaus (1965).

Asociația palinologică a orizontului detritic roșu-Seisian de la Bucea conține deci în primul rînd forme răspândite și caracteristice în Triasicul inferior din Europa; în al doilea rînd formele tipice Triasicului inferior predomină cantitativ, și în al treilea rînd formele tipic permicne sunt reprezentate prin puține specii și sunt neglijabile din punct de vedere cantitativ.

Pe baza acestor caracteristici putem afirma că microflora de la partea superioară a orizontului roșu detritic de la Bucea este de vîrstă triasic-inferioară.

Compararea microflorei din orizontul grezos roșu-Seisian de la Bucea cu asociațiile palinologice din Permianul superior și Triasicul inferior din Europa plasează deosemenea de la prima vedere această asociație în Triasicul inferior. În ultimii 14 ani diversi cercetători au studiat din punct de vedere palinologic depozitele Permianului superior și ale Triasicului



inferior, greu de separat uneori din cauza similitudinii de facies (depozite roșii, evaporite), și lipsei de resturi fosile. Pînă în prezent rezultatele obținute demonstrează posibilitatea separării pe criterii palinologice a Permianului superior de Triasicul inferior în Europa. Lucrări asupra Zechsteinului printre care cele ale lui L e s c h i k (1956) și S e h a a r - s c h m i d t (1963) în Germania, C l a r k e (1965) în Anglia; și asupra Permianului superior din Alpi (stratele de Gröden) și stratele cu *Bellerophon* (K l a u s, 1963) scot în evidență asociații microfloristice caracteristice în care predomină tipuri de polen cu *Lueckisporites virkkie*, *Klausipollenites schaubergeri*, *Falcisporites zapfei*, *Limitisporites rectus*. Studiul palinologic al Triasicului inferior din diferite regiuni ale Europei a fost efectuat de cercetători dintre care amintim pe M ä d l e r (Röt-Germania, 1961), K l a u s (strate de Werfen, 1964), W i s s c h e r (Bunter superior-Olanda, 1966), R e i n b a r d t (Buntsandstein mijlociu-Germania, 1964). În urma acestor cercetări, rezultă că tipurile de spori și polen cu cea mai mare frecvență în Triasicul inferior sunt *Triadispora crassa*, *T. plicata*, *T. stiplinii*, *Angustisulcites klausii*, *Voltziaceaesporites heteromorpha*, *Alisporites grauvogeli*, diferite specii ale genurilor *Cyclotriletes* și *Verrucosporites*, etc. În sfîrșit, lucrările lui K l a u s (1964, 1965) și V i s - s c h e r (1967) subliniază posibilitatea separării Permianului superior de Triasicul inferior pe criterii palinologice.

Asociația palinologică a orizontului grezos roșu-Seisian de la Bucea se apropie cel mai mult, prin compoziția sa în care predomină genul *Triadispora* cu asociația stratelor de Werfen (K l a u s, 1964) și cu cea a Triasicului inferior de tip german din forajul Hengelo-Olanda și Mont-roig-Spania (V i s c h e r, 1966, 1967), diferind de acestea prin compoziția sa mai săracă în specii și număr de exemplare. Referitor la asociațiile palinologice ale Triasicului din România, microflora de la Bucea se poate corela cu cea din partea cea mai inferioară a Triasicului din platformă moesică (B e j u<sup>5</sup>; B e j u, informație personală).

### Concluzii

Analiza palinologică efectuată asupra cîtorva probe colectate dintr-un nivel situat la partea superioară a orizontului detritic cuarțitic argilos roșu atribuit Seisianului la Bucea (muntele Pădurea Craiului) a furnizat o asociație de spori-polен caracteristică Triasicului inferior. Asociația

<sup>5</sup> D. B e j u. Stadiul actual al cercetărilor palinoprotistologice referitoare la ante-Cretacicul din platformă moesică. 1967. Rev. Inst. petrol și gaze (sub tipar).

este dominată de polen de tip *Triadispora* cu speciile *T. crassa* (în majoritate), *T. plicata*, *T. staplinii*, la care se adaugă *Taeniaesporites novimundi*, *Voltziaceaesporites heteromorpha* și grupul *Cycadopites coxii-Cycadopites sp.* — *Monosulcites minimus*. Mai rar apar *Functatisporites triassicus*, *Cyclotriletes triassicus*, *Nuskoisporites* sp., *Alisporites microreticulatus*, *Chordasporites cf. singulichorda* împreună cu un număr destul de mare de alte tipuri de spori și polen, cantitativ însă neglijabil.

Microflora Seisanului de la Bucea se asemănă cel mai mult cu cea a Triasicului inferior (Bunter superior — Hengelo) de tip german din Olanda și cu cea a părții superioare a stratelor de Werfen din Alpi. O comparație cu microflora stratelor de Seis sau a Buntsandsteinului inferior este destul de dificil de făcut întrucât pînă în prezent după cunoștințele noastre există destul de puține date palinologice asupra acestor depozite.

În consecință, considerăm că asociația palinologică din partea superioară a orizontului grezos roșu de la Bucea indică o vîrstă triasic-inferioară. Aceste date sunt importante întrucât reprezintă primele argumente paleontologice în sprijinul vîrstei triasic-inferioare a depozitelor detritice de culoare roșie atribuite Seisanului, care suportă roci carbonatice reprezentând Campiliianul și Anisianul și stau discordant peste depozitele permiene în munții Pădurea Craiului.

La Bucea studii viitoare vor arăta dacă întregul orizont grezos roșu conține microfloră asemănătoare cu cea de la partea superioară sau dacă există variații pe verticală.

## BIBLIOGRAFIE

- Andreeva E. M., Boițova E. P., Jejeļ O. H., Kolčova T. T., Komarovă N. I., Krucinina N. V., Luhov A. A., Oschurkova M. V., Panova L. P., Pokrovskaja I. M., Siversieva I. A., Stellmakh N. K., Tabacinkova I. P., Yalyseva A. A., Zhezhei O. N. (1966) Paleopalinologia I, II, III. *Trudi Vsesoiuz. Nauchno-issledovatel. Geol. Inst.*, vîpusk, 141, Novaia Seria, Leningrad.
- Balme B. E., Hennelly J. P. F. (1955) Bisaccate Sporomorph from Australian Permian (după G. O. W. Kremp, H. T. Ames, 1961. *Catalog of fossil spores and pollen*, 13 Pennsylvania State University, Pennsylvania).
- Clarke R. F. A. (1965) Keuper miospores from Worcestershire, England. *Paleontology* 8/2, London.
- Givulescu R. (1955) Contribuții la stratigrafia și tectonica părții de răsărit a munților Rezului. *Acad. R.P.R. Studii și cercetări*, seria II. Științe biologice, agricole, medicale 3—4, Filiala Cluj.

- Hart F. G. (1965) The Systematics and Distributions of Permian miospores. (*Univ. Press-Johannesburg*). Witwatersrand.
- Istoceșcu D., Diaconu M., Istoceșcu Felicia (1965) Contribuții la stratigrafia Triasicului de pe marginea de S a munților Rez. D.S. Inst. Geol. LIII/3, București.
- Jansonius J. (1962) Palynology of Permian and Triassic sediments, Peace River area, Western Canada. *Paleontographica Abt. B*, 110/1-4, Stuttgart.
- Klaus W. (1960) Sporen der Karnische Stufe der Ost. alpinen Trias. *Geol. Jb. Bund. Anst.*, Wien.
- (1963) Sporen aus dem Sudalpinen Perm. *Jb. Geol. Bund. Anst.*, 106, Wien.
  - (1964) Zur spore stratigraphischen Einstufung von glipsführenden Schichten in Bohrungen. *Erdöl Zeitschr.*, 4, Wien-Hamburg.
  - (1965) Zur einstufung alpiner Salzzone mittels sporen. *Verh. Geol. Bund. Anst.* Sonderhefte 6, Wien.
- Kräutner Th. (1939) Die geologische Verhältnisse der östlichen Teile der Pădurea Craiului. *Bul. Soc. Rom. de geol.* IV, București.
- Lele K. M. (1964) Studies in the Talchir flora of India-3 Stellapollenites: A new monosaccate pollen genus from the South Rewa Gondwana Basin. *The Palaeobotanist*, 13/1, Lucknow.
- Leschik G. (1956) Sporen aus dem Zechsteins von Neuhof (Bei Fulda). *Palaearctographica Abt. B*, 100/4-6, Stuttgart.
- Mädlér K. (1964) Die geologische Verbreitung von Sporen und Pollen in der Deutschen Trias. *Beihefte zum Geologischen Jahrbuch*, 65, Hannover.
- Patruilius D., Bleahu M. (1967) Le Trias des Monts Apuseni. *Geologicky Shornik XVIII/2*, Bratislava.
- Reinhardt P. (1964 a) Einige Sporenarten aus dem Oberen Buntsandstein Thüringens. *Monatsber. der Deutsch. Akad. der Wiss.* 6, 8, Berlin.
- (1964 b) Über die Spores dispersae der Thüringer Trias. *Monatsber. dem Deutsch. Akad. der Wiss.* 6, 1, Berlin.
- Schultz E. (1964) Sporen und Polen aus dem Mittleren Buntsandstein der germanischen Beckens. *Monatsber. der Deutsch. Akad. der Wiss.* 6, 8, Berlin.
- Visscher H. (1966) Plant microfossils from the Upper Bunter of Hengelo. The Netherlands, Paleobotany of the Mesophitic III. *Act. Botanica Nederlandica*, 15.
- (1967) Permian and Triassic palynology and the concept of „Tethis twist“ Palaeogeography, Palaeoclimatology, Palaeoecology, 3, Elsevier Publ. Comp. Amsterdam.
  - Commissaris A.L.T.M. (1968) Middle Triassic Pollen and Spores from the Lower Muschelkalk of Winterswijk (The Netherlands). *Pollen et Spores* X/1, Paris.

---

## QUELQUES DONNÉES PRÉLIMINAIRES SUR LE CONTENU PALYNOLOGIQUE DU TRIAS INFÉRIEUR-SÉISIEN DE BUCEA (MONTS PĂDUREA CRAIULUI)

(Résumé)

---

On a effectué l'analyse palynologique de quelques échantillons prélevés à la partie supérieure de l'horizon rouge détritique représentant le Séison de Bucea (Monts Pădurea

Crainului). Cet horizon formé, de manière prépondérante, par des conglomérats, grès et schistes argileux rouges supporte en concordance des roches à carbonates, attribuées au Campilien et à l'Anisien.

La microflore est dominée par les espèces du genre *Triadispora* surtout *Triadispora crassa* accompagné de *T. staphylini*, *T. plicata*, *T. epigona*. En proportion élevée participant aussi les genres *Taeniaesporites novimundi*, *Voltziaceaesporites heteromorpha* et le groupe *Cycadopites exsil* + *Cycadopites* + *Monosulcites minimus*. Moins souvent sont rencontrées *Punctatisporites triassicus*, *Cyclotriletes triassicus*, *Nuskisporites sp.*, *Alisporites microreticulatus*, *Chordasporites cf. singulichordus* accompagnées de bon nombre de types de spores et pollens représentés par un ou plusieurs exemplaires.

Comparée aux associations palynologiques connues jusqu'à présent, la microflore du Séisien de Bucea ressemble le plus à la microflore du Trias inférieur (Bunter supérieur) de la Hollande et à celle de la partie supérieure des couches de Werfen des Alpes.

On considère cette association palynologique d'âge triasique inférieur. Toute précision en faveur du Séisien ou du Campilien est difficile à faire. Les données présentées sont importantes car elles représentent les premiers arguments paléontologiques en faveur de l'âge triasique inférieur des dépôts détritiques rouges du Séisien qui supportent en concordance les roches carbonatées du Campilien-Anisien et reposent en discordance sur les dépôts permiens dans les Monts Apuseni.

## PLANSA I

- Fig. 1. — *Punctatisporites triassicus* Schultz 1964; × 500. Preparat (lame) 1396/23, coord. 9,2/93,9.  
 Fig. 2-3. — cf. *Carnisporites* sp.; × 500. Fig. 2. Preparat (lame) 3196/24, coord. 18/75,9; fig. 3. Preparat (lame) 1396/1, coord. 21,5/87.  
 Fig. 4. — *Retusotriletes* sp.; × 500. Preparat (lame) 1396/2, coord. 22/74,6.  
 Fig. 5. — *Nigrisporites nigrifellus* (Lub.) Oschurkova 1966; × 500. Preparat (lame), 1396/6, coord. 10,3/94,5.  
 Fig. 6. — cf. *Granulatisporites pulvigerus* (Lub.) Luber 1966; × 500. Preparat (lame) 1396/23, coord. 13/89,3.  
 Fig. 7. — *Cyclotriletes triassicus* Mädler 1964; × 500. Preparat (lame) 1396/11, coord. 6,2/81,2.  
 Fig. 8. — cf. *Lundbladispora* sp. × 500. Preparat (lame) 1396/19, coord. 15/82.  
 Fig. 9. — cf. *Aequitriradiites* sp. × 1000. Preparat (lame) 1396/18, coord. 14,2/81,1.  
 Fig. 10-11. — *Nuskisporites* sp.; × 500. Fig. 9. Preparat (lame) 1396/25, coord. 12/85, fig. 10. Preparat (lame) 1396/21, coord. 24/79,2.

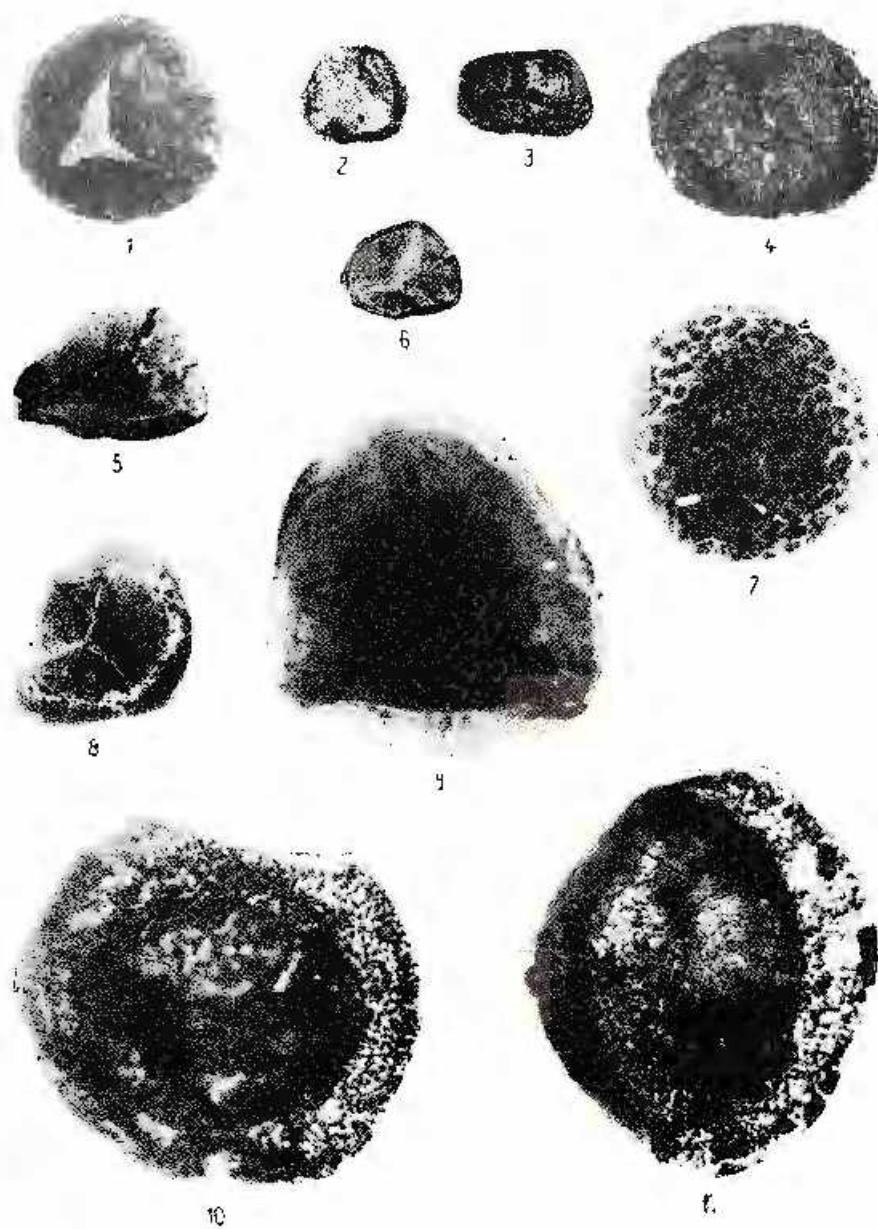
Toate exemplarele figurate se găsesc în colecția Laboratorului de palinologie al Institutului Geologic.

Coordonatele poziției exemplarelor pe preparate sunt luate la microscopul MEOPTA 180710.

Tous les exemplaires figurés se trouvent dans la collection du Laboratoire de palynologie de l'Institut Géologique.

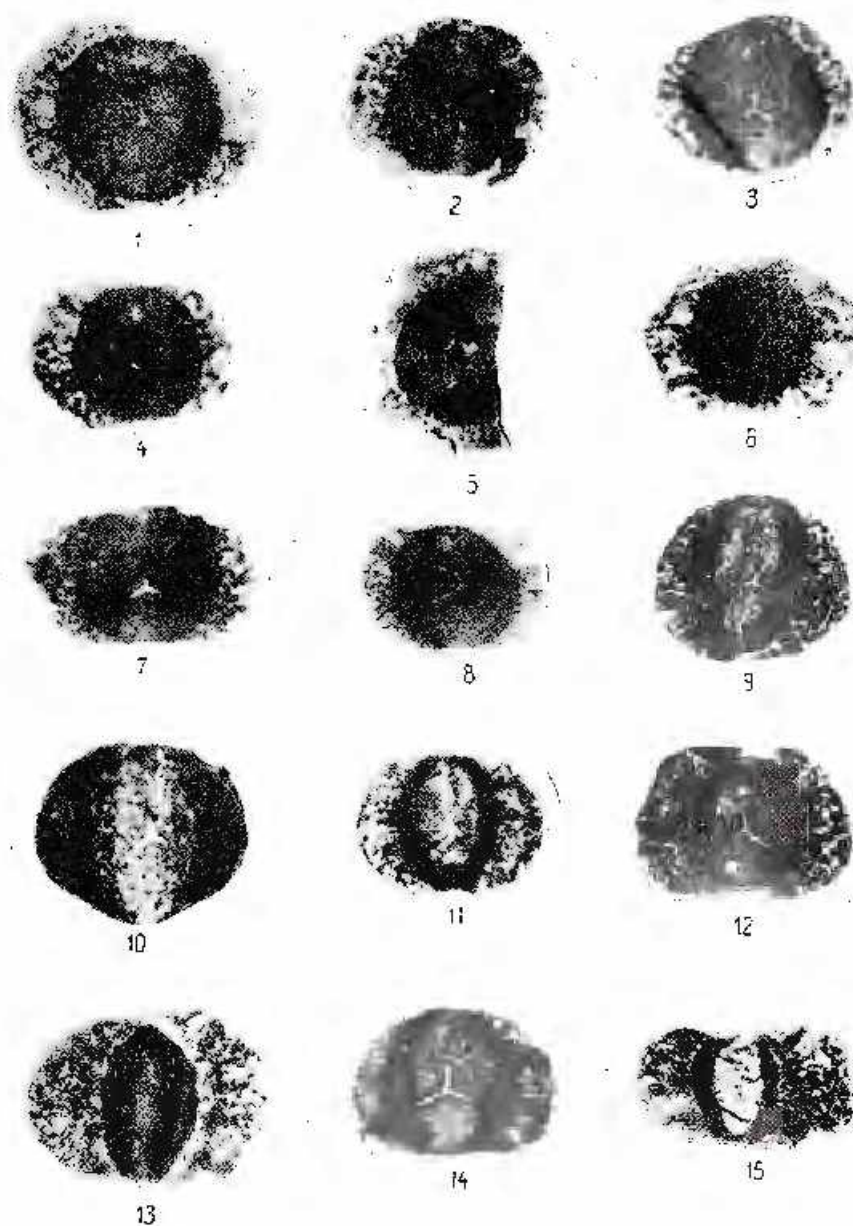
Les coordonnées de la position des exemplaires figurés sur les lames sont prises au microscope MEOPTA 180710.





## PLANŞA II

- Fig. 1-6. — *Triadispora cressae* Klaus 1964;  $\times 500$ . Fig. 16 preparat (lame) 1410/3, coord. 19/90,5; fig. 13 preparat (lame) 1396/3, coord. 22/74,2; fig. 14 preparat (lame) 1410/8, coord. 16/90, fig. 15 preparat (lame) 1396/1, coord. 18/81,2; fig. 16 preparat (lame) 1396/22, coord. 19/91,6; fig. 17 preparat (lame) 1396/18, coord. 4,5/79,5.
- Fig. 7-8. — *Triadispora* cf. *stapilii* Klaus 1964  $\times 500$ ; Fig. 18 preparat (lame) 1396/14, coord. 19,2/90; fig. 19 preparat (lame) 1396/21, coord. 11,9/82,2.
- Fig. 9, 11-13. — *Triadispora plicata* Klaus 1964;  $\times 500$ . Fig. 20 preparat (lame) 1396/1, coord. 5/94,3; fig. 22 preparat (lame) 1396/13, coord. 9,5/81,6; fig. 23 preparat (lame) 1396/1, coord. 16,7/71; fig. 24 preparat (lame) 1410/5, coord. 8/77.
- Fig. 10. — *Triadispora epigaea* Klaus 1964;  $\times 500$ . Preparat (lame) 1396/21, coord. 12,6/81,3.
- Fig. 14-15. — *Itinutes trivisus* Visscher 1966;  $\times 500$ . Fig. 25 preparat (lame) 1410/9, coord. 9,6/92,4; fig. 1396/12, coord. 18,3/86,5.

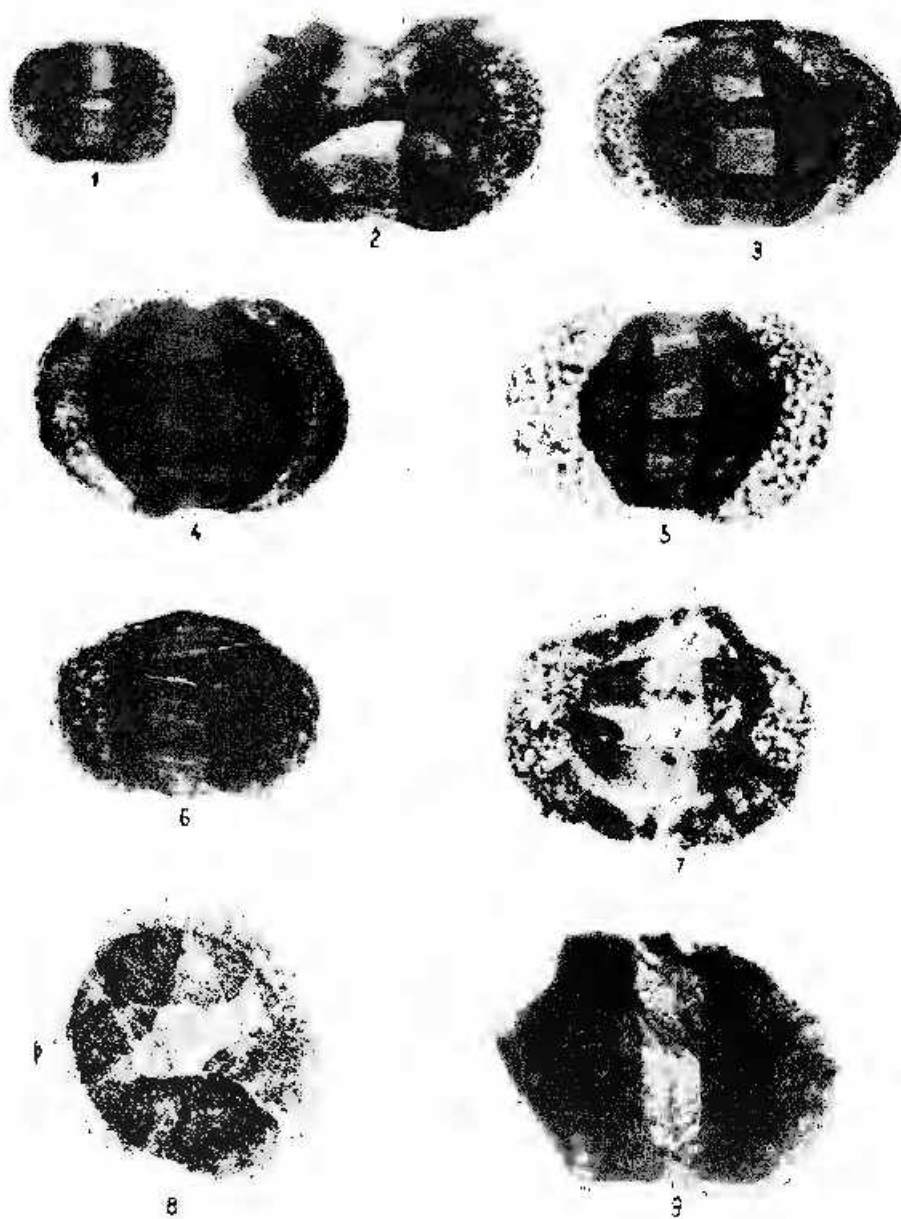


### PLANSA III

- Fig. 1. - cf. *Limitisporites moersensis* (Grebe) Klaus 1963;  $\times 500$ . Preparat (lame) 1396/5, coord. 13,7/82,5.
- Fig. 2. - *Chordasporites* cf. *singulicherda* Klaus 1964;  $\times 500$ . Preparat (lame) 1369/1, coord. 19,8/82,9.
- Fig. 3-5. - *Taeniasporites novimundi* Janssonius 1962;  $\times 500$ . Fig. 29 preparat (lame) 1396/16, coord. 10,9/80; fig. 30 preparat (lame) 1396/17, coord. 12,7/83,4; fig. 31 preparat (lame) 1410/2, coord. 3,8/82,5.
- Fig. 6. - cf. *Protachaptixipinus* sp.;  $\times 500$ . Preparat (lame) 1410/10, coord. 20,6/90,4.
- Fig. 7. - *Taeniaesporites* sp.;  $\times 500$ . Preparat (lame) 1410/6, coord. 21,5/86,3.
- Fig. 8. - *Stellapollenites talchiriensis* Lele 1964;  $\times 500$ . Preparat (lame) 1410/1, coord. 15/75,2.
- Fig. 9. - *Alisporites microreticulatus* Reinhardt 1964;  $\times 500$ . Preparat (lame) 1396/1, coord. 20,8/77,5.



E. ANTONESCU. Conținutul palinologic al Seisianului—Bucea. Pl. III.

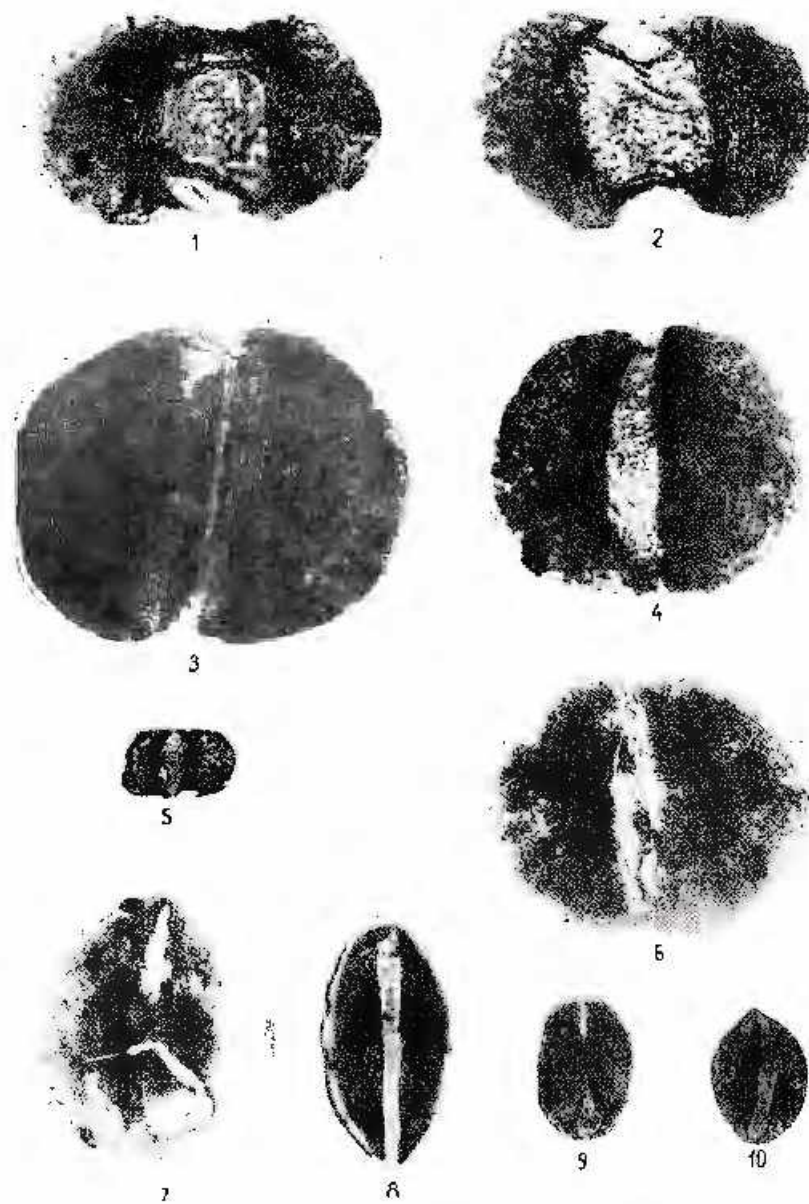


## PLANŞA IV

- Fig. 1-2. — *Voltziaceaesporites heteromorpha* Klaas 1964;  $\times 500$ . Fig. 36 preparat (lame) 1396/I, coord. 3,5/82,5; fig. 37 preparat (lame) 1396/9, coord. 13,8/93,2.
- Fig. 3-4, 6. — *Alisporites microreticulatus* Reinhardt 1964;  $\times 500$ . Fig. 38 preparat (lame) 1410/6, coord. 21,1/84,5; fig. 39 preparat (lame) 1396/II, coord. 8,2/80; fig. 41 preparat (lame) 1410/3, coord. 7,5/84.
- Fig. 5. — *Cyattonipollenites pallidus* (Reissinger) Couper 1958;  $\times 500$ . Preparat (lame) 1396/3, coord. 14,8/83.
- Fig. 7. — cf. *Marsupipollenites triradiatus* Balme & Henneberry;  $\times 500$ . 1956. Preparat (lame) 1396/22, coord. 18/81,6.
- Fig. 8. — *Cycadopites* sp.;  $\times 1000$ . Preparat (lame) 1396/I, coord. 19,2/70.
- Fig. 9. — *Cycadopites coxii* Visscher 1966;  $\times 500$ . Preparat (lame) 1396/II, coord. 7,2/81,1.
- Fig. 10. — *Cycadopites* sp.;  $\times 500$ . Preparat (lame) 1396/4, coord. 18,5/79.



E. ANTONESCU, Conținutul palinologic al Seisianului—Bucea. Pl. IV.



CONTRIBUȚII DE ORDIN PALINOLOGIC LA CUNOAȘTEREA STRATIGRAFIEI ȘI VîRSTEI SERIILOR METAMORFICE DIN PARTEA SUDICĂ A COMPARTIMENTULUI TISA-CIUĆ (ZONA CRISTALINO-MEZOZOICĂ A CARPAȚILOR ORIENTALI)<sup>1</sup>

DR

VIOLETA ILIESCU<sup>2</sup>, MIRCEA MUREŞAN<sup>2</sup>

**Abstract**

*Palynological Data on the Metamorphic Series of the Tisa-Ciuć Area (East Carpathians). The microfloral associations within the crystalline series of the Bistrița Nappe have been ascertained. Thus the Bistrița-Iârnar series was assigned to the Upper Proterozoic, whereas the Tulgheș series, which follows conformably, tallies with the Upper Proterozoic-Lower Cambrian interval. Correlations between the both series, and those corresponding to them in the Bistrița Mts, have been made.*

Formațiunile metamorfice din partea de N a zonei cristalino-mezoioice a Carpaților Orientali au constituit în ultimii ani obiectul unor studii stratigrafice și microtectonice de detaliu care au avut drept rezultat clarificarea în mare măsură a stratigrafiei și structurii acestora.

Analiza palinologică (Ilieșcu, Codarcea, 1961) a pus în evidență asociațiile microfloristice pe baza cărora s-a putut preciza vîrstă formațiunilor din unele complexe cristalofiliene din munții Bistriței. Rezultatele obținute au permis realizarea unei coloane stratigrafice de ansamblu a seriilor a căror vîrstă a putut fi stabilită pe criterii biostratigrafice.

În partea sudică a compartimentului Tisa-Ciuć (masivul Hăgihîmașului), problema paralelizării seriilor metamorfice cu cele din zona

<sup>1</sup> Comunicare în ședință din 6 mai 1969.

<sup>2</sup> Institutul Geologic, Sos. Kiseleff nr. 55, București.

munților Bistriței, în care s-a realizat o coloană stratigrafică a formațiunilor cristalofiliene (Codarcea et al., 1964; Bercia et al., 1967<sup>3</sup>), este deosebit de complexă, intrucât între cele 2 regiuni se interpune o suprafață apreciabilă de sisturi cristaline neorizontate stratigrafic.

Astfel, corelarea între seria de Bistrița-Barnar din munții Bistriței și formațiunile similare litologice din masivul Hăgihimășului era pusă sub semn de întrebare, deoarece cele două formațiuni nu se leagă direct între ele.

O altă problemă în regiune o constituiau relațiile de vîrstă între seriile de Bistrița-Barnar și de Tulgheș.

De asemenea, se impunea fundamentarea paralelizării între diversele complexe ale seriei de Tulgheș din munții Bistrița cu cele din masivul Hăgihimășului.

Pentru elucidarea problemelor menționate, s-a recurs și la investigarea palinologică a celor două serii amintite.

### Date sumare asupra stratigrafiiei geometrice a formațiunilor cristalofiliene

În partea sudică a compartimentului Tisa-Ciuc se distinge un ansamblu de unități tectonice suprapuse sub formă unor pînze de șariaj alpine care, în succesiune, corespund unității de Brețila, pînzei de Bistrița, pînzei de Rărău și pînzei Hăgihimășului (Sandulescu, 1967; Mureșan, 1967, 1968, 1970).

Formațiuni cristaline se cunosc la zi numai în pînza de Bistrița și pînza de Rărău.

În zona cercetată, pînza de Bistrița este alcătuită exclusiv din sisturi cristaline care se repartizează seriei de Bistrița-Barnar (la partea inferioară) și seriei de Tulgheș (la partea superioară).

#### *Seria de Bistrița-Barnar*

Seria de Bistrița-Barnar, atribuită ante-Proterozoicului superior (Alexandrescu et al., 1968; Vasilescu et al., 1968), este constituită predominant din dolomite, calcare și sisturi mezometamorfice. Astfel alcătuită, această serie constituie o zonă larg dezvoltată între Sindominic și Voșlăbeni.

<sup>3</sup> I. Bercia, Elvira Bercia, H. Krautner, M. Mureșan, Georgea Muresan. Studii stratigrafice și structurale asupra formațiunilor metamorfice din zona Pojariti-Iacobeni-Giosânciți. 1967. Arh. Com. Stat. Geol. București.



În rocile terigene intercalate s-au pus în evidență fenomene de dublă blasteză (Streckeisen, 1968) similare cu cele întâlnite în seria de Bistrița din munții Bistriței (Savu, 1938; Bercia et al.<sup>4</sup>). Primul stadiu de recristalizare metamorfică corespunde faciesului de șisturi verzi, iar cel de al doilea faciesului amfibolitic.

### *Seria de Tulgheș*

Seria de Tulgheș (atribuită, în munții Bistriței, Proterozoicului superior-Cambrianului inferior -- Bercia et al., 1967) se dispune, în regiunea cercetată, normal peste seria de Bistrița-Barnar și se dezvoltă larg spre est de această zonă — pînă la contactul cu pînza de Rarău.

Prezența unor fenomene de dublă blasteză constatate la partea inferioară a seriei, precum și orientarea similară a elementelor structurale simmetamorfice din seria de Tulgheș cu cele din seria de Bistrița-Barnar, pledează pentru tranziția continuă între aceste două serii (Streckeisen, 1968; Mureșan, 1968; Mureșan, fide Vasilescu, 1968).

În jumătatea superioară a seriei de Tulgheș se dezvoltă complexul cuarțitelor și al rocilor carbonatice (repräsentat în regiune prin cuarțitele negre din zona Piatra Scrisă) și apoi complexul vulcanogen superior, în care se localizează zăcămîntul vulcanogen-sedimentar metamorfozat de la Bălan precum și acumulările similare de sulfuri din zona Fagul Cetății-Arama Oltului.

Din punct de vedere litologic, seria de Tulgheș se caracterizează printr-o alternanță de roci terigene (șisturi sericitoase, sericito-grafitoase, sericite cloritoase, filite, cuarțite negre grafitoase) cu metatufuri acide și subordonat bazice.

### Rezultate palinologice și stratigrafice

Materialul de studiu provine din mai multe profile efectuate în seriile metamorfice din partea sudică a compartimentului Tisa-Ciuc (pînza de Bistrița — serile de Bistrița-Barnar și de Tulgheș).

La alegerea acestuia s-a ținut seama în primul rînd de compoziția mineralogică a rocilor. S-a acordat o atenție deosebită șisturilor cristaline formate din metamorfozarea pelitelor argiloase cu materie organică

<sup>4</sup> I. Bercia, Elvira Bercia, H. Kräutner, Florentina Kräutner, M. Mureșan. Studii geologice și petrografice în zona cristalino-mezozoică a Carpaților Orientali. 1963. Arh. Com. Stat. Geol. București.

(resturi grafitoase) și rocilor calcaroase cenușii, mai puțin recristalizate metamorfice.

În linii cu totul generale, conținutul palinologic este format din elemente microfitoplanctonice ce aparțin familiei *Leiosphaeridaceae*elor și sunt reprezentate prin forme circulare (sferice) de talie variabilă (10—140 $\mu$ ) lise, punctate sau granulate, uneori ornamentate. Acestei asociații î se pot adăuga în cantități mai reduse microorganisme din grupul acritarchelor sau microsporii.

Rezultatele obținute din analiza palinologică a materialului prelucrat vor fi expuse în ordinea succesiunii seriilor enumerate în capitolul precedent.

#### *Seria de Bistrița-Barnar*

Din complexul inferior al seriei de Bistrița-Barnar, au fost colectate probe pentru analize palinologice provenind din roci carbonatice de tipul dolomitelor și calcarelor rubanate.

Din punct de vedere paleontologic, caracteristic pentru această serie este prezența în cantitate foarte redusă a elementelor de natură microfitoplanctică, puternic mineralizate. Se întâlnesc în general forme circulare, cu exina netedă sau fin granulată, cu pluri de strivire pe suprafață care, în majoritatea cazurilor apar fragmentate. Unele exemplare prezintă o ingustă zonă marginală. Culoarea diferă de la galben-brun închis pînă la negru. Dimensiunile variază între 10 și 30  $\mu$  în mod excepțional ajung la 50  $\mu$ . Elementul dominant îl constituie microorganismele de formă circulară, puternic mineralizate cu dimensiuni mai mici de 30  $\mu$  din familia *Protoliosphaeridaceae*.

Examinarea la microscop a preparatelor a scos în evidență un material palinologic extrem de sărac; uneori s-a separat numai cîte un exemplar de microorganism neidentificabil pe probă.

a) Rezultatele obținute din studiul seriei de Bistrița-Barnar pe profile efectuate, sint următoarele :

Pîriul Lunca. Din rocile dolomitică s-a obținut un material în care apar resturi organice, țesuturi, pelicule fragmentate, neidentificabile. Într-un singur preparat (2618/63) s-a separat o formă circulară cu zonă marginală, mineralizată, avînd dimensiunea de 38  $\mu$ , comparabil ca aspect morfologic cu genul *Zonosphaeridium* citat de Andreeva în Proterozoicul superior — seria de Valdai — din platforma rusă (Andreeva, fide Pokrovskaja et al., 1966; tab. 8, fig. 5).

Voșlăbeni. Din calcarele rubanate s-a separat un conținut microorganic format mai ales din pelicule și fragmente vegetale nedeter-

minabile. Asociația microfloristică este slab reprezentată prin elemente fitoplanctonice în care se pot recunoaște exemplare de *Protoleiosphaeridium minutissimum* Tim. citat de Jagielska (1965; tab. I, fig. 2) în Proterozoicul din Polonia și *Leiosphaeridium* sp. element fitoplanctic cu o largă distribuție stratigrafică în Proterozoic și Paleozoicul inferior.

**Borsc.** Dolomitele de la Borsec sunt caracterizate printr-un conținut extrem de sărac format în exclusivitate din elemente de microfitoplancton aparținând genului *Protoleiosphaeridium*. S-a identificat (în preparatul nr. 2618/196-1) *Protoleiosphaeridium minutissimum* citat în Proterozoicul superior din Polonia și Rusia (Jagielska, 1965; Timofeev, 1959).

În concluzie, din probele colectate pe diferite profile în seria de Bistrița-Barnar, s-a obținut o asociație microfloristică foarte săracă, puțin variată, formată exclusiv din elemente microfitoplanctonice, încadrante într-un larg interval stratigrafic (Proterozoic superior-Ordovician). Înținind însă seama că din asociație lipsesc elementele specific paleozoicoce, vîrstă proterozoic-superioară atribuită acestei serii ar fi motivată. De asemenea, cantitatea extrem de redusă a elementelor microorganice, uniformitatea caracterelor lor morfologice, gradul avansat de mineralizare pledază pentru amplasarea seriei în Proterozoic.

Analizînd comparativ rezultatele palinologice obținute în rocile carbonatice ale seriei de Bistrița-Barnar din partea sudică a compartimentului Tisa-Ciuc (zona Voșlăbeni și Borsec) cu cele din calcarale de la Dîrmoxa (Tîlescu, Codarcea, 1964) ajungem la următoarele concluzii:

a) În ambele regiuni conținutul microfloristic este extrem de redus, format predominant din elemente microfitoplanctonice mineralizate, deteriorate, greu identificabile.

b) Prezența majoritară a elementelor din familia *Protoleiosphaeridaceae* citate în formațiunile precambriene din Polonia și Rusia este comună și în cele 2 regiuni menționate.

În urma acestor constatări deci, este posibil ca rocile carbonatice din zona Voșlăbeni, de la Borsec și cele de la Dîrmoxa să fie sincrone.

### Seria de Tulgheș

Din seria de Tulgheș, care apare în partea de S a compartimentului Tisa-Ciuc, au fost colectate și prelucrate probe din mai multe profile efectuate pe valea Șipoș, valea Oltului (Sîndominic), pîrul Băilor (Bălan). Toate aceste probe provin din orizontul Bălan în care sunt localizate zăcă-

mintele vulcanogen-sedimentare metamorfozate din zona Bălan-Mihăileni și anume din nivelul grafitos, situat imediat sub nivelul de sulfuri Fagul Cetății – pîrul Băilor.

**Valea Șipoș.** De pe valea Șipoș s-au colectat probe de șisturi filitice grafitoase din nivelul menționat.

Conținutul paleomicrofloristic este aproape absent. Numai într-un singur preparat (2619/24 Δ) s-a putut observa un element de formă sferică cu diametrul de 42  $\mu$ , cu exina groasă, suprafața fin granulară și zona marginală (pl., fig. 11) care ar putea fi atribuit genului *Zonosphaeridium* pe care Timofeev îl citează în Paleozoicul inferior, iar Andreeva îl menționează ca gen incepînd din Proterozoicul superior (seria de Valdai).

**Valea Oltului (Sindominic).** Au fost prelucrate în laborator probe provenind din nivelul de șisturi grafitoase de sub acmulările pirotoase vulcanogen-sedimentare de la W de Arama Oltului. În general, conținutul palinologic este satisfăcător deși este format aproape în exclusivitate din elemente microfitoplanctonice mineralizate. Sporadic s-au putut observa și microspori de tipul *Psylophyta* sau *Bryophyta* (Timofeev, 1959, 1960; Nauanova, 1960), înadrați de autori în clasa Rimales. În proporție ridicată apar resturi organice fragmentate, țesuturi, pelicule nedeterminabile.

Astfel de asociații formate preponderent din elemente cu caracter de microfitoplancton sunt descrise și de alți autori în formațiuni precambriene sau paleozoic-inferioare din nordul Europei, Americii sau Africii (H. D. Pflug, A. Eisenack, J. Janssonius, Fr. Staplin, A. Combaz, M. Roblot și al.), dar sistemele de nomenclatură se deosebesc de cele folosite în răsăritul Europei (Polonia, Rusia). Întrucît nu s-a ajuns încă la un sistem unitar de clasificări, spre a evita confuziile provenite din repartizarea același forme la diferite unități taxonomice, am optat pentru cel utilizat în Europa răsăriteană de autorii ruși și polonezi. Lista formelor identificate, cuprinde următoarele unități taxonomice:

#### *Protoliosphaeridium* sp.

(Pl., fig. 1)

Acesta este unul din componente principale ai asociației, ajungînd în proporție de peste 30% din totalul formelor prezente. Dimensiunile variază între 20 și 50  $\mu$ . Se întâlnesc fie în granule separate, fie asociate în grup. Este o formă cosmopolită menționată de majoritatea autorilor în formațiunile proterozoice și paleozoice din întreaga lume.



cf. *Protoliosphaeridium infriatum* E. Andreeva (fide Pokrovskaja et al., 1966, pl. I, fig. 2)  
 (Pl., fig. 2)

Are 26  $\mu$  și este citată în Proterozoicul superior (la nivelul seriei de Valdai) din platforma rusă.

*Zonosphaeridium* sp.

În acest grup se repartizează forme microorganice sferice cu zonă marginală evidentă, cu dimensiuni cuprinse între 30 și 45  $\mu$ . Elemente asemănătoare ca morfologie și dimensiuni sunt citate de unii autori (Glowacki, Timofeev, Jagielska) sub numele de *Stenozonotrigonellum* și incluse în categoria microsporilor de plante terestre. Lipsa vizibilă a trileului ne determină să le atribuim genului *Zonosphaeridium*. Andreeva îl citează începând din Proterozoicul superior (la nivelul seriei de Valdai) iar Timofeev îl placează în Paleozoicul inferior (Ordovician).

*Protopycerosphaeridium marmoratum* Tim.  
 (Pl., fig. 3)

Formă circulară cu suprafață punctată, de 28  $\mu$ ; este citată de Jagielska (1965) în Polonia pentru intervalul Proterozoic superior-Cambrian inferior.

cf. *Margominuscula* sp.  
 (Pl., fig. 4)

Formă circulară de dimensiuni reduse aproximativ 10  $\mu$ ; este citată de Pischedova (1967) în Rifeanul superior (seria de Uschanovsk — pag. 33, fig. 13).

*Leiopsophsphaera rotunda* Pischedova  
 (Pl., fig. 5)

Formă circulară de 20  $\mu$ , cu suprafață lisă, citată în Rifeanul superior, Pischedova (1967) (pag. 33, fig. 2).

Din grupa plantelor superioară organizate — clasa Rimales familia Sphaeroligotrietaeaceae s-au identificat :

*Leiogotriletum cf. bistrowi* Tim.

(Pl., fig. 10)

Formă turtită, exina subțire, pliată, cu dimensiuni de 28  $\mu$ . Timofeev (1960) o citează în intervalul Proterozoicul superior și baza Cambrianului inferior din regiunea baltică.

În plus, în materialul studiat, s-au observat elemente de natură organică nedeterminate, unele din ele fiind figurate în planșa anexată (pl., fig. 12, 13).

Accastă asociație este cea mai bogată și mai reprezentativă pentru seria de Tulgheș. În celealte profile, formele identificate și descrise la Săndominic, apar sporadic în cantități reduse deși în general acestea se repartizează la același grupe morfologice.

Piriul Băilor - Bălan. Asociația palinologică obținută din prelucrarea rocilor șistoase sericitoase grafitoase ale nivelului menționat este formată în principal din Leiosphaeridaceae care în general apar mineralizate, asociate cu resturi microorganice neidentificabile.

Sporadic, apar microspori din familia Sphaeroligotriletaceae.

În preparatul 2625/171 s-au identificat următoarele genuri:

*Protoleiosphaeridium* sp.

*Protoleiosphaeridium conglutinatum* Tim. (pl., fig. 3)

*Lophotriletes rugosus* Naum. (pl., fig. 11)

*Protoleiosphaeridium* sp. și *P. conglutinatum* au o valoare stratigrafică redusă prin faptul că se întâlnesc în Proterozoic și Paleozoic inferior.

*Lophotriletes rugosus* este menționat de Naumova (1949) în baza Cambrianului inferior din platforma rusă.

### Concluzii

Analizând comparativ cele două asociații microfloristice (fig. 1) prezente în seriile de Bistrița-Bărnar și de Tulgheș, se constată că cea de a doua este mai bogată și mai variată. Caracteristic însă pentru ambele serii este preponderența elementelor microfitoplantonice în mare parte mineralizate.

De remarcat că în seria de Bistrița-Bărnar toate formele apar în Proterozoicul superior și se continuă și în Paleozoicul inferior, dar nu s-au găsit și forme care să apară numai din Paleozoic. Până la proba contrară, se poate considera deci că această serie este ante-paleozoică.

| Lumca | Seria de Bistrița-Barnar |        | Seria de Tulgheș |          | UNITĂȚI TAXONOMICE                        | RIELEAN |   | CAMBRIAN |   |   | ORDOVICIAN      |                 |                 |                |                |
|-------|--------------------------|--------|------------------|----------|---|---------|---|----------|---|---|-----------------|-----------------|-----------------|----------------|----------------|
|       | Hegyelénit               | Borsig | Gorsig           | Siculeni |   | 1       | 2 | 1        | 2 | 3 | CM <sub>1</sub> | CM <sub>2</sub> | CM <sub>3</sub> | C <sub>1</sub> | C <sub>2</sub> |
|       |                          |        |                  |          |   |         |   |          |   |   |                 |                 |                 |                |                |
| x     | x                        | x      | x                | x        | <i>Protoliosphaeridium</i> sp.            |         |   |          |   |   |                 |                 |                 |                |                |
|       | x                        | x      |                  |          | <i>Pt. minutissimum</i>                   |         |   |          |   |   |                 |                 |                 |                |                |
|       |                          |        | x                |          | <i>Pt. infiatum</i>                       |         |   |          |   |   |                 |                 |                 |                |                |
|       |                          |        |                  | x        | <i>Pt. consolutinatum</i>                 |         |   |          |   |   |                 |                 |                 |                |                |
| x     |                          |        | x                |          | <i>Zonosphaeridium</i> sp.                |         |   |          |   |   |                 |                 |                 |                |                |
|       | x                        |        |                  |          | <i>Leiosphaeridium</i> sp.                |         |   |          |   |   |                 |                 |                 |                |                |
|       |                          |        | x                |          | <i>Protomysterosphaeridium marmoratum</i> |         |   |          |   |   |                 |                 |                 |                |                |
|       |                          |        | x                |          | <i>Cf. Margominuscula</i> sp.             |         |   |          |   |   |                 |                 |                 |                |                |
|       |                          | x      |                  |          | <i>Leiopsophosphaera</i> sp.              |         |   |          |   |   |                 |                 |                 |                |                |
|       |                          | x      |                  |          | <i>Leiolidotritetum cf. bistrowii</i>     |         |   |          |   |   |                 |                 |                 |                |                |
|       |                          |        | x                |          | <i>Lophotrilites rugosus</i>              |         |   |          |   |   |                 |                 |                 |                |                |

Fig. 1. — Distribuția stratigrafică a asociațiilor palinologice în pâlna de Bistrița.

Distribution stratigraphique des associations palynologiques dans la nappe de Bistrița.

În scria de Tulgheș, pe lîngă elementele de largă circulație stratigrafică, s-au întîlnit și unele citate în Cambrianul inferior (*Lophotrilites rugosus*) sau care, deși apar în Precambrian, sunt caracteristice pentru Paleozoicul inferior (*Zonosphaeridium* sp., *Leiolidotritetum bistrowii*). În urma acestei analize, se poate admite că seria de Tulgheș reprezintă un termen stratigrafic superior în raport cu seria de Bistrița-Barnar și că ar corespunde unui interval stratigrafic cuprins între Proterozoicul superior (post Bistrița-Barnar) și Cambrianul inferior inclusiv.

În ceea ce privește comparația care se poate face între asociațiile microfloristice ale seriei de Tulgheș din zona Bălan și cele ale aceleiași serii de la Isipoaia — pîriul Ursului — acestea au ca elemente comune frecvența relativ ridicată a formelor, care se repartizează în intervalul Proterozoic superior-Cambrian inferior. Indiferent de îneadrarea taxonomică a elementelor ce intră în compoziția microflorei din cele două zone, important este că acestea se încadrează în intervalul Proterozoic superior-Cambrian inferior și în consecință, sub acest aspect, ele se pot corela.

De remarcat este faptul că în nivelul grafitos investigat al scriei de Tulgheș din zona Bălan s-au identificat și forme citate numai în Cambrianul inferior (*Lophotrilites rugosus*), de unde rezultă că acest nivel poate reprezenta un termen stratigrafic superior celui investigat palino-

logic în zona Isipoia-Leşul Ursului (Ilieșcu, Codarcea, 1964). Acest fapt concordă cu datele de stratigrafie geometrică stabilită în seria de Tulgheș; într-adevăr, în zona Isipoia-Leşul Ursului, probele colectate provin din complexul cuarțitelor și rocilor carbonatice (Bercia et al., 1967), iar rocile investigate din zona Bălan se situează în complexul vulcanogen superior, amplasat stratografic deasupra primului (fig. 2).

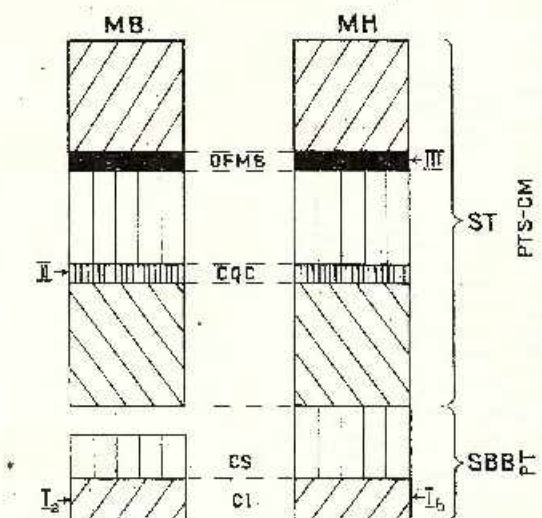


Fig. 2. — Amplasarea asociațiilor microfloristice în coloana stratigrăfică sintetică a formațiunilor cristallopiliene din munții Bistriței (MB) și din masivul Hăgihimășului (MH).

SBB, serie de Bistrița-Bârsei (CI, complex) inferior; OS, complexul cuarțitelor; ST, serie de Tulgheș (CQC, complexul cuarțitelor și ni roci carbonatice; OFMB, orizont) în care se amplasază principalele zăcăminte de sulfuri vulcanogen-sedimentare rustamorfozate de la Fundul Moldovei, Leșul Ursului și Bălan; Ia, asociația palinologică „Dirmacca”; IIa, asociația palinologică „Vînătăbeni”; IIIa, asociația petrologică „Valea Ursului”; IIIb, asociația „Bâalan”; IV, Protérozoïque supérieure-anté-Tulgheș; PTS-CM, Protérozoïque supérieure-Cambrian Inferior.

Emplacement des associations microfloristiques dans la colonne stratigraphique synthétique des formations cristallopiliennes des Monts-Bistrița (MB) et du massif de Hăgihimăș (MH).

SBB, série de Bistrița-Bârsei (CI, complexe inférieur); GS, complexe supérieur; ST, série de Tulgheș (CQC, complex des quartzites et des roches carbonatées); OFMB, horizon qui renferme les principaux gisements de sulfures vulcanogén-sédimentaires métamorphosés de Fundul Moldovei, Leșul Ursului et Bălan; Ib, association palinologique „Dirmacca”; IIa, association palinologique „Voilel”; IIa, association palynologique „Valea Ursului”; III, association „Bâalan”; IV, Protérozoïque supérieure-anté-Tulgheș; PTS-CM, Protérozoïque supérieure-Cambrian inférieur.

Rezultatele studiilor palinologice efectuate asupra seriei de Tulgheș din regiunea Bălan concordă cu cele de vîrstă absolută obținute prin metoda Pb/Pb (Vijdea, 1968) asupra minereului de la Leșul Ursului (500 mil. ani) care au aceeași poziție stratigrafică ca și zăcămintele de la Fundul Moldovei (Kräutner, 1965) și cele de la Bălan (zona Arama Oltului-părțile Băilor); de asemenea, rezultatele palinologice concordă și cu datele paleomagnetice din zona Leșul Ursului (Costa-Foru et al., 1967).

## BIBLIOGRAFIE

- Alexandrescu Gr., Mureșan Georgea, Peltz S., Sandulescu M. (1968) Notă explicativă a hărții geologice Toplița la sc. 1:200.000. Com. Geol., Inst. Geol., București.
- Bercia I., Bercia Elvira, Kräutner H., Kräutner Florentina, Mureșan M. (1967) Unitățile tectonice, structura și stratigrafia formațiunilor metamorfice din zona cristalino-mezozoică a munților Bistriței (Carpații Orientali). D.S. Com. Stat. Geol. LIII/1, București.
- Codarcea-Dessila Marcela (1967) Noi date asupra stratigrafilor terenurilor cristaloilinene din România. Acad. R.S.R. Cerc. geol., geof., geogr., seria geol., 12/1, București.
- Bercia I., Kräutner H., Mureșan M. (1964) Cercetări structurale și stratigrafice în cristalinul Bistriței (regiunea Bârnărești-Holdița). D. S. Com. Geol. I/2, București.
- Costa-Forn, Costa M., Roman C. (1967) Studiul unor proprietăți magnetice ale rocilor din zăcăminte de sulfuri complexe din Carpații Orientali și Dobrogea. Acad. R.S.R. Stud. cerc. geol., geof., geogr., seria geof., 5/2, București.
- Głowiński E., Karnkowski P., Zięc C. (1963) Prekambrium Kambr w podłożu przedgorza Karpat środkowych i w gorach Świętokrzyskich. Roczn. pol. Tzw. geol., XIII, Warszawa.
- Ilieșcu Violeta, Codarcea Marcela (1964) Contribuții la cunoașterea conținutului microfloristic al complexelor de sisturi cristaline din Carpații Orientali. D. S. Com. Geol. LI/2, București.
- Jagielska Ludmila (1965) Nowe dane o mikroflorze eokambra i najniższej Kambru antyklinalnym Klimontowskiego. Kwart. Geol., 9/3, Warszawa.
- Kräutner H. (1965) Considerații genetice asupra zăcămintelor de sulfuri complexe din Cristalinul Carpaților Orientali. Acad. R.S.R. Stud. cerc. geol., geof., geogr., seria geol. 10/1, București.
- Mureșan M. (1967) Structura tectonică a părții de sud a zonei cristalino-mezozoice din Carpații Orientali. Acad. R.S.R. Stud. cerc. geol., geof., geogr., seria geol., 12/1, București.
- (1968) Metamorphic Formations. In „Crystalline, Mesozoic and Flysch complexes of the East Carpathians (Northern Sector)” by T. Juja, V. Muliha, M. Mureșan. Guide to Excursion 48AC Romania, Intern. Geol. Congr., XXIII Session Prague, București.
- (1970) Asupra prezenței Paleozoicului superior nemetamorfozat, în facies continental, în zona cristalino-mezozoică a Carpaților Orientali (sub tipar). D.S. Inst. Geol. LVI/4, București.
- Nasumova S. Nicolaevna (1949) Spori nijnevo Kambria. Izv. Ak. Nauk, 4 Moskva.
- (1969) Sporopiltoii Kompleksi rifiskikh i nijnekambriskikh otlojenii SSSR. Međ. Geol. Congress XXI Session, Moskwa.
- Pischová N. G. (1967) Microfossils of lower Cambrian and Precambrian deposits in eastern Siberia. Rev. of Paleob. and Palyn. 5 (1-4).
- Pokrowskaja L. M. et al. (1966) Palacopalinologia. Trudi VSGI. 141, Leningrad.

- Savul M. (1938) Le cristallin de Bistrița. La région Dorna-Broșteni (Distr. Cîmpulung et Neamț). *Ann. Sci. l'Univ. de Yassı* XXIV, I, Iași.
- Săndulescu M. (1967) La nappe de Hăgihimăs—une nouvelle nappe de décollement dans les Carpates Orientales. *Assoc. Carp.-Balt. VIII Congr.*, Belgrade.
- Streckeisen A. (1968) Stiphnomelan im Kristallin der Ost-Karpathen. *Schweiz. Min. Petr. Mitt.* 48/3, Bern.
- Timofeev B. V. (1959) Drewneljia flora pribaltiki. *Gostapt.* Leningrad.
- (1960) Sur la caractéristique micropaléontologique de la formation de Visingsö. *Geol. fôron.* 500, Stockholm.
- Vasilescu Al., Mureșan M., Popescu Ilieana, Săndulescu Jana, Popescu A., Bandrabur T. (1968) Notă explicativă a hărții geologice foaia Odorhei, sc. 1:200,000, C.S.G. Inst. Geol., București.
- Vijdea Eleonora (1968) Contribuții privind datearea unor galene din Republica Socialistă România, pe baza determinărilor compozitiei lor izotopice. *D.S. Com. Stat. Geol.* LIII/3, București.

## CONTRIBUTIONS PALYNOLOGIQUES POUR LA CONNAISSANCE DE LA STRATIGRAPHIE ET DE L'ÂGE DES SÉRIES MÉTAMORPHIQUES DE LA PARTIE MÉRIDIONALE DU COMPARTIMENT DE TISA-CIUC (ZONE CRISTALLINO-MÉSOZOIQUE DES CARPATES ORIENTALES)

(Résumé)

Dans la partie méridionale du compartiment de Tisa-Ciuc on distingue un ensemble d'unités tectoniques superposées sous forme de certaines nappes de charriage alpine qui, en succession, correspondent : à l'unité de Brețila, à la nappe de Bistrița, à la nappe de Rarău et à la nappe de Hăgihimăs (Săndulescu, 1967; Mureșan, 1967, 1968, 1969).

Les formations cristallophylliennes sont mises à jour seulement dans la nappe de Bistrița et dans la nappe de Rarău.

Dans la zone ayant fait l'objet de ces recherches la nappe de Bistrița est formée exclusivement de schistes cristallins qui reviennent à la série de Bistrița-Barnar (partie inférieure) et à la série de Tulgheș (partie supérieure).

1. On a récolté du complexe inférieur de la série de Bistrița-Barnar 12 échantillons pour des analyses, provenus de roches à carbonates du type des dolomies et des calcaires rubanés.

Les échantillons récoltés dans différentes coupes de la série de Bistrița-Barnar relèvent que l'association microfloristique est très pauvre, peu variée, formée exclusivement d'éléments microphytoplanctoniques revenant à un large intervalle stratigraphique (Protérozoïque supérieur-Ordovicien). Toutefois en tenant compte du fait que l'association ne contient pas des éléments spécifiques paléozoïques, l'âge protérozoïque supérieur attribué à cette série serait



justifié. La quantité extrêmement réduite des éléments microorganiques, l'uniformité de leurs caractères morphologiques ainsi que le degré avancé de la minéralisation de cette série plaident en faveur du Protérozoïque supérieur.

En comparant les résultats obtenus par l'analyse palynologique des roches à carbonates de la série de Bistrița-Bârnar située dans la partie méridionale du compartiment de Tisa-Ciuc (zone de Voslăbeni — et de Borsec) à ceux des calcaires de Dirmoxa (Ilieșcu, Codarcea, 1964) les auteurs sont portés à conclure :

a) dans les deux régions le contenu microllaristique est extrêmement pauvre, formé principalement d'éléments microphytoplanctoniques minéralisés, mal conservés et difficile à identifier ;

b) la présence des formes circulaires avec zones marginales, figurées dans les travaux concernant les terrains protérozoïques de la Pologne et de la Plateforme Russie est signalée aussi dans les deux régions mentionnées.

Ces constatations nous portent à présumer que les roches à carbonates des zones de Voslăbeni, Borsec et Dirmoxa sont synchrones.

2. De la série de Tulgheș, qui affleure du côté S du compartiment de Tisa-Ciuc on a récolté 12 échantillons prélevés à des coupes effectuées dans les vallées du Șipoș, Olt (Sindominic), Racu (Mihăileni), Băilor (Bălan). Tous ces échantillons proviennent de l'horizon de Bălan où sont localisés les gisements volcano-sédimentaires métamorphisés de la zone de Bălan-Mihăileni notamment du niveau graphitique situé immédiatement en dessous du niveau à sulfures de l'auquel Cetății — Pîrul Băilor.

Dans la série de Tulgheș on a rencontré, outre les éléments stratigraphiques fréquents aussi des éléments revenant au Cambrien (*Lophotrites rugosus*) ou qui, bien qu'apparaissant au Précambrien sont caractéristiques au Paléozoïque inférieur (*Zonosphaeridium* sp., *Leiolidiatetrum bistratum*). Vu cette analyse on peut admettre que la série de Tulgheș représente un terme stratigraphique supérieur par rapport à la série de Bistrița-Bârnar et quelle correspond à un intervalle stratigraphique compris entre le Protérozoïque et le Cambrien inférieur y compris.

3. Des associations microfloristiques (fig. 1) présentes dans la série de Bistrița-Bârnar et de Tulgheș la seconde est plus riche et plus variée. Néanmoins un trait caractéristique des deux séries est la prépondérance des éléments microphytoplanctoniques, pour la plupart minéralisés.

Les associations microllaristiques de la série de Tulgheș de la zone de Bălan et celles de la même série de la zone de Isipoaia-ruisseau Ursul contiennent, comme éléments communs, en quantités relativement élevées, des formes zonées qui reviennent à l'intervalle du Protérozoïque supérieur-Cambrien inférieur. Quelle que soit la classification des éléments qui entrent dans la composition de la microfaune des deux zones l'important est qu'ils reviennent à l'intervalle du Protérozoïque supérieur-Cambrien inférieur étant, pour cause, sous cet aspect, comparables.

Il y a lieu de remarquer que dans le niveau graphitique investigué de la série de Tulgheș de la zone de Bălan on a identifié même des formes citées seulement dans le Cambrien inférieur (*Lophotrites rugosus*), fait qui conduit à conclure que ce niveau peut représenter un terme stratigraphique supérieur à celui de la zone de Isipoaia-Leșul Ursului (Ilieșcu, Codarcea, 1964), tout en correspondant aux données de la superposition stratigraphique établie dans la série de Tulgheș. Justement, dans la zone d'Isipoaia-Leșul Ursului, les échantillons récoltés proviennent du complexe des quartzites et des roches à carbonates (Bercia et al., 1967), alors que les roches examinées de la zone de Bălan reviennent au complexe volcanogène supérieur reposant sur le premier (fig. 2).

Les résultats des études palynologiques effectuées sur les échantillons prélevés de la série de Tulgheş de la région de Bălan correspondent à ceux d'âge absolu obtenus par la méthode Pb/Pb (Vîjdica, 1968) sur le minéral de Leşul Ursului (500 mill. d'années) qui ont la même position stratigraphique que les gisements de Fendul Moldovei (Krautner, 1965) et ceux de Bălan (zone d'Arama Oltului-Pișcul Băilor); les résultats palynologiques correspondent également aux données paléomagnétiques de la zone de Leşul Ursului (Costa-Foru et al., 1967).



## PLANŞA I



Institutul Geologic al României

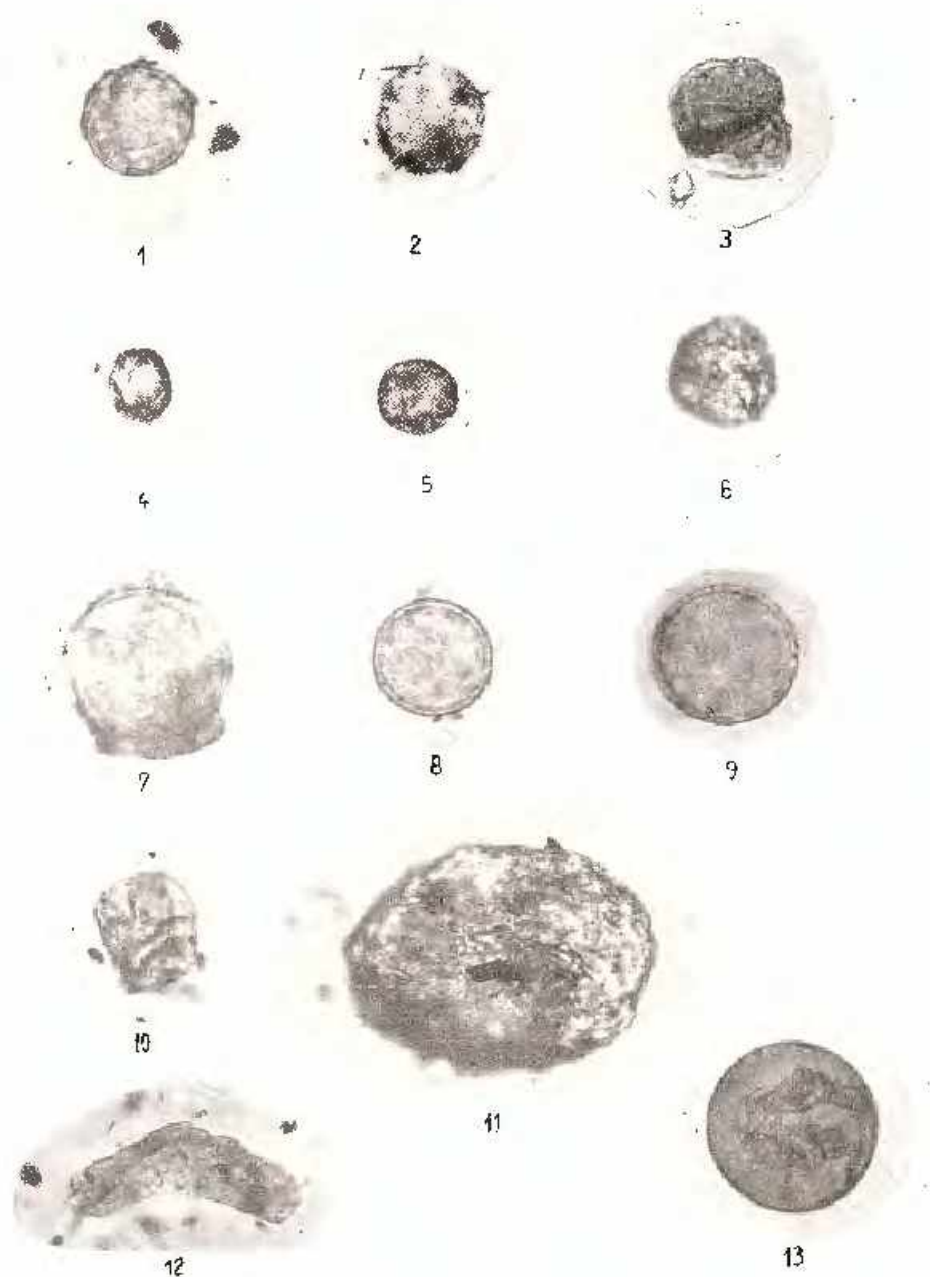
## EXPLICATIA PLANSEI

× 500

- Fig. 1. — *Prototeliosphaeridium* sp., Pp. 2604/39 c.  
Fig. 2. — cf. *Prototeliosphaeridium interiatum* Andreev 1966, Pp. 2604/39 b.  
Fig. 3. — *Prototeliosphaeridium esquifinianum* Timofeev 1959, Pp. 2625/171 B.  
Fig. 4. — cf. *Margarinitescaeruleus* sp. (× 500), Pp. 2604/39 b.  
Fig. 5. — *Leiopisophosphaeria reticulata* Pischova 1937, Pp. 2604/39 b.  
Fig. 6. — cf. *Protonycterosphaeridium marmoratum* Timofeev 1959, Pp. 2604/39 b.  
Fig. 7. — cf. *Zonosphaeridium* sp. (*Sporomorph* C), Pp. 2619/21 A.  
Fig. 8. — *Zonosphaeridium* sp., Pp. 2601/39 c.  
Fig. 9. — *Zonosphaeridium* sp., Pp. 2601/39 b.  
Fig. 10. — *Leiotrichites histrioides* Timofeev 1959, Pp. 2601/39 c.  
Fig. 11. — *Lophotrilobites rugosus* Naumova, Pp. 2625/171 A.  
Fig. 12. — *Incertae sedis*, Pp. 2604/39 b.  
Fig. 13. — *Incertae sedis*, Pp. 2625/171 B.



V. DIESCU, M. MUREŞAN. Date palinologice privind cristalinul—Carpaţii  
Orientali.



Institutul Geologic. Dări de seamă, vol. LVI/3.



Institutul Geologic al României

## C U P R I N S

### PALEOZOOLOGIE

|   | Pag. |
|---|------|
| 1. Stancu Josefina. Otolitele sarmatiene de la Soceni (Banat-Romania) . . . . . | 5    |

### MICROPALEONTOLOGIE

|   |    |
|---|----|
| 2. Baltres A. Notă asupra unui nou „chaetellid”, <i>Adaequoparietes schnorfae</i> gen. nov., spec. nov. . . . .                     | 25 |
| 3. Baltres A. Microfaciesul calcarelor Cretacicului inferior ale cărora din partea meridională a munților Hăgimăș . . . . .         | 29 |
| 4. Olteanu R., Oneescu G. Asociații de ostracode sarmatiene și pliocene din extremitatea vestică a bazinului Crișului Alb . . . . . | 41 |

### PALEOBOTANICA

|  |    |
|--|----|
| 5. Bulgăreanu V., Givulescu R. Asupra prezenței palmei fossil <i>Calamus aff. noszkyi</i> Jabl., în complexul piroclastic-andezitic din valea Bega (Banat) . . . . . | 47 |
| 6. Givulescu R., Vasilescu A.I. Date noi asupra florei pleistocene de la Doboșeni (bazinul Baraolt) . . . . .  | 55 |
| 7. Semakova A.I. Flora rhaeto-lasică de la Mehadia . . . . .   | 61 |
| 8. Ticleanu N. Contribuții la cunoașterea florei sarmatiene de la Tânărăști-Rămești (Vilcea) . . . . .   | 77 |

### PALINOLOGIE

|   |    |
|---|----|
| 9. Antonescu E. Cîteva date preliminare asupra conținutului palinologic al Triasicului inferior - Seisianul de la Bucea, munții Pădurea Craiu . . . . .   | 87 |
| 10. Iliescu Violeta, Mureșan M. Contribuții de ordin palinologic la cunoașterea stratigrafiei și vîrstei seriilor metamorfice din partea sudică a compartimentului Tisa-Ciuc (zona cristalino-mezozoică a Carpaților Orientali) . . . . . | 97 |





## CONTENU

### PALÉOZOOLOGIE

|   |             |
|---|-------------|
| 1. Stancu Josefina. Otolithes sarmatiens de Soceni (Banat-Roumanie) . . . . . | <u>Page</u> |
|   | 23          |

### MICROPALÉONTOLOGIE

|  |    |
|--|----|
| 2. Baltres A. Note sur une nouvell „chaetidae”, Adaequoparietes schnorffae gen. nov. spec. nov . . . . .   | 28 |
| 3. Baltres A. Microfaciès des calcaires du Crétacé inférieur allochtone de la partie méridionale des Monts Hâgimâş . . . . .                         | 40 |
| 4. Olteanu R., Oncescu C. Associations d'Ostracodes d'âge sarmatiens et pliocène situées à l'extrémité occidentale du bassin du Crișul Alb . . . . . | 44 |

### PALÉOBOTANIQUE

|   |    |
|---|----|
| 5. Bulgăreanu V., Givulescu R. Sur la présence du palmier fossile Calamus aff. noszkyi Jabl., dans le complexe des pyroclastites andésitiques de la vallée de la Bega (Banat) . . . . . | 54 |
| 6. Givulescu R., Vasilescu Al. Données nouvelles concernant la flore pléistocène de Dobroșeni (bassin de Baraolt) . . . . .   | 60 |
| 7. Semakal Al. Flore rhéto-liasique dans la zone de Mehadia . . . . .   | 74 |
| 8. Ticleanu N. Contributions à la connaissance de la flore sarmatienne de Tânărăște-Rîmești (Vilcea) . . . . .  | 85 |

### PALINOLOGIE

|  |     |
|--|-----|
| 9. Antonescu E. Quelques données préliminaires sur le contenu palynologique du Trias inférieur-Sésoien de Hucea (Monts Pădurea Craiului) . . . . .   | 95  |
| 10. Iliescu Violeta, Murcău M. Contributions palynologiques pour la connaissance de la stratigraphie et de l'âge des séries métamorphiques de la partie méridionale du compartiment de Tisa-Ciuc (zone cristallino-mésozoïque des Carpates Orientales) . . . . . | 108 |

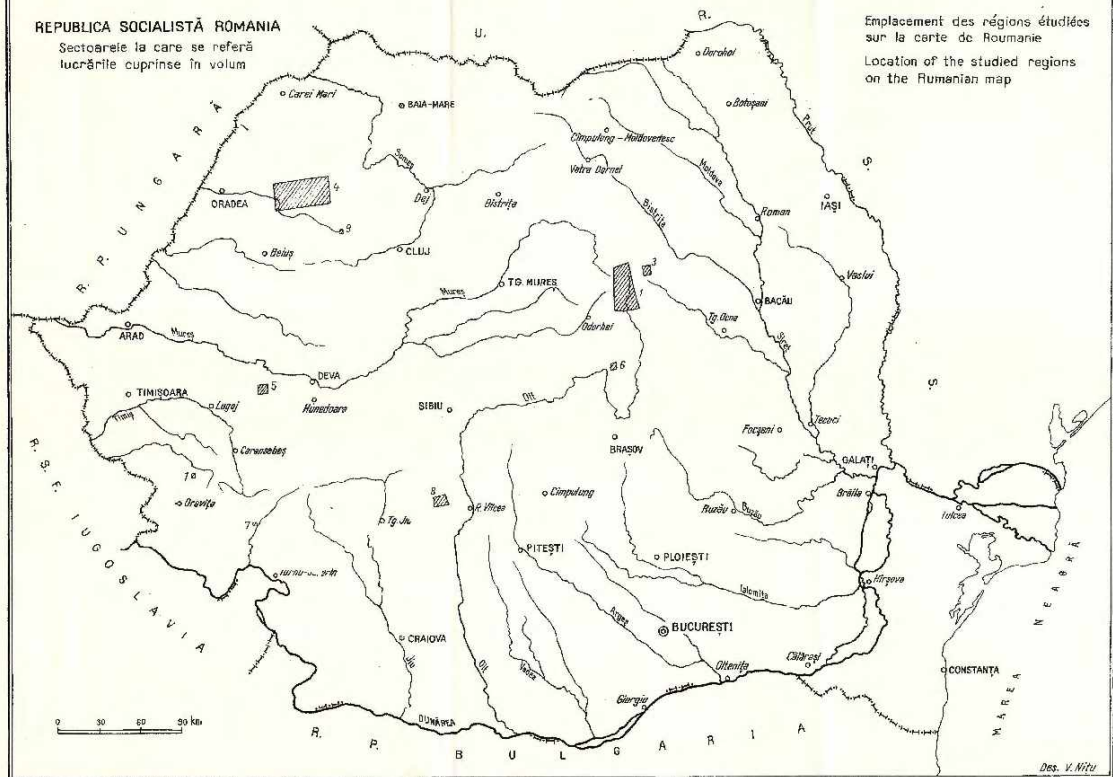




Institutul Geologic al României

**REPUBLICA SOCIALISTĂ ROMÂNIA**

Sectoarele la care se referă  
lucrările cuprinse în volum



**Redactori: MARGARETA PELIZ și LUCIA FOTE**  
**Corectori: VIORELĂ ANASTASIU și ELENA BANDRABUR**  
**Traducători: MARIANA SAUȚEA și MARGARETA HARJEU**  
Însemnată: V. NITU

**Dat la cuptor: 6 iulie 1970. Buzău de lămar: oct. 1970. Tiraj: 1.000 ex. Hărțile  
zorii și A. Format 70 × 100/56 p. Colți de lipă: 71/4. Com. 247. Pentru bibliotecă  
îndicată de cotațiunea 65 (65/68)**

**Tiparul executat la Tipăriștirea poligrafică „Informația” str. Brașovianu  
nr. 98-100, București - România**



**Institutul Geologic al României**





INSTITUT GEOLOGIQUE

COMPTES RENDUS DES SÉANCES

TOME LVI

1968-1969

3. PALÉONTOLOGIE



Institutul Geologic al României